

Univerza
v Ljubljani

Fakulteta
*za gradbeništvo
in geodezijo*



Jamova cesta 2
1000 Ljubljana, Slovenija
<http://www3.fgg.uni-lj.si/>

DRUGG – Digitalni repozitorij UL FGG
<http://drugg.fgg.uni-lj.si/>

To je izvirna različica zaključnega dela.

Prosimo, da se pri navajanju sklicujte na
bibliografske podatke, kot je navedeno:

Strmec, U., 2015. Vpliv topotnih mostov
na porabo energije za ogrevanje v stavbi.
Diplomska naloga. Ljubljana, Univerza v
Ljubljani, Fakulteta za gradbeništvo in
geodezijo. (mentor Košir, M., somentorica
Kristl, Ž.): 85 str.

Datum arhiviranja: 02-02-2015

University
of Ljubljana

Faculty of
*Civil and Geodetic
Engineering*



Jamova cesta 2
SI – 1000 Ljubljana, Slovenia
<http://www3.fgg.uni-lj.si/en/>

DRUGG – The Digital Repository
<http://drugg.fgg.uni-lj.si/>

This is original version of final thesis.

When citing, please refer to the publisher's
bibliographic information as follows:

Strmec, U., 2015. Vpliv topotnih mostov
na porabo energije za ogrevanje v stavbi.
B.Sc. Thesis. Ljubljana, University of
Ljubljani, Faculty of civil and geodetic
engineering. (supervisor Košir, M., co-
supervisor Kristl, Ž.): 85 pp.

Archiving Date: 02-02-2015



Kandidat:

UROŠ STRMEC

VPLIV TOPLOTNIH MOSTOV NA PORABO ENERGIJE ZA OGREVANJE V STAVBI

Diplomska naloga št.: 3418/OTS

IMPACT OF THERMAL BRIDGES ON BUILDING HEATING ENERGY CONSUMPTION

Graduation thesis No.: 3418/OTS

Mentor:
doc. dr. Mitja Košir

Predsednik komisije:
izr. prof. dr. Janko Logar

Somentorica:
dr. Živa Kristl

Član komisije:
prof. dr. Bogdan Zgonc

Ljubljana, 28. 01. 2015

STRAN ZA POPRAVKE, ERRATA

Stran z napako

Vrstica z napako

Namesto

Naj bo

IZJAVE

Podpisani Uroš Strmec izjavljam, da sem avtor diplomskega dela z naslovom »Vpliv topotnih mostov na porabo energije za ogrevanje v stavbi«.

Izjavljam, da je elektronska različica v vsem enaka tiskani različici.

Izjavljam, da dovoljujem objavo elektronske različice v digitalnem repozitoriju.

Trebnje, 13.1.2015

Uroš Strmec

BIBLIOGRAFSKO – DOKUMENTACIJSKA STRAN IN IZVLEČEK

UDK:	536.2:536.65:699.86(043.2)
Avtor:	Uroš Strmec
Mentor:	doc. dr. Mitja Košir
Somentorica:	doc. dr. Živa Kristl
Naslov:	Vpliv topotnih mostov na porabo energije za ogrevanje v stavbi
Tip dokumenta:	diplomska naloga – univerzitetni študij
Obseg in oprema:	85 str., 56 pregl., 28 sl., 15 priv. sl.
Ključne besede:	topotni mostovi, poraba energije za ogrevanje v stavbi, numerični izračun, SIST EN ISO 13790

Izvleček

Diplomska naloga zajema izvedbo analize vplivov topotnih mostov v stavbah na porabo energije za ogrevanje v stavbi s pomočjo uporabe programske opreme na osnovi standarda SIST EN ISO 13790. V okviru diplomske naloge je določen kvantitativen vpliv upoštevanja določenih topotnih mostov in kvantifikacija teh vplivov glede na celotno porabljeno energijo za ogrevanje v stavbi. Primerjava je izvedena na specifičnem primeru izbrane večnadstropne poslovne stavbe. Metode za določitev topotnih mostov na ovoju zgradbe temeljijo na standardu SIST EN ISO 14683. Numerične simulacije topotnih mostov so izvedene z računalniškim programom Unorm, izračun porabe energije za ogrevanje pa s programom TOST.

BIBLIOGRAPHIC-DOCUMENTALISTIC INFORMATION AND ABSTRACT

UDC:	536.2:536.65:699.86(043.2)
Author:	Uroš Strmec
Supervisor:	Assist. Prof. Mitja Košir, Ph. D.
Cosupervisor:	Assist. Prof. Živa Kristl, Ph. D.
Title:	Impact of thermal bridges on buildings heating energy consumption
Document type:	Graduation thesis - University studies
Scope and tools:	85 p., 56 tab., 28 fig., 15 a.fig.
Keywords:	thermal bridges, buildings heating energy consumption, numerical calculation, SIST EN ISO 13790

Abstract

The thesis includes carrying out an analysis of the impact of thermal bridges on buildings heating energy consumption through the use of software, based on standard SIST EN ISO 13790. Within the framework of this thesis the quantitative impact of specific thermal bridges and quantification of their effects on building's heating energy consumption is determined. The comparison is carried out in a specific case, the selected multi-storey office building. The methods for the determination of thermal bridges in the building envelope are based on the standard SIST EN ISO 14683. Numerical simulations of thermal bridges are carried out in computer program Unorm and the buildings heating energy consumption is calculated using TOST program.

ZAHVALA

Za pomoč pri nastajanju diplomske naloge se iskreno zahvaljujem mentorju doc. dr. Mitji Košir za ves naklonjen čas in strokovno pomoč.

Posebne zahvale gredo mojim staršem in sestri, ki so mi ves čas študija stali ob strani.

KAZALO VSEBINE

STRAN ZA POPRAVKE, ERRATA	I
IZJAVE	II
BIBLIOGRAFSKO – DOKUMENTACIJSKA STRAN IN IZVLEČEK.....	III
BIBLIOGRAPHIC-DOCUMENTALISTIC INFORMATION AND ABSTRACT.....	IV
ZAHVALA	V
KAZALO VSEBINE	VI
KAZALO PREGLEDNIC	IX
KAZALO SLIK	XI
KAZALO PRIVZETIH SLIK.....	XII
KRATICE	XIII
1 UVOD	1
1.1 OPREDELITEV PROBLEMA.....	.1
1.2 NAMEN NALOGE.....	.1
1.3 METODA DELA1
2 TOPOTNI MOSTOVI.....	2
2.1 DEFINICIJA TOPOTNIH MOSTOV2
2.2 TIPI TOPOTNIH MOSTOV2
2.2.1 Konstrukcijski topotni mostovi2
2.2.2 Geometrijski topotni mostovi.....	.3
2.2.3 Kombinirani topotni mostovi3
2.2.4 Konvekcijski topotni most4
2.3 OBLIKE TOPOTNIH MOSTOV4
2.3.1 Linijski topotni mostovi4
2.3.2 Točkovni topotni mostovi5
2.4 POSLEDICE TOPOTNIH MOSTOV.....	.5
3 ZAKONODAJA IN REGULATIVA	7
3.1 PURES 2010.....	.7
3.2 TEHNIČNA SMERNICA TSG-1-004:20107
3.3 RELEVANTNI STANDARDI8
4 METODE ZA DOLOČITEV VPLIVOV TOPOTNIH MOSTOV	9
4.1 TIPI METOD ZA DOLOČITEV LINIJSKE TOPOTNE PREHODNOSTI Ψ9
4.1.1 Numerični izračuni.....	.9
4.1.2 Katalogi topotnih mostov.....	.10
4.1.3 Privzete vrednosti.....	.10
4.2 STANDARD SIST EN ISO 1468311
4.3 STANDARD SIST EN ISO 1021113
4.3.1 Geometrijski model14
4.3.2 Poenostavitev geometrijskega modela15
4.3.3 Vhodni podatki.....	.16
4.3.4 Postopek numeričnega izračuna17
4.3.5 Določitev topotnega toka, koeficiente topotne sklopitve in linijske topotne prehodnosti.....	.17
4.3.6 Določitev linijske topotne prehodnosti za križanje stene/tal na terenu20
4.3.7 Validacija numeričnih izračunov21

5 IZHODIŠČNI IZRAČUN LETNE PORABE ENERGIJE ZA OGREVANJE STAVBE.....	22
5.1 OPIS OBJEKTA	22
5.2 PROGRAMSKO ORODJE TOST	24
5.3 SPLOŠNI PODATKI.....	24
5.4 KLIMATSKI PODATKI.....	25
5.5 RAČUNSKA PODOBDOBJA.....	26
5.6 PODATKI O CONAH	26
5.6.1 Osnovni podatki.....	27
5.6.2 Prezračevanje	28
5.6.3 Zunanja stena, streha.....	29
5.6.4 Transparentni konstrukcijski sklopi	30
5.6.5 Tla.....	31
5.6.6 Konstrukcijski sklopi med conami.....	31
5.7 REZULTATI.....	32
6 NUMERIČNA ANALIZA TOPLOTNIH MOSTOV	34
6.1 PROGRAMSKA OPREMA.....	34
6.2 POSTOPEK IZRAČUNA LINIJSKE TOPLOTNE PREHODNOSTI.....	36
6.2.1 Geometrijski topotni most	36
6.2.2 Konstrukcijski topotni most.....	38
6.3 EVIDENTIRANJE TOPLOTNIH MOSTOV OBRAVNAVANE STAVBE.....	40
6.4 SIMULACIJE TOPLOTNIH MOSTOV	42
6.4.1 Topotni most A-1.....	43
6.4.2 Topotni most A-2.....	44
6.4.3 Topotni most S-1	45
6.4.4 Topotni most S-2	46
6.4.5 Topotni most V-1.....	47
6.4.6 Topotni most V-2.....	48
6.4.7 Topotni most V-3.....	49
6.4.8 Topotni most V-4.....	50
6.4.9 Topotni most V-5.....	51
6.4.10 Topotni most V-6.....	52
6.4.11 Topotni most V-7.....	53
6.4.12 Topotni most N-1.....	54
6.4.13 Topotni most N-2.....	55
6.4.14 Topotni most O-1.....	56
6.4.15 Topotni most O-2.....	57
6.4.16 Topotni most O-3.....	58
6.4.17 Topotni most O-4.....	59
6.4.18 Topotni most O-5.....	60
6.4.19 Topotni most O-6.....	61
6.4.20 Topotni most O-7.....	62
6.4.21 Topotni most O-8.....	63
6.4.22 Topotni most O-9.....	64
6.4.23 Topotni most O-10.....	65
6.4.24 Topotni most T-1	66
6.4.25 Topotni most T-2	68
6.4.26 Topotni most T-3	70
6.4.27 Topotni most P-1	71
7 PRIVZETE VREDNOSTI TOPLOTNIH MOSTOV	72
7.1 PRIVZETE VREDNOSTI OBRAVNAVANIH TOPLOTNIH MOSTOV	72
7.1.1 Privzete vrednosti – atika.....	72
7.1.2 Privzete vrednosti – streha.....	73
7.1.3 Privzete vrednosti – vogal.....	73

7.1.4 Privzete vrednosti – napušč.....	75
7.1.5 Privzete vrednosti – odprtine	75
7.1.6 Privzete vrednosti – tla.....	77
7.1.7 Privzete vrednosti – predelni.....	78
7.2 PRIMERJAVA PRIVZETIH VREDNOSTI Ψ Z NUMERIČNIM IZRAČUNOM	78
8 ANALIZA.....	80
8.1 VPLIV POSAMEZNIH METOD OBRAVNAVE TOPLOTNIH MOSTOV NA TOPLOTNO BILANCO STAVBE	80
8.2 VPLIV TOPLOTNIH MOSTOV NA TRANSMISIJSKE IZGUBE	81
8.3 VPLIV POSAMEZNIH TOPLOTNIH MOSTOV NA LETNO PORABO TOPLOTE ZA OGREVANJE	81
9 ZAKLJUČEK	84
VIRI	86

KAZALO PREGLEDNIC

Preglednica 1: Osnovni podatki o posameznih conah.....	27
Preglednica 2: Vhodni podatki o moči notranjih dobitkov virov	28
Preglednica 3: Podatki o mehanskem prezračevanju objekta v času zasedenosti objekta	28
Preglednica 4: Podatki o mehanskem prezračevanju objekta v času noči, vikendov in praznikov	29
Preglednica 5: Dodatni podatki o mehanskem prezračevanju objekta	29
Preglednica 6: Podatki o naravnem prezračevanju ostrešne neogrevane cone (cona NC)	29
Preglednica 7: Podatki o zunanjih stenah.....	30
Preglednica 8: Podatki o strehah	30
Preglednica 9: Podatki o zunanjih stenah kleti, ki so v stiku z zemljino.....	30
Preglednica 10: Površina transparentnih konstrukcijskih sklopov	30
Preglednica 11: Podatki o transparentnih konstrukcijskih sklopih.....	31
Preglednica 12: Tla na terenu z robno izolacijo	31
Preglednica 13: Predelni konstrukcijski sklopi med conami.....	32
Preglednica 14: Toplotna bilanca brez upoštevanja topotnih mostov	32
Preglednica 15: Izgube in dobitki po conah, brez upoštevanja vpliva topotnih mostov	33
Preglednica 16: Vhodni podatki geometrijskega topotnega mostu	36
Preglednica 17: Vhodni podatki konstrukcijskega topotnega mostu	38
Preglednica 18: Toplotni most A-1	43
Preglednica 19: Toplotni most A-2	44
Preglednica 20: Toplotni most S-1	45
Preglednica 21: Toplotni most S-2.....	46
Preglednica 22: Toplotni most V-1	47
Preglednica 23: Toplotni most V-2	48
Preglednica 24: Toplotni most V-3	49
Preglednica 25: Toplotni most V-4	50
Preglednica 26: Toplotni most V-5	51
Preglednica 27: Toplotni most V-6	52
Preglednica 28: Toplotni most V-7	53
Preglednica 29: Toplotni most N-1	54
Preglednica 30: Toplotni most N-2	55
Preglednica 31: Toplotni most O-1	56
Preglednica 32: Toplotni most O-2	57
Preglednica 33: Toplotni most O-3	58
Preglednica 34: Toplotni most O-4	59
Preglednica 35: Toplotni most O-5	60
Preglednica 36: Toplotni most O-6	61
Preglednica 37: Toplotni most O-7	62
Preglednica 38: Toplotni most O-8	63
Preglednica 39: Toplotni most O-9	64
Preglednica 40: Toplotni most O-10	65
Preglednica 41: Toplotni most T-1.....	66
Preglednica 42: Toplotni most T-1 (približan pogled).....	67
Preglednica 43: Toplotni most T-2.....	68
Preglednica 44: Toplotni most T-2 (približan pogled).....	69
Preglednica 45: Toplotni most T-3.....	70
Preglednica 46: Toplotni most P-1	71
Preglednica 47: Privzete vrednosti – atika	72
Preglednica 48: Privzete vrednosti – streha	73
Preglednica 49: Privzete vrednosti – vogal	73

Preglednica 50: Privzete vrednosti – napušč	75
Preglednica 51: Privzete vrednosti – odprtine	75
Preglednica 52: Privzete vrednosti – tla	77
Preglednica 53: Privzete vrednosti – predelni	78
Preglednica 54: Vpliv posameznih metod obravnave toplotnih mostov na toplotno bilanco stavbe	80
Preglednica 55: Vpliv toplotnih mostov na transmisijske izgube	81
Preglednica 56: Odstotkovne spremembe letne porabe toplotne za ogrevanje stavbe	83

KAZALO SLIK

Slika 1: Konstrukcijski toplotni most, prikazan v računalniškem programu Kobra NL [8]	3
Slika 2: Geometrijski toplotni most, prikazan s programsko opremo KobraNL [8]	3
Slika 3: Geometrijski toplotni most, prikazan s programsko opremo KobraNL [8]	4
Slika 4: Tabela toplotnih mostov z privzetimi vrednostmi linijskih toplotnih prehodnosti [3]	12
Slika 5: Shema geometrijskega modela toplotnega mostu.....	14
Slika 6: Obravnavana stavba	22
Slika 7: Objekt pred (levo) in po (desno) prenovi.....	23
Slika 8: Vhodni podatki o sistemih za ogrevanje, hlajenju in ogrevanju sanitarne vode	25
Slika 9: Klimatski podatki.....	25
Slika 10: Računska podobdobja	26
Slika 11: Cone stavbe	27
Slika 12: Uporabniško okolje programa Unorm	34
Slika 13: Grafični prikaz porazdelitve temperature skozi testni primer v programu Unorm	35
Slika 14: Grafični prikaz toplotnega toka skozi testni primer v programu Unorm	35
Slika 15: Grafični prikaz testnega primera v uporabniškem vmesniku programa Unorm	35
Slika 16: Primer geometrijskega toplotnega mostu.....	36
Slika 17: Model geometrijskega toplotnega mostu v programu Unorm	37
Slika 18: Porazdelitev temperature (levo) in toplotni tok (desno) toplotnega mostu	37
Slika 19: Shema zunanjega (levo) in notranjega (desno) dimenzijskega sistema	38
Slika 20: Primer konstrukcijskega toplotnega mostu	38
Slika 21: Model konstrukcijskega toplotnega mostu v programu Unorm	39
Slika 22: Porazdelitev temperature (levo) in toplotni tok (desno) toplotnega mostu	39
Slika 23: Evidentirani (rdeče) toplotni mostovi obravnavane stavbe	40
Slika 24: Tipičen prerez stavbe z označenimi toplotnimi mostovi.....	41
Slika 25: Tipičen tloris stavbe z označenimi toplotnimi mostovi	41
Slika 26: Obrazec simuliranih toplotnih mostov	42
Slika 27: Primerjava privzetiih vrednosti z numeričnim izračunom	79
Slika 28: Vpliv posameznih toplotnih mostov na letno porabo toplote za ogrevanje	82

KAZALO PRIVZETIH SLIK

Privzeta slika 1: Primer linijskega toplotnega mostu, prikazan s termografskim posnetkom [9]	4
Privzeta slika 2: Primer točkovnega toplotnega mostu [9]	5
Privzeta slika 3: Plesen v vogalu notranjega prostora [10]	6
Privzeta slika 4: Grafični prikaz porazdelitve temperature skozi gradbeno konstrukcijo [17]	10
Privzeta slika 5: Primer detajla v katalogu toplotnih mostov [19]	10
Privzeta slika 6: Lokacije toplotnih mostov [3]	11
Privzeta slika 7: Parametri za izračun standardnih vrednosti Ψ [3]	12
Privzeta slika 8: Razdelilna ravnina za geometrijske modele, ki vključujejo sloj zemljine [4]	14
Privzeta slika 9: Poenostavitev neravne površine [4]	15
Privzeta slika 10: Poenostavitev stičišč v odvisnosti od toplotne prevodnosti materialov [4]	16
Privzeta slika 11: Primeri določitve vrednosti Ψ , ko gradbena konstrukcija ločuje dve okolji [4]	18
Privzeta slika 12: Primeri določitve vrednosti Ψ , ko gradbena konstrukcija ločuje tri okolja [4]	19
Privzeta slika 13: Shema križanja stene/tal na terenu [4]	20
Privzeta slika 14: Testni primer za izračun porazdelitve temperature in toplotnega toka [4]	21
Privzeta slika 15: Shematičen prikaz prezračevane fasade obravnavanega objekta [25]	23

KRATICE

AB	Armiran beton
EN	Evropski standard
EU	Evropska unija
HI	Hidroizolacija
ISO	Mednarodna organizacija za standardizacijo
PURES	Pravilnik o učinkoviti rabi energije v stavbah
SIST	Slovenski inštitut za standardizacijo
TI	Toplotna izolacija
TSG	Tehnična smernica

1 UVOD

1.1 Opredelitev problema

Zmanjšanje rabe energije v stavbah je pomemben vidik sodobnega gradbeništva. Za kakovostno topotno zaščito stavbe ne zadostuje le ustreznata topotna izolacija posameznih zunanjih konstrukcijskih elementov. Pomembna je tudi pravilna izvedba vseh detajlov, kot so stiki, preboji, križanja, odprtine in podobno. Njihovo zanemarjanje ali nepravilno reševanje lahko povzroči številne neprijetne posledice. Eno od njih, ki vpliva na topotno bilanco stavbe, topotno ugodje v prostoru ter v skrajni obliki na higienske in zdravstvene razmere v bivalnem okolju, imenujemo topotni most [1]. Za upoštevanje njihovega vpliva v topotnih izgubah stavb imamo na voljo več metod, ki pa se povsem razlikujejo v količini zahtevanega znanja in časa za določitev kvantitativnih vrednosti.

1.2 Namen naloge

Namen diplomske naloge je izvedba analize vpliva topotnih mostov v stavbah na porabo energije za ogrevanje v stavbi s pomočjo uporabe programske opreme, na osnovi standarda SIST EN ISO 13790: 2008 (v nadaljevanju EN 13790) [2]. Zanima nas kvantitativni vpliv upoštevanja določenih topotnih mostov ter kvantifikacija teh vplivov glede na celotno porabljeni energijo za ogrevanje v stavbi. Primerjava bo izvedena na poslovni stavbi zavarovalnice Tilia d. d., ki je zgrajena v središču Novega mesta.

Dokazati želimo, da imajo največji vpliv topotni mostovi, ki potekajo na obodu odprtin, saj ima stavba velik delež transparentnih površin. Pričakujemo tudi, da bomo z natančnejšo metodo vrednotenja dobili najmanjši vpliv topotnih mostov na topotne izgube stavbe.

1.3 Metoda dela

Predstavil bom teoretično ozadje topotnih mostov in spremljajočo zakonodajo. Podrobnejše standarda SIST EN ISO 14683:2008 (v nadaljevanju EN 14683) [3] in SIST EN ISO 10211:2008 (v nadaljevanju EN 10211) [4], ki določata različne metode vrednotenja topotnih mostov. Z računalniškim programom TOST [5] bom izvedel izhodiščni izračun letne porabe energije za ogrevanje obravnavane stavbe. Posamezne topotne mostove bom simuliral v računalniškem programu Unorm [6] in rezultate primerjal s standardnimi vrednostmi iz tabel navedenih v standardu EN 14683. Kvantitativni vpliv metod in posameznih topotnih mostov bom nato preveril na porabi energije za ogrevanje izbranega objekta.

2 TOPLITNI MOSTOVI

2.1 Definicija topotnih mostov

Topotni mostovi so mesta v zunanjem ovoju stavbe, kjer je topotni upor bistveno manjši od topotnega upora na sosednjih mestih. Na mestih s topotnimi mostovi je zato topotni tok iz toplejšega notranjega prostora proti hladnejšem zunanjem okolju povečan, temperatura notranje površine pa znižana [1].

Definicija topotnih mostov, povzeta po EN 10211: Topotni mostovi so deli ovoja stavbe, kjer se sicer enakomerni topotni upor spremeni zaradi:

- popolnega ali delnega preboja ovoja stavbe z materiali drugačne prevodnosti,
- spremembe v debelini gradbenega elementa,
- razlike v notranji in zunanji površini, ki nastane na stikih sten/tal/stropa.

2.2 Tipi topotnih mostov

Glede na vzrok nastanka delimo topotne mostove na:

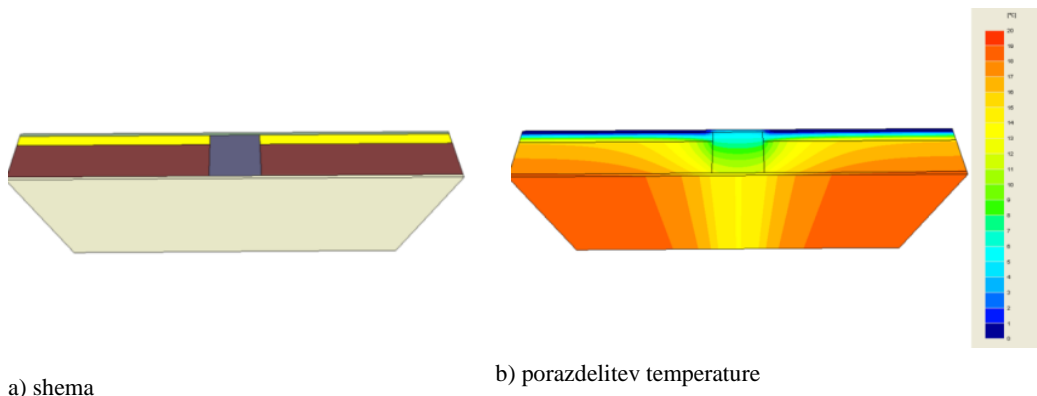
- konstrukcijske,
- geometrijske,
- kombinirane in
- konvekcijske.

Glede na prevladujočo dimenzijo (računska idealizacija) pa jih delimo na:

- točkovne in
- linijske.

2.2.1 Konstrukcijski topotni mostovi

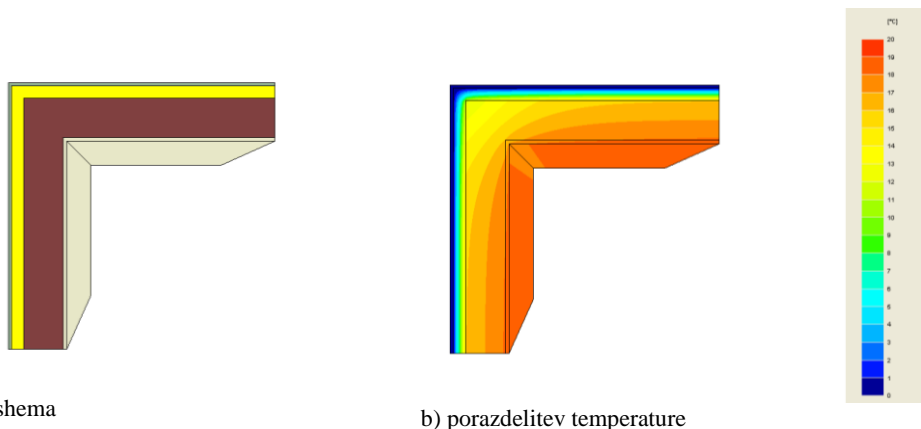
Konstrukcijski oz. materialni topotni most (Slika 1) je posledica lokalne spremembe sicer enakomernega topotnega upora na ovoju stavbe. Do tega pride, ko je ovoj stavbe prekinjen ali predrt z materialom, ki ima veliko topotno prevodnost in ki ni topotno zaščiten ne z zunanje ne z notranje strani. Poseben primer topotnega mostu je navlažen del konstrukcije, še posebej materiala za topotno izolacijo, saj se mu zaradi vsebnosti vlage topotna prevodnost poveča. V fazi načrtovanja in izvedbe se jim lahko izognemo. Pogosta mesta konstrukcijskih topotnih mostov so predvsem ob prebojih stavbnega ovoja, obodu stavbnega pohištva, vertikalnih protipotresnih vezeh, nadaljevanjih armiranobetonskih plošč v balkone, strojnih inštalacijah v ovoju in območju temelja zunanje stene [7].



Slika 1: Konstrukcijski topotni most, prikazan v računalniškem programu Kobra NL [8]

2.2.2 Geometrijski topotni mostovi

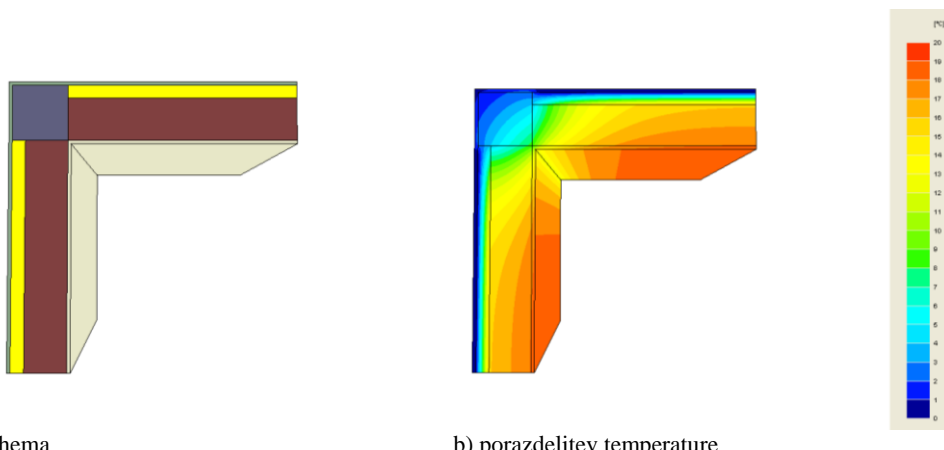
Geometrijski topotni most nastopi na delu ovoja stavbe, pri katerem je zunanjega površina, preko katere topota prehaja iz ogrevanega prostora v zunanjje okolje, precej večja od notranje. Geometrijskim topotnim mostovom se v praksi ne moremo izogniti, lahko pa njihov vpliv močno omilimo. Kot osnovno pravilo velja, da se je potrebno izogibati stikom pod kotom, manjšim od 90° , ukrivljeni elementi ali sklopi pa naj imajo čim večji radij. Tipičen primer geometrijskega topotnega mostu je zunanji vogal stavbe (Slika 2). Pomen geometrijskih topotnih mostov se manjša z debelino topotne zaščite na zunanji strani ovoja stavbe [1].



Slika 2: Geometrijski topotni most, prikazan s programsko opremo KobraNL [8]

2.2.3 Kombinirani topotni mostovi

Kombinirani topotni most je kombinacija geometrijskega in konstrukcijskega topotnega mostu. Značilni primeri so armiranobetonska vogalna vez (Slika 3), armiranobetonski steber v zunanji steni, ki sega preko zunanje ravnine zidu, armiranobetonska balkonska plošča in podobno [1].



Slika 3: Geometrijski topotni most, prikazan s programsko opremo KobraNL [8]

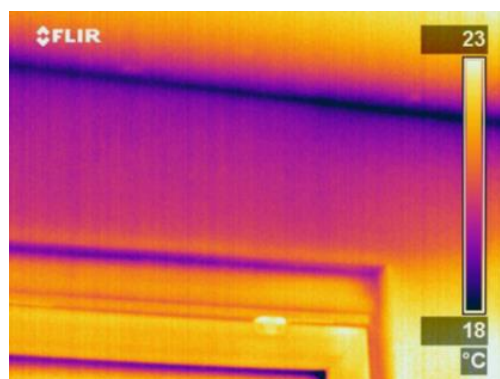
2.2.4 Konvekcijski topotni most

Konvekcijski topotni most nastopi na mestih, kjer je zaradi prekinitve ali netesnosti notranje opne stavbnega ovoja omogočen vdor notranjega, navlaženega zraka v konstrukcijo in navzven. Značilen primer je netesen preklop parne ovire tople strehe [7].

2.3 Oblike topotnih mostov

2.3.1 Linijski topotni mostovi

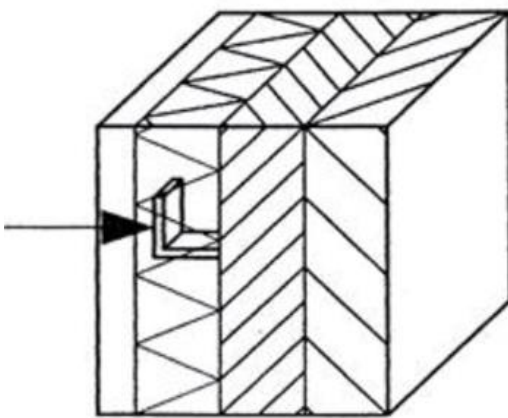
Po definiciji iz standarda EN 10211 in EN 14683 ima linijski topotni most (Prizeta slika 1) konstanten prerez vzdolž ene izmed treh ortogonalnih osi. V gradbenem elementu se linijski topotni mostovi raztezajo preko njegove celotne dolžine ali po dolžini, ki je večkratna debelina gradbenega elementa. Linijski topotni most je zastopan v vseh tipih topotnih mostov, tako geometrijskih kot materialnih (konstrukcijskih).



Prizeta slika 1: Primer linijskega topotnega mostu, prikazan s termografskim posnetkom [9]

2.3.2 Točkovni topotni mostovi

Standard ISO 10211 opredeli točkovne topotne mostove (Privzta slika 2) kot lokalizirane topotne mostove, katerih vpliv na skupni topotni tok je predstavljen s točkovno topotno prehodnostjo. Najpogosteje so materialnega značaja, na primer konstrukcijski elementi s funkcijo pritrjevanja in povezovanja, kot so masivna pritrdila fasadnih oblog na masivni zid. V praksi jih v nasprotju z linijskimi pogosto zanemarimo.



Prvzeta slika 2: Primer točkovnega topotnega mostu [9]

2.4 Posledice topotnih mostov

Skozi dele zunanjega ovoja stavbe, kjer je topotna prevodnost povečana, se poveča tudi topotni tok. Topotni mostovi so tako razlog za povečane transmisijeske izgube, kar ima negativen vpliv na topotno bilanco. Koliko točno vplivajo topotni mostovi na povečanje porabe energije v stavbi, je zelo odvisno od specifičnega primera. Določeni geometrijski topotni mostovi imajo pozitiven vpliv na topotno bilanco, saj je topotni tok skozi njih oslabljen – na primer konkavni vogali, saj imajo zunajo površino manjšo od notranje.

V območju topotnih mostov se temperatura notranje površine zniža. Kadar vlažen topel zrak naleti na hladno površino in se ohladi pod temperaturo nasičenja (rosišča), pride do površinske kondenzacije vodne pare. Če do tega pojava prihaja pogosteje, se na teh mestih pogosto razvijejo plesni (Prvzeta slika 3) [10]. Temne lise plesni niso le neestetske, ampak imajo lahko pri občutljivejših ljudeh tudi zdravstvene posledice v obliki respiratornih in drugih alergij, ki jih povzročajo trosi. Na površine, ki so se z kondazacijo vodne pare navlažile, se tudi pogosteje nabira in useda prah. Učinkovita načina za preprečevanje površinske kondenzacije sta višanje temperature zraka notranjih prostorov in/ali prezračevanje, s čimer se topotne izgube dodatno povečajo [11].



Privzeta slika 3: Plesen v vogalu notranjega prostora [10]

Kot že opisano, lahko toplotni most povzroči nabiranje vlage. Na dolgi rok pa vlaga, ki se zadržuje v gradbenem elementu, povzroči njegove poškodbe ali celo uničenje. Večji kot je učinek delovanja toplotnega mosta, bolj se gradbeni element ohlaja, bolj se vlaži, delovanje toplotnega mostu pa se posledično še poveča. Pojavijo se lahko različni negativni pojavi, kot npr. korozija, odpadanje ometa, nastanek plesni, rast gob in celo izguba nosilnosti [12].

Nizka površinska temperatura, do katere pride zaradi toplotnih mostov, vpliva tudi na toplotno ugodje ljudi. Človeško telo seva proti ohlajeni površini intenzivneje (sevalna asimetrija), posledično nas lahko v del telesa zebe. Ta pojav stanovalci ponavadi odpravijo tako, da povečajo temperaturo notranjega zraka, s tem pa nastanejo tudi višji stroški ogrevanja [12].

3 ZAKONODAJA IN REGULATIVA

3.1 PURES 2010

Gradbeni predpis, ki za stavbe podrobneje opredeljuje bistveno zahtevo Uredbe (EU) 305/2011: »varčevanje z energijo in ohranjanje topote« [13] je Pravilnik o učinkoviti rabi energije v stavbah (v nadaljevanju PURES 2010) [14]. V tem pravilniku so določene zahteve za učinkovito rabo energije v stavbah na področju topotne zaščite, ogrevanja, hlajenja, prezračevanja, priprave tople pitne vode in razsvetljave v stavbah, zagotavljanju deleža obnovljivih virov energije stavbe ter način izračuna energijskih lastnosti stavbe. Poleg energetsko-tehničnih vidikov rabe energije zajema tudi področji zdravja in učinkovitosti, ki sta pomembna vidika trajnostne gradnje.

Doseganje učinkovite rabe energije v stavbah oziroma izpolnjevanje zahtev pravilnika PURES 2010 se dokazuje v elaboratu gradbene fizike za področje učinkovite rabe energije v stavbah (elaborat URE). Povzetki izračunov iz elaborata morajo biti navedeni v obrazcu »Izkaz energijskih lastnosti stavbe«, ki mora biti priložen projektu za izdajo gradbenega dokumenta.

Na temo topotnih mostov PURES 2010 v 9. členu navaja: »Stavbe je treba projektirati in graditi tako, da je vpliv topotnih mostov na letno potrebo po energiji za ogrevanje in hlajenje čim manjši in da topotni mostovi ne povzročajo škode stavbi ali njenim uporabnikom.« [14]

3.2 Tehnična smernica TSG-1-004:2010

Tehnično smernico za graditev TSG-1-004 Učinkovita raba energije (v nadaljevanju TSG 4) [15] določa gradbene ukrepe oziroma rešitve za dosego zahtev pravilnika PURES 2010 in določa metodologijo izračuna energijskih lastnosti stavbe. Uporaba tehnične smernice je obvezna.

V Zakonu o graditvi objektov [16] je tehnična smernica opredeljena kot »dokument, s katerim se za določeno vrsto objekta uredi natančnejša opredelitev bistvenih zahtev, pogoji za projektiranje, izbrane ravni oziroma razredi gradbenih proizvodov oziroma materialov, ki se smejo vgrajevati, ter načini njihove vgradnje in način izvajanja gradnje z namenom, da se zagotovi zanesljivost objekta ves čas njegove življenske dobe, kadar je to primerno, pa tudi postopke, po katerih je mogoče ugotoviti, ali so takšne zahteve izpolnjene.«

Na temo topotnih mostov TSG 4 navaja:

- Vpliv topotnih mostov na letno potrebo po topoti mora biti čim manjši. Topotnim mostovom z linijsko topotno prehodnostjo $\Psi > 0,2 \text{ W/mK}$ (standard EN 14683 ali EN 10211) se je treba

z ukrepi v skladu z zadnjim stanjem gradbene tehnike izogniti s popravki načrtovanih detajlov. Če pa to ni mogoče, je treba dokazati, da vodna para na mestih topotnih mostov ne bo kondenzirala. Pri tem je treba uporabiti metodo iz standarda EN 10211 z upoštevanjem klimatskih pogojev kot pri prehodu vodne pare.

- V računu potrebne topote za ogrevanje se vpliv topotnih mostov upošteva po standardih EN 13789, EN 14683 oziroma EN 10211.
- Če imajo vsi topotni mostovi v stavbi linjsko topotno prehodnost $\Psi < 0,2 \text{ W/mK}$, se lahko njihov vpliv upošteva na poenostavljen način s povečanjem topotne prehodnosti celotnega ovoja stavbe za $0,06 \text{ W/m}^2\text{K}$ [15] .

Tako PURES 2010 kot tudi tehnična smernica ne določata podrobnih zahtev o projektiranju rešitev topotnih mostov.

3.3 Relevantni standardi

Letna potrebna topota za ogrevanje stavbe je potreba po topoti, ki jo je treba v enem letu dovesti v stavbo za doseganje projektnih notranjih temperatur v obdobju ogrevanja, določena po standardu EN 13790.

Standard EN 10211 je namenjen izračunu topotnih mostov na ovoju zgradbe. Obravnava področje topotnih tokov in spremembe površinskih temperatur. Topotni most običajno povzroča tro- ali dvodimenzionalni topotni tok, ki ga lahko natančno določimo z uporabo numeričnih metod, opisanih v tem standardu. Obstajajo tudi alternativne nenumerične metode, opisane v standardu EN 14683, s katerimi je možno določiti topotne izgube manj natančno.

4 METODE ZA DOLOČITEV VPLIVOV TOPOTNIH MOSTOV

4.1 Tipi metod za določitev linijske topotne prehodnosti Ψ

V splošnem lahko vplive točkovnih topotnih mostov, v kolikor so rezultat križanja linijskih topotnih mostov, zanemarimo. Tako bomo v nadaljevanju podrobneje obravnavali le linijske topotne mostove. Vpliv linijskih topotnih mostov kvantitativno opredelimo z linijsko topotno prehodnostjo Ψ (W/mK), katere definicija se glasi: »topotni tok, deljen z dolžino in temperaturno razliko med okljema na vsaki strani topotnega mostu.« [3]

Ko se odločamo za tip metode, s katero bomo določili linijsko topotno prehodnost, moramo upoštevati, da je natančnost uporabljenih metoda v sorazmerju s splošno natančnostjo izračuna celotne topotne prehodnosti, pozorni pa smo tudi na dolžino obravnavanih topotnih mostov. Standard EN 14683 podaja možne metode za določitev Ψ in njihovo natančnost [3]:

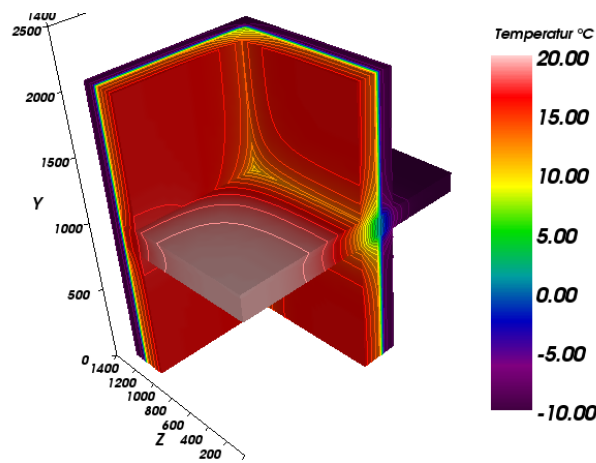
- numerični izračuni (+/- 5 %),
- katalogi topotnih mostov (+/- 20 %),
- privzete vrednosti (od 0 do 50 %).

Pri stavbah, kjer je znana velikost in splošna oblika, detajli pa še niso načrtovani, lahko le grobo ocenimo prispevek topotnih mostov z uporabo privzetih vrednosti. Ko je razpoložljiva zadostna količina informacij, lahko točneje ocenimo Ψ za vsak topotni most tako, da jih v katalogih primerjamo z najbolj podobnimi. Najnatančnejše vrednosti dobimo na podlagi numeričnih izračunov.

Standard ISO 14683 navaja kot metodo za določitev Ψ tudi enostavne izračune, ki se nanašajo le na specifične tipe topotnih mostov. Primera uporabe metode v praksi in drugi strokovni literaturi nismo zasledili, zato je ne obravnavamo podrobneje.

4.1.1 Numerični izračuni

Linijska topotna prehodnost Ψ je izračunana v skladu s standardom EN 10211, ki ga bomo podrobneje predstavili v poglavju 4.3. Omenjeni standard določa natančne geometrijske modele topotnih mostov in postopke za izračun površinske temperature in topotnega toka, na podlagi katerega določimo linijsko topotno prehodnost [4]. Za numerični izračun je na voljo vrsta programske opreme, s pomočjo katere lahko v skladu z EN 10211 simuliramo pojav topotnega mostu v gradbenih konstrukcijah. Potrebno je predznanje za pravilen vnos vhodnih podatkov o geometriji, sestavi in robnih pogojih obravnavane konstrukcije. Izhodni podatki so pogosto podani tudi grafično (Privzeta slika 4).



Privzeta slika 4: Grafični prikaz porazdelitve temperature skozi gradbeno konstrukcijo [17]

4.1.2 Katalogi topotnih mostov

Tipi topotnih mostov, ki so na voljo v katalogih topotnih mostov (Privzeta slika 5), imajo pravzaprav fiksne parametre (npr. dimenzijs in material), zato se ne ujemajo točno z dejanskimi, ki jih obravnavamo. Kljub temu lahko uporabimo vrednost Ψ , če je zagotovljeno, da ima detajl v katalogu podobne ali slabše topotne lastnosti v primerjavi z obravnavanim. Numerični izračuni, s katerimi je določena vrednost Ψ primerov v katalogu, morajo biti izvedeni v skladu z standardom ISO 10211 [4]. Katalogi topotnih mostov so hitra in enostavna metoda za določitev Ψ , katere točnost je primerljiva z numeričnim izračunom, če se obravnavani detajl popolnoma ujema s primerom iz kataloga. Vendar v katalogih ni možno zajeti vseh tipov topotnih mostov, ki se pojavijo v praksi [18].

Backstein ungedämmt, Kompaktfassade		1.3-A2					
Einschränkungen	Zuschläge	U-Wert Wand in W/(m ² · K)	U-Wert Dach in W/(m ² · K)	Ψ -Wert in W/(m · K)			
		0.15	0.20	0.25	0.30	0.35	0.40
		0.15	0.06	0.08	0.08	0.08	0.07
		0.20	0.06	0.08	0.09	0.09	0.08
		0.25	0.05	0.07	0.08	0.09	0.08
		0.30	0.04	0.07	0.08	0.08	0.08
		0.35	0.03	0.06	0.07	0.08	0.08
		0.40	0.02	0.05	0.06	0.07	0.07

Privzeta slika 5: Primer detajla v katalogu topotnih mostov [19]

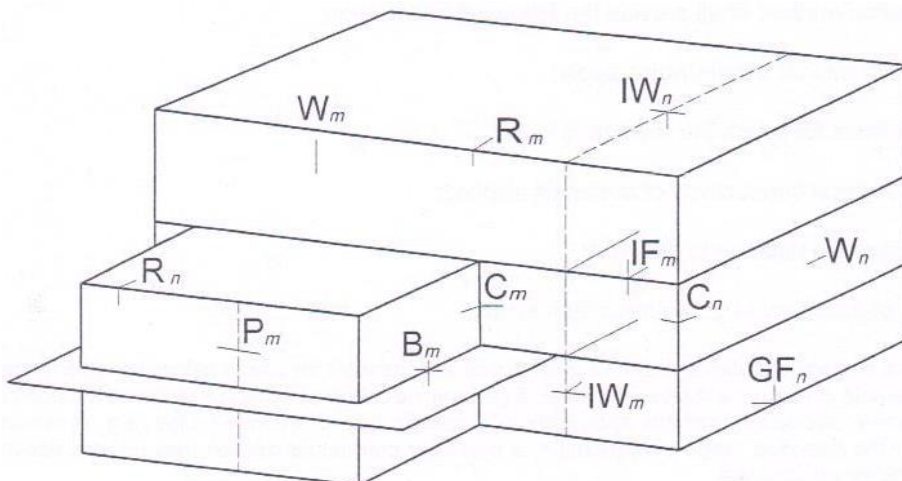
4.1.3 Privzete vrednosti

Tabele s privzetimi vrednostmi linijske topotne prehodnosti so predstavljene v EN 14683, ki ga bomo podrobnejše obravnavali v poglavju 4.2. Predlagane vrednosti so izračunane z znanimi parametri, ki zajemajo topotno slabše zasnovane detajle in materiale. Uporabimo jih, kadar nam natančnejši detajli niso znani ali kadar potrebujemo le grobo oceno Ψ značilnih primerov topotnih mostov.

4.2 Standard SIST EN ISO 14683

Standard EN 14683 podaja privzete vrednosti linijske topotne prehodnosti Ψ za vrsto značilnih topotnih mostov, izračunanih na podlagi standardnih parametrov. Privzete vrednosti Ψ uporabimo, kadar nimamo točnih vrednosti, v primeru neznanih detajlov topotnega mostu ali kadar je groba vrednost linijske topotne prehodnosti zadostna pri oceni skupnih topotnih izgub.

Privzete vrednosti Ψ , ki v splošnem predstavljajo maksimalni vpliv topotnih mostov, so izračunane za dvodimenzionalne modele v skladu z EN 10211. Upoštevamo jih samo pri obravnavi topotne prehodnosti, ne pa pri kritičnih površinskih temperaturah, pri katerih pride do kondenzacije. Privzeta slika 9 prikazuje tipične lokacije značilnih linijskih topotnih mostov, ki so obravnavani v standardu. Oznake se nanašajo na konstrukcijske elemente, kjer poteka posamezni topotni most [3].



Privzeta slika 6: Lokacije topotnih mostov [3]

Linijske topotne prehodnosti posameznih detajlov so podane za tri dimenzijske sisteme [3] :

- Ψ_i temelji na notranjih dimenzijsah, merjenih med notranjimi površinami vsake sobe v stavbi.
- Ψ_{oi} temelji na skupnih notranjih dimenzijsah, merjenih med notranjimi površinami zunanjih elementov stavbe.
- Ψ_e temelji na zunanjih dimenzijsah, merjenih med zunanjimi površinami zunanjih elementov stavbe.

Vsek od sistemov je uporaben, paziti moramo le, da isti sistem dosledno uporabljam pri vseh topotnih mostovih na stavbi, saj so od njega vrednosti Ψ . Pomembno pa je, da izberemo enak dimenzijski sistem, kot ga uporabimo pri določevanju površin topotnih prehodnosti celotne stavbe.

V Sloveniji tehnična smernica TSG 4 določa zunanjji sistem določanja mer.

Na privzeti sliki 7 so podani parametri, na katerih so izračunane privzete vrednosti Ψ . Ti parametri so bili izbrani tako, da so vrednosti Ψ kar najbližje maksimalnim, ki se pojavljajo v praksi.

For all details:		$R_{si} = 0,13 \text{ m}^2\cdot\text{K}/\text{W}$
		$R_{se} = 0,04 \text{ m}^2\cdot\text{K}/\text{W}$
For external walls:		$d = 300 \text{ mm}$
For internal walls:		$d = 200 \text{ mm}$
For walls with an insulation layer:		$U = 0,343 \text{ W}/(\text{m}^2\cdot\text{K})$
		$R = 2,5 \text{ m}^2\cdot\text{K}/\text{W}$
For lightweight walls:		$U = 0,375 \text{ W}/(\text{m}^2\cdot\text{K})$
For ground floors:		$d = 200 \text{ mm}$
		$\lambda = 2,0 \text{ W}/(\text{m}\cdot\text{K})$
		$R = 2,5 \text{ m}^2\cdot\text{K}/\text{W}$
For intermediate floors:		$d = 200 \text{ mm}$
		$\lambda = 2,0 \text{ W}/(\text{m}\cdot\text{K})$
For roofs:		$U = 0,365 \text{ W}/(\text{m}^2\cdot\text{K})$
		$R = 2,5 \text{ m}^2\cdot\text{K}/\text{W}$
For the frames in openings:		$d = 60 \text{ mm}$
For columns:		$d = 300 \text{ mm}$
		$\lambda = 2,0 \text{ W}/(\text{m}\cdot\text{K})$

Privzeta slika 7: Parametri za izračun standardnih vrednosti Ψ [3]

Vsi toplotni mostovi iz standarda EN 14683 so shematično prikazani v tabeli (Privzeta slika 11), kjer so razporejeni glede na konstrukcijske elemente in pozicije toplotne izolacije. Za vsak prikazan most so podane vrednosti linijskih toplotnih prehodnosti, zaokrožene na 0,05 W/mK.

	Wall	Lightweight wall (including lightweight masonry and timber frame walls)	Insulating layer	Slab/pillar	Window frame
Pillars					
P1					
P1	$\psi_e = 1,30$ $\psi_{oi} = 1,30$ $\psi_i = 1,30$	$\psi_e = 1,20$ $\psi_{oi} = 1,20$ $\psi_i = 1,20$	$\psi_e = 1,15$ $\psi_{oi} = 1,15$ $\psi_i = 1,15$	$\psi_e = 0,90$ $\psi_{oi} = 0,90$ $\psi_i = 0,90$	
P2					
P3					
P4					

Slika 4: Tabela toplotnih mostov z privzetimi vrednostmi linijskih toplotnih prehodnosti [3]

Standardu EN 14683 je priložen tudi praktičen primer njegove uporabe. Vpliv linijskih in točkovnih topotnih mostov je upoštevan v koeficientu specifičnih transmisijskih topotnih izgub, H_D , ki se ga izračuna po enačbi (1)

$$H_D = \sum_i A_i U_i + \sum_k l_k \Psi_k + \sum_j \chi_j \quad (1)$$

kjer so:

- H_D količnik specifičnih transmisijskih topotnih izgub [W/K],
- U_i topotna prehodnost i-tega homogenega konstrukcijskega sklopa [W/m²K],
- l_k dolžina linijskega topotnega mostu,
- Ψ_k linijska topotna prehodnost [W/mK],
- χ_j točkovna topotna prehodnost [W/K].

V standardu so točkovni topotni mostovi zanemarjeni.

4.3 Standard SIST EN ISO 10211

Standard EN 10211 določa specifikacije za izdelavo geometričnih modelov topotnih mostov za numerični izračun:

- topotnega toka (z namenom ugotovitve vpliva topotnih mostov na topotno bilanco),
- najnižje površinske temperature (z namenom ocene nastanka kondenzacije).

Uporaben pa je tudi za izpeljavo natančne vrednosti linijske topotne prehodnosti topotnih mostov, ki so tema diplomske naloge. Celoten standard temelji na predpostavkah, da so vse fizikalne lastnosti konstrukcije neodvisne od temperature in da v konstrukcijskih elementih ni virov toplotne.

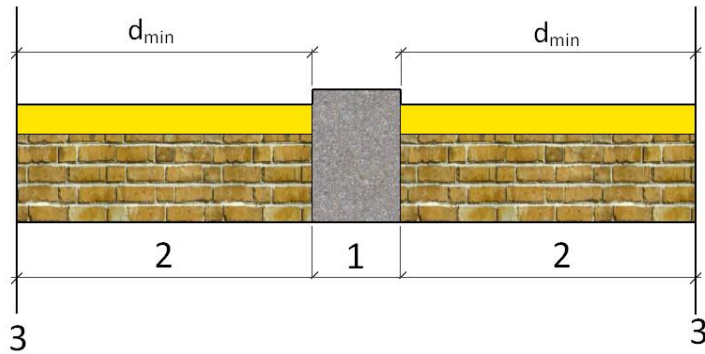
Standard EN 10211 za numerični izračun linijske topotne prehodnosti določa:

- osnovne definicije in izraze,
- pravila za modeliranje geometrijskih modelov in njihovo poenostavitev,
- referenčne dokumente za določitev topotne prehodnosti in robnih pogojev modelov,
- računske metode in enačbe,
- zahteve in referenčne primere za potrditev ustreznosti uporabljene numerične metode.

V sledečih podoglajvih je povzeta vsebina standarda EN 10211, relevantna za numerični izračun linijske topotne prehodnosti obravnavanih topotnih mostov v okviru diplomske naloge. Pri razlagi se bomo omejili na dvodimenzionalne modele in topotne tokove, ki so podlaga za izračun Ψ .

4.3.1 Geometrijski model

Numerični geometrijski model predstavlja vplivno območje toplotnega mosta v konstrukciji stavbe, ki ga omejimo z uporabo razdelilnih ravnin. Zajema centralni element, kjer poteka lokalna sprememba toplotnega toka, ter stranske vplivne elemente, katerih dolžina je določena (Slika 5).



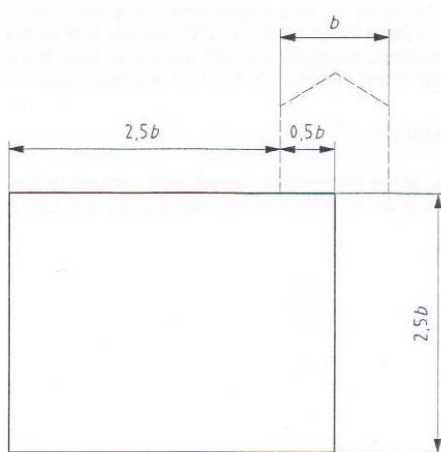
Legenda:

- 1 centralni element
- 2 stranski element
- 3 razdelilna ravnina
- d_{min} vplivna dolžina stranskega elementa

Slika 5: Shema geometrijskega modela toplotnega mostu

Upoštevati moramo pravilo, da je vplivna dolžina stranskega elementa d_{min} daljša od enega metra oziroma trikratna debelina stranskega elementa modela. V primeru, da je razdalja med posameznimi toplotnimi mostovi krajša, razdelilna ravnina poteka na sredini med njimi.

Modeli lahko vsebujejo sloj pod terenom. V tem primeru pozicioniramo razdelilno ravnino v zemljini v skladu s pravilom na privzeti sliki 8.



Privzeta slika 8: Razdelilna ravnina za geometrijske modele, ki vključujejo sloj zemljine [4]

4.3.2 Poenostavitev geometrijskega modela

Geometrijski model je razdeljen na manjše celice v skladu s sloji materialov v dejanski konstrukciji topotnega mostu. Pri materialih s topotno prehodnostjo manjšo od 3 W/mK lahko geometrijski model posameznega topotnega mostu poenostavimo, in sicer na sledeče načine:

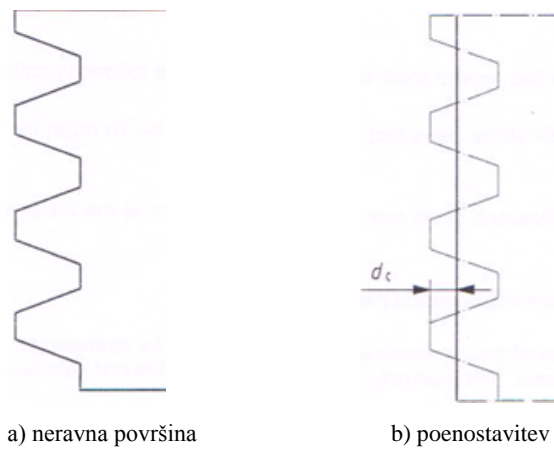
- Neravne površine lahko lokalno izravnamo (Prizeta Slika 9), vendar faktor d_C ne sme prekoračiti:

$$d_C = R_C \times \lambda \quad (2)$$

kjer je

$$R_C = 0,03 \text{ m}^2\text{K/W},$$

λ topotna prevodnost materiala.



Prizeta slika 9: Poenostavitev neravnih površin [4]

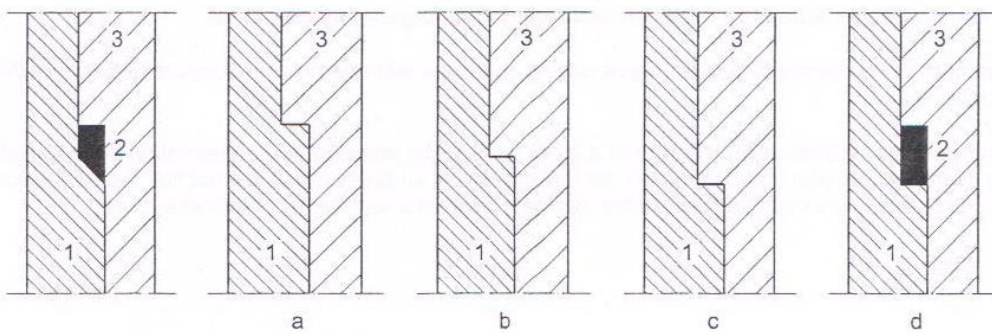
- Zanemarimo tanke sloje:

- nekovinske sloje z debelino, manjšo od 1 mm, lahko ignoriramo (parne ovire),
- tanke kovinske sloje lahko ignoriramo, če je ugotovljeno, da imajo zanemarljiv vpliv na prenos topote.

- Zanemarimo elemente stavbe, ki so točkovno pritrjeni na zunanjou površino (žlebovi, izlivne cevi).

- Poenostavimo stičišča različnih elementov (niše tesnil, stikališča, povezovalni elementi):

- spremembe stičišč morajo potekati pravokotno na notranjo površino,
- spremembe stičišč morajo biti takšne, da material z nižjo topotno prevodnostjo nadomestimo z materialom z višjo (Prizeta slika 10).



Material block	Combination	Simplifications			
		a	b	c	d
1	λ_1	$\lambda_1 > \lambda_2$	$\lambda_1 > \lambda_3$	$\lambda_1 < \lambda_3$	$\lambda_1 < \lambda_2$
2	λ_2				
3	λ_3		$\lambda_3 > \lambda_2$	$\lambda_3 > \lambda_2$	$\lambda_3 < \lambda_2$

Privzeta slika 10: Poenostavitev stičišč v odvisnosti od toplotne prevodnosti materialov [4]

Standard določa tudi metodo poenostavitev modelov z uporabo kvazihomogenih slojev. Kvazihomogeni sloj vsebuje dva ali več različnih materialov z različnimi toplotnimi prevodnostmi, ki jih lahko nadomestimo z enim materialom z enotno toplotno prevodnostjo (vijaki v leseni letvah). Vključitev manjših linijskih in točkovnih toplotnih mostov v kvazihomogeni sloj velja samo pod določenimi pogoji:

- nehomogene plasti se nahajajo na delu konstrukcije, ki po poenostavitvi postane stranski element,
- toplotna prevodnost kvazihomogene plasti po poenostavitvi ni več kot 1,5-krat večja od najmanjše toplotne prevodnosti materialov, predstavljenih v tem sloju pred poenostavitvijo.

4.3.3 Vhodni podatki

Porazdelitev temperature in toplotni tok skozi gradbeno konstrukcijo se lahko izračuna, če poznamo robne pogoje in toplotno prevodnost posameznih homogenih celic geometrijskega modela.

Vrednosti toplotne prevodnosti materialov (λ) morajo biti ali izračunane v skladu s standardom SIST EN ISO 10456:2008 [20] ali odčitane iz tabel omenjenega standarda. Če nimamo natančnejših podatkov, lahko za toplotno prevodnost zemljine vzamemo vrednost 2,0 W/mK. Zračne votline moramo obravnavati kot homogene materiale z določeno toplotno prehodnostjo. Pri izračunu toplotnih tokov potrebujemo podatke o uporih mejnih zračnih plasti (R_{se} , R_{si}), vrednosti morajo biti v skladu s standardom SIST EN ISO 6946:2008 [21]. Robni pogoji modelov vključujejo tudi podatke o notranjih in zunanjih temperaturah. V primeru, da ne poznamo točnih temperatur neogrevanih con, jih lahko

izračunamo v skladu s standardom SIST EN ISO 13789:2008 (v nadaljevanju EN 13789) [22]. V razdelilnih ravninah upoštevamo adiabatne robne pogoje.

4.3.4 Postopek numeričnega izračuna

Geometrični model je razdeljen na manjše celice, vsaka vsebuje karakteristične točke (vozlišča). Z uporabo zakona o ohranitvi energije, zakona o prevajanju topote (Fourierjev zakon) in z upoštevanjem robnih pogojev dobimo sistem enačb, katerih spremenljivke so temperature vozlišč. Sistem enačb rešimo z direktnim izračunom ali z metodo iteracije. Iz porazdelitve temperatur v vozliščih se topotni tok izračuna z uporabo Fourierjevega zakona.

Porazdelitev temperature znotraj posamezne celice določimo z interpolacijo med znanimi temperaturami vozlišč. Rezultate izračunov potrebujemo za določitev linijske topotne prehodnosti in površinskih temperatur.

4.3.5 Določitev topotnega toka, koeficiente topotne sklopitve in linijske topotne prehodnosti

Topotni tok (na meter dolžine), Φ_l , linijskega topotnega mostu med notranjim in zunanjim okoljem:

$$\Phi_l = L_{2D} (\theta_i - \theta_e) \quad (3)$$

kjer so:

- L_{2D} koeficient topotne sklopitve, pridobljen iz 2D-izračuna za element, ki ločuje okolji,
 θ_i temperatura notranjega okolja,
 θ_e temperatura zunanjega okolja.

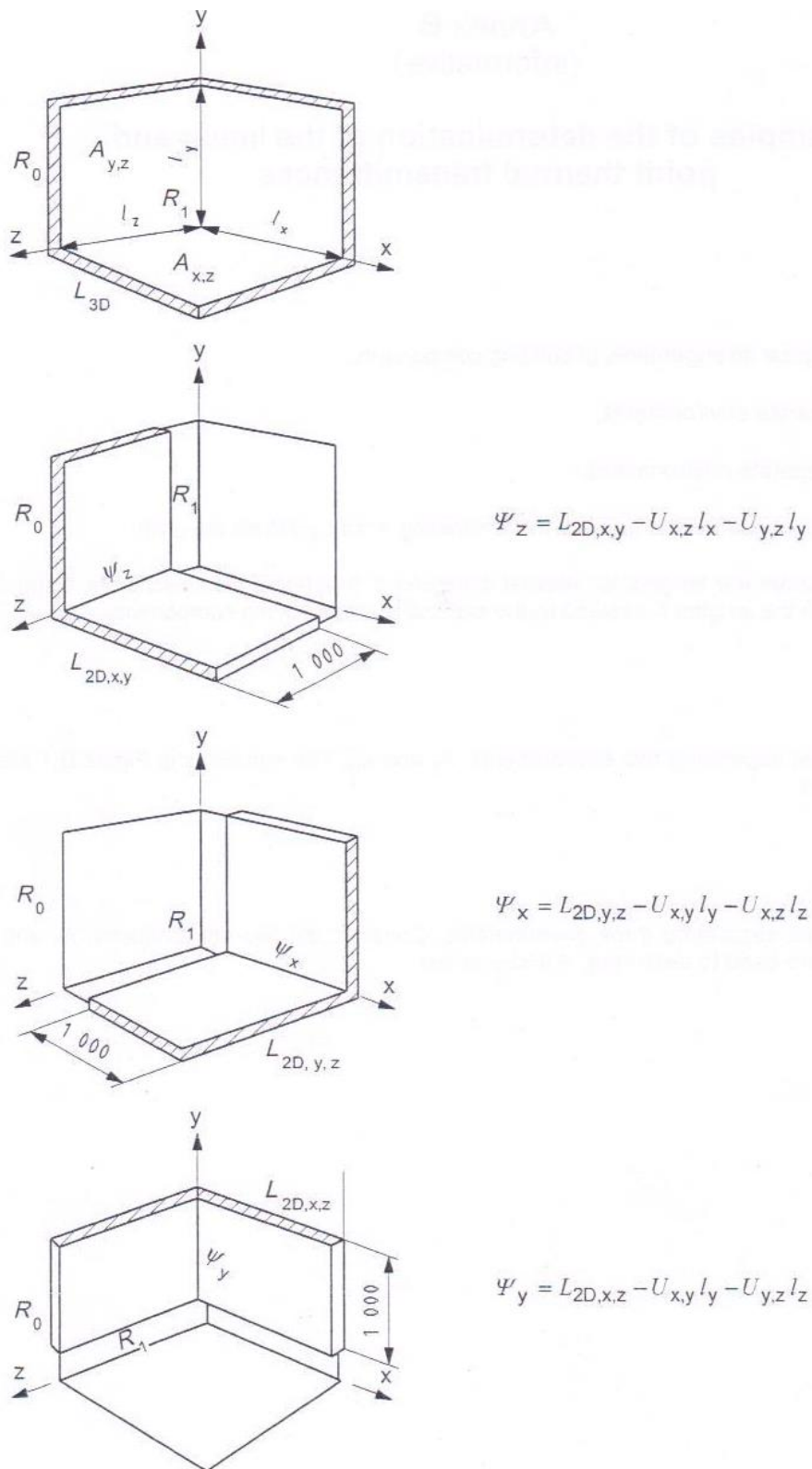
Za linijski topotni most, ki ločuje dve okolji, je linijska topotna prehodnost (Ψ) določena kot:

$$\Psi = L_{2D} - \sum_{j=1}^{Nj} U_j l_j \quad (4)$$

kjer so:

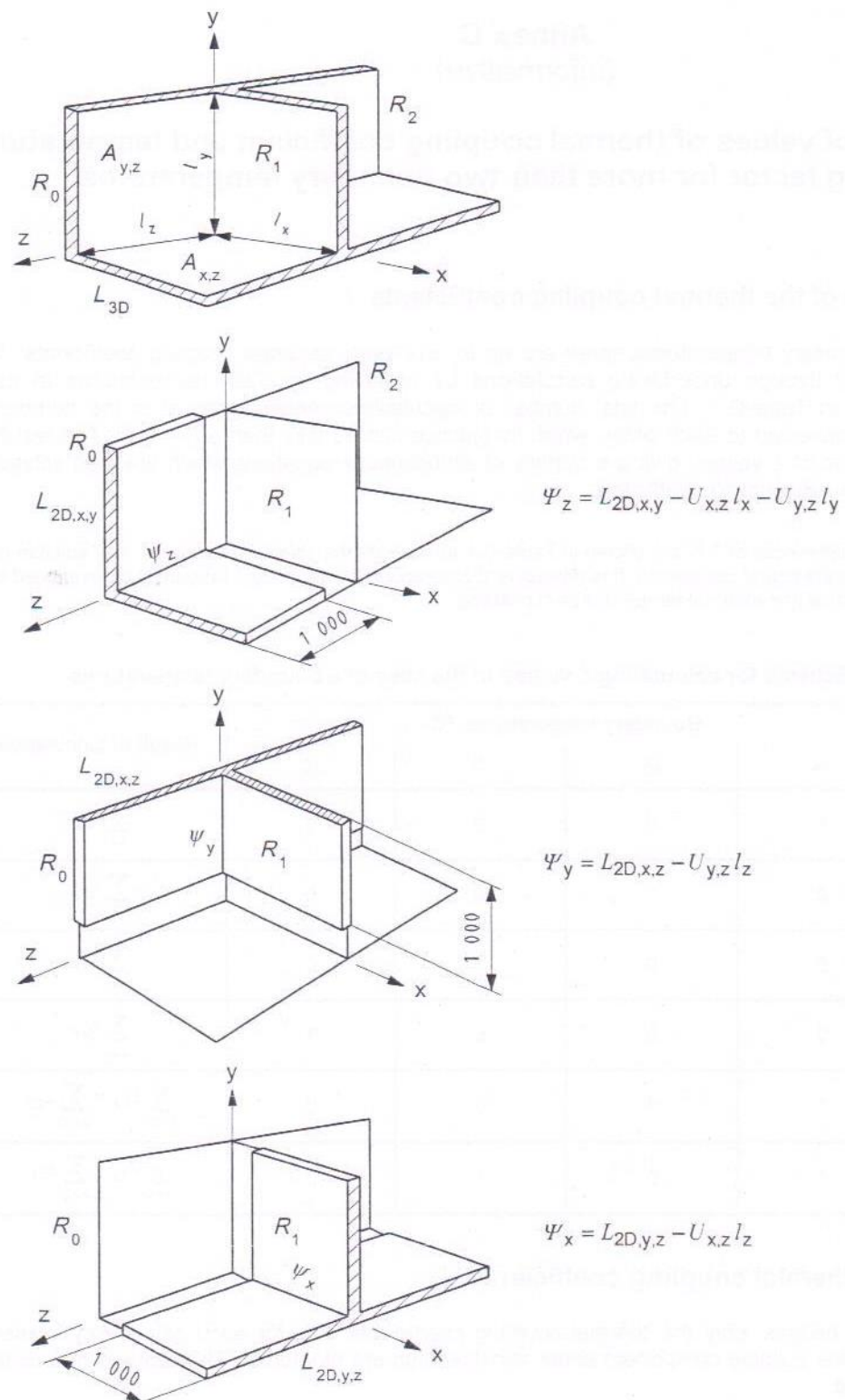
- U_j topotna prehodnost 1-D elementa j, ki ločuje obravnavani okolji,
 l_j dolžina znotraj 2-D elementa, na katero se nanaša vrednost U_j ,
 N_j število 1D-elementov.

Vrednost Ψ posameznega toplotnega mostu se razlikuje v odvisnosti od uporabljenega dimenzijskega sistema, zato moramo poleg vrednosti Ψ navesti tudi uporabljen sistem. Standardu so priloženi primeri za določitev linjske toplotne prehodnosti, ko gradbena konstrukcija ločuje dve (Privzeta slika 11) ali tri različna okolja (Privzeta slika 12).



Privzeta slika 11: Primeri določitve vrednosti Ψ , ko gradbena konstrukcija ločuje dve okolji [4]

Enačbe na prizetih slikah 11 in 12 so izpeljane iz enačbe 4. Ponazorjene dolžine se nanašajo na notranje dimenzijs, iste formule uporabimo v primeru zunanjih dimenzijs.



Prizeta slika 12: Primeri določitve vrednosti Ψ , ko gradbena konstrukcija ločuje tri okolja [4]

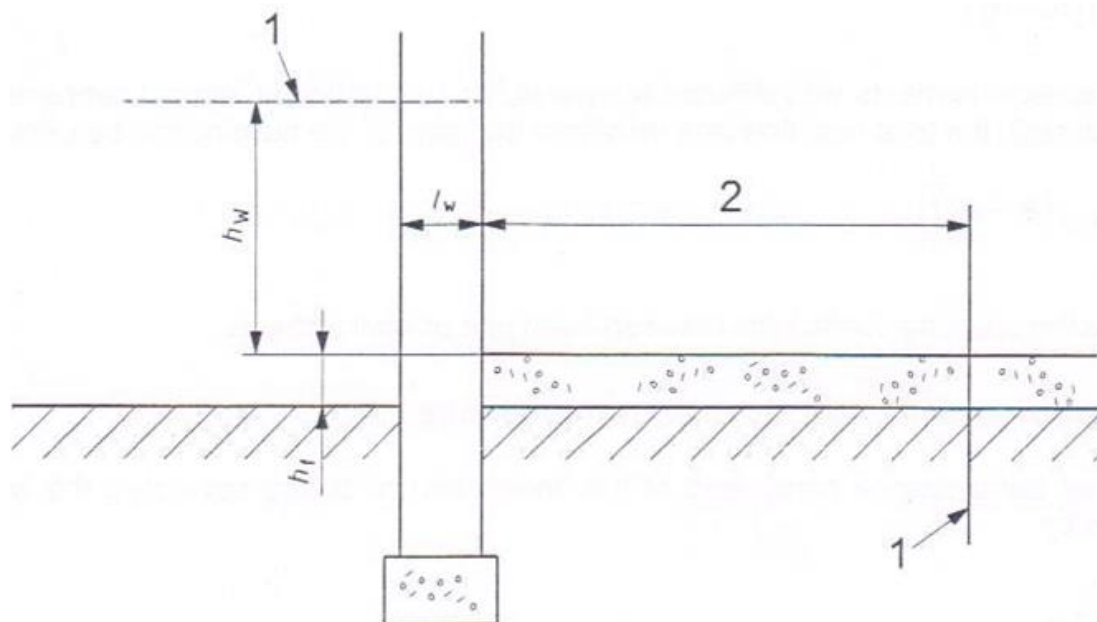
4.3.6 Določitev linijske toplotne prehodnosti za križanje stene/tal na terenu

Linijsko toplotno prehodnost za križanje stene/tal (Prvzeta slika 13) na terenu določimo z uporabo dvodimenzionalnega geometrijskega modela in numeričnega izračuna. Modeliramo celoten detail križanja, vključno s polovično širino pritličja (B') ali 4 m (kar je manjše). Odsek stene modeliramo do višine h_W , kjer je po splošnih kriterijih pozicionirana razdelilna ravnina. Dimenzijske modela zunaj stavbe in pod terenom segajo $2,5 \times$ širina pritličja ali 20 m (izberemo manjšo vrednost).

Z upoštevanjem robnih pogojev določimo vrednost koeficiente toplotne sklopitve in izračunamo toplotno prehodnost tal (U_g) in stene nad terenom (U_w). Nato lahko določimo linijsko toplotno prehodnost za notranje ali zunanje dimenzijske enačbe 5 ali enačbe 6.

$$\Psi_g = L_{2D} - h_W U_W - 0,5 \times B' U_g \quad (5)$$

$$\Psi_g = L_{2D} - (h_W + h_f) U_W - 0,5 \times (B' + l_W) U_g \quad (6)$$



Legenda:

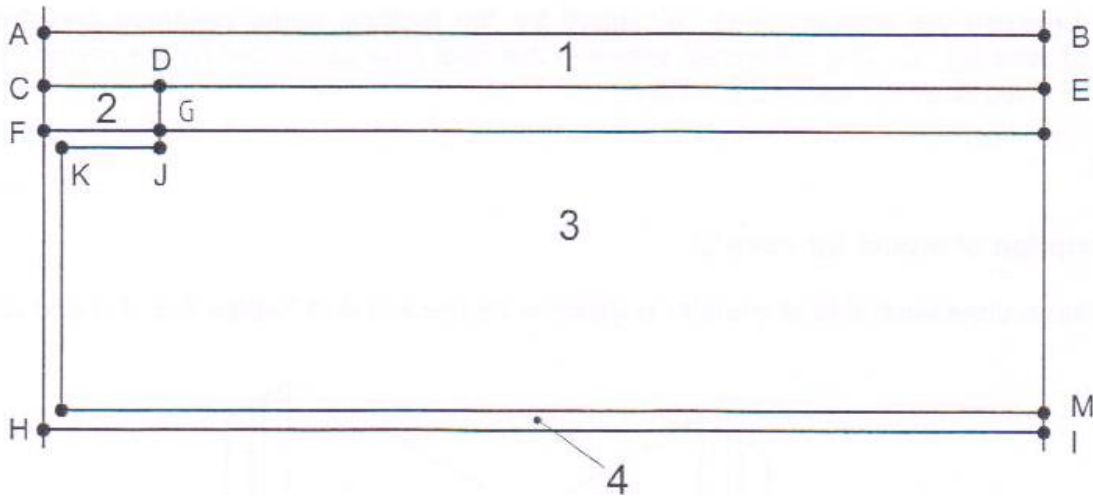
- 1 razdelilna ravnina
- 2 $0,5 \times B'$ ali 4 m
- h_f debelina talne plošče nad terenom
- h_W vplivna višina stene
- l_W debelina stene

Prvzeta slika 13: Shema križanja stene/tal na terenu [4]

4.3.7 Validacija numeričnih izračunov

Numerične izračune izvedemo s programsko opremo, katere delovanje moramo preveriti na referenčnih testnih primerih, podanih v prilogi standarda. Podana sta dva dvodimenzionalna in dva tridimenzionalna testna primera. Da lahko programsko opremo uporabimo pri izračunu 3D-modelov topotnih mostov, moramo delovanje preveriti na vseh podanih primerih.

Programsko opremo za izračun 2D-modelov gradbenih konstrukcij pa preverimo le na dveh dvodimenzionalnih testnih primerih. S prvim preverimo točnost izračuna porazdelitve temperature, z drugim (Privzeta slika 14) pa tudi dvodimenzionalni topotni tok. Določene so točne dimenzijske modela, topotna prevodnost materialov in robni pogoji. Razlike med rezultati temperatur numeričnega izračuna in referenčnimi rezultati testnega primera ne smejo presegati $0,1\text{ }^{\circ}\text{C}$. Pri topotnem toku razlika ne sme presegati $0,1\text{ W/m}$.



Legenda:

- | | |
|---|-------------------|
| 1 | beton |
| 2 | les |
| 3 | topotna izolacija |
| 4 | aluminij |

Privzeta slika 14: Testni primer za izračun porazdelitve temperature in topotnega toka [4]

Validacija programske opreme v skladu s testnimi primeri nam da prvi indikator kakovosti izračuna. Vendar testni primeri ne zadostujejo za zagotovilo pravilnega izračuna vseh primerov, ki jih srečujemo v praksi. Vsi štirje testni primeri temelijo na pravokotni geometriji, ne vsebujejo slojev zraka in ne obravnavajo izgub skozi tla ter kompleksnejših robnih pogojev [18].

5 IZHODIŠČNI IZRAČUN LETNE PORABE ENERGIJE ZA OGREVANJE STAVBE

5.1 Opis objekta



Slika 6: Obravnavana stavba

Poslovni objekt (Slika 6) v središču Novega mesta, ki služi kot upravna stavba zavarovalniške družbe, je bil zgrajen leta 1980. V več fazah je bil objekt popolnoma prenovljen, nedotaknjena je ostala le endoskeletalna nosilna konstrukcija (Slika 7). Zasnovana je na armirano betonskih (v nadaljevanju AB) okvirjih, ki imajo v obeh glavnih smereh raster stebrov 6,4 m. Stebri so povezani z nosilci, vmesna polja pa zapolnjujejo AB-plošče, debeline 16 cm. Klet in jedro zgradbe (stopnišče ter jašek dvigala) sta izvedena kot AB-eksoskletna konstrukcija. Konstruktivne višine etaž v trinadstropnem objektu so različne, odvisne od funkcionalnosti prostorov [23].

Prvotna fasada objekta je imela toplotna toplotno prehodnost od $U = 0,6 \text{ W/m}^2\text{K}$ (AB-zid s toplotno izolacijo debeline 5 cm) do $U = 4,1 \text{ W/m}^2\text{K}$ (AB-zid brez toplotne izolacije). Okna z aluminijastim okvirjem in dvoslojno zasteklitvijo z vmesno polnitvijo iz zraka so imela toplotno prehodnost 2,9–3,0 $\text{W/m}^2\text{K}$. Zaradi neprimerne toplotne izolativnosti in dotrajanosti zunanjega ovoja objekta je leta 2013 sledila obnova. Fasadni plašč v nadstropjih objekta sedaj predstavlja prezračevana fasada s toplotno izolacijo v debelini 20 cm, tako je toplotna prehodnost zunanje stene zmanjšana na

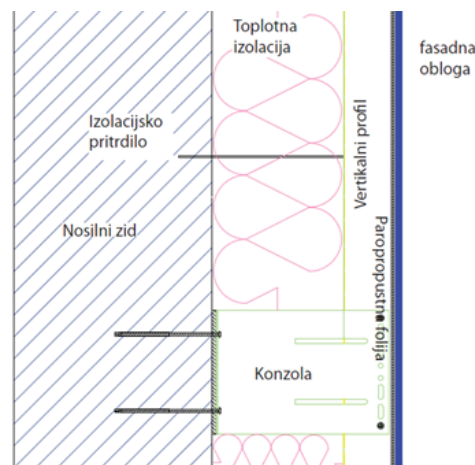
0,160 W/m²K. Nova PVC okna s troslojno zasteklitvijo pa imajo skupno topotno prehodnost 1 W/m²K [24].



Slika 7: Objekt pred (levo) in po (desno) prenovi

Velik delež zunanjega ovoja pritličja je transparenten s topotno prehodnostjo 1,3 W/m²K. Ravna streha in terase so bile pri prenovi dodatno topotno izolirane, prekrite z bitumensko hidroizolacijo in zaščitene s plastjo proda. V objekt so vključene vse energetske naprave za samostojno obratovanje, prezračevanje je mehansko z rekuperacijo toplotne [24].

Prezračevane fasade (Privzeta slika 15) se od običajnih kontaktnih fasad razlikujejo po tem, da imajo med zaključno fasadno oblogo in topotno izolacijo prezračevan zračni sloj. Namens prezračevalne plasti zraka je izsuševanje eventualne vlage, ki je posledica kondenzacije vodne pare, ki difuzijsko prehaja skozi konstrukcijo. Vlaga, ki se ne izsuši, namreč poslabša izolativne lastnosti izolacije. Poleti pa prezračevalni kanal preprečuje prekomerno segrevanje stavbe [25].



Privzeta slika 15: Shematičen prikaz prezračevane fasade obravnavanega objekta [25]

5.2 Programske orodje TOST

Za izračun letne porabe toplotne za ogrevanje smo uporabili program TOST, ki je zasnovan na letni energijski bilanci stavbe po standardu EN 13790. Izračun temelji na nizu enačb, v katerih so upoštevani vsi vplivni faktorji za izračun izgub Q_i , dobitkov Q_g in njihovih izkoristkov η ter končne porabe toplotne za ogrevanje objekta za vsako računsko obdobje Q_h .

$$Q_h = Q_i - \eta Q_g \quad (7)$$

Delovanje programa je zasnovano na naslednjih predpostavkah, ki imajo vpliv na upoštevanje topotnih mostov:

- točkovne topotne mostove se zanemari v celoti,
- od topotnih mostov med posameznimi conami se upošteva le tiste pri tleh med ogrevanimi in neogrevanimi conami,
- treba je upoštevati zunanjji sistem določanja mer, v skladu s standardom EN 13789.

Pri upoštevanju posameznih linijskih topotnih mostov je treba podati linijsko topotno prehodnost Ψ in dolžino, na katero se most nanaša. Program omogoča tudi poenostavljen račun topotnih mostov s povečanjem topotne prehodnosti celotnega ovoja stavbe za $0,06 \text{ W/m}^2\text{K}$.

V nadaljnjih poglavjih bomo predstavili vhodne podatke, potrebne za izračun energetske bilance stavbe.

Vhodni podatki zajemajo:

- splošne podatke
- klimatske podatke,
- računska časovna podobdobja,
- podrobnejše podatke o posameznih conah objekta.

5.3 Splošni podatki

Objekt uvrščamo med nestanovanjske stavbe. Pri izhodiščnem izračunu letne topotne za ogrevanje zgradbe ne bomo upoštevali vpliva topotnih mostov. Prevodnost zemljine λ_g znaša 2 W/mK . Za ogrevanje, hlajenje in ogrevanje sanitarnih voda so na sliki 8 prikazani vrsta energenta, učinkovitost in emisije posameznih sistemov. Točne lastnosti niso znane, zato smo uporabili predpostavljene vrednosti iz uporabniškega priročnika programske opreme TOST [26].

The screenshot displays three sections of input data:

- Ogrevanje (Heating):**
 - Energent: Zemeljski plin
 - Učinkovitost sistemov (Efficiency of systems):
 - Generacija: 0,90
 - Distribucija: 0,95
 - Emisija: 0,96
- Hlajenje (Cooling):**
 - Energent: Električna energija
 - Učinkovitost sistemov (Efficiency of systems):
 - Generacija: 3,50
 - Distribucija: 0,95
 - Emisija: 0,96
- Topla voda (Hot Water):**
 - Energent: Zemeljski plin
 - Učinkovitost sistemov (Efficiency of systems):
 - Generacija: 0,90
 - Distribucija: 0,95
 - Emisija: 0,96

Slika 8: Vhodni podatki o sistemih za ogrevanju, hlajenju in ogrevanju sanitarne vode

5.4 Klimatski podatki

Program TOST na osnovi izbranih koordinat stavbe, ki je zgrajena v središču Novega mesta, upošteva ustrezne klimatski podatke (Slika 9).

Temperaturni primanjkljaj DD (dan K)	3100
Projektna temperatura (°C)	-13
Povprečna letna temperatura (°C)	10,1
Letna sončna energija (kWh/m ²)	1160
Trajanje ogrevalne sezone (dnevi)	230
Začetek ogrevalne sezone (dan)	270
Konec ogrevalne sezone (dan)	135

Izbrani kvadrat	
Point ID	16541
X	513500
Y	73500

Mesec	Povprečna temperatura (°C)	Globalno sončno sevanje po orientacijah (MJ/m ² , 90°)					Ogrevanje (dnevi)
		Horizont.	S	V	J	Z	
JAN	0,0	117	32	63	178	82	31
FEB	2,0	191	45	94	236	128	28
MAR	6,0	312	71	155	264	177	31
APR	10,0	446	113	222	256	221	30
MAJ	15,0	541	132	262	235	242	15
JUN	18,0	584	156	260	224	269	0
JUL	20,0	637	147	279	250	292	0
AVG	19,0	530	115	243	269	256	0
SEPT	15,0	370	87	174	264	185	3
OKT	10,0	229	63	114	217	122	31
NOV	5,0	120	39	67	137	64	30
DEC	1,0	93	30	55	133	56	31
Ogrev.sezona	5,7	1809	471	918	1564	990	230

Slika 9: Klimatski podatki

5.5 Računska podobdobja

Obravnavan poslovni objekt je ogrevan na temperaturo 22 °C le v času prisotnosti zaposlenih. V času nezasedenosti je ogrevan na nižje temperature in manj prezračevan, kar prispeva k prihranku energije. Poleg normalnega obratovanja smo tako upoštevali računska časovna podobdobja za čas noči, vikendov in nezasedenosti v času praznikov. Režim noči je med osemajsto uro popoldan in peto uro zjutraj vse dni v letu. Točna trajanja posameznih podobdobjij prikazuje slika 10.

Mesec	Trajanje časovnega podobdobja t_{sub} (h)			Dni nezas
	Normalno	Noč	Vikend	
JAN	276	348	96	1
FEB	252	324	96	0
MAR	264	360	120	0
APR	264	336	96	1
MAJ	264	336	96	2
JUN	252	336	108	1
JUL	288	360	96	0
AVG	252	348	120	1
SEP	276	348	96	0
OKT	276	348	96	1
NOV	252	348	120	0
DEC	264	336	96	2
V ogrevalni sezoni	5520	0	0	

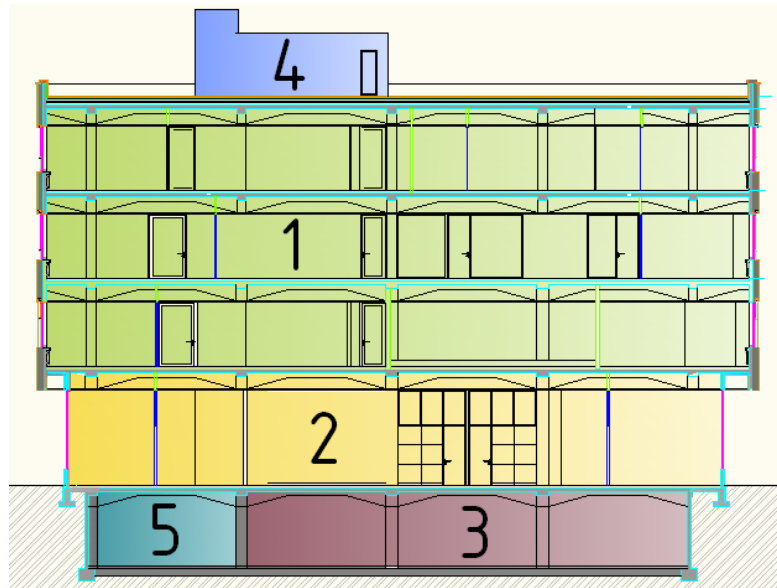
Slika 10: Računska podobdobja

5.6 Podatki o conah

Pred izvedbo analize smo obravnavani objekt razčlenili na pet temperaturnih con. To so prostori, ki nastanejo zaradi različnih dejavnosti, pri katerih so potrebne različne temperature. Posamezna cona obsega prostore oziroma delež tlorisa stavbe. PURES 2010 omogoča, da se, kadar prostornina neogrevanih in manj ogrevanih prostorov (na primer stopnišča, hodniki, avle) ne presega 20 % ogrevane površine stavbe, lahko privzame ena toplotna cona, ki vključuje omenjene manj ogrevane in neogrevane prostore.

Obravnavani objekt smo glede na režime ogrevanja razdelili na pet con (Slika 11):

1. kondicionirana cona (pisarniški prostori) - 1. KC
2. kondicionirana cona (pritliče) - 2. KC
3. kondicionirana cona z kondic. kletjo (kletni prostori) - KC z KK
4. nekondicionirana cona (ostrešni prostori) - NC
5. nekondicionirana cona z nekondicionirana kletjo (zaklonišče) - NC z NK



Slika 11: Cone stavbe

5.6.1 Osnovni podatki

Osnovni podatki za obravnavano stavbo so prikazani v preglednici 1. Prostornina posamezne cone je določena z upoštevanjem zunanjih dimenzijs (bruto prostornina), program pa avtomatično izračuna neto prostornino ogrevanega prostora. V določenih časovnih podobdobjih je upoštevana nižja notranja temperatura prostorov. Skladno z EN 13790 smo izbrali vrsto stavbe glede na topotno kapaciteto, na osnovi katere program izračuna efektivno topotno kapaciteto posamezne cone.

Preglednica 1: Osnovni podatki o posameznih conah

	1. KC	2. KC	KC z KK	NC	NC z NK
Prostornina cone $V_e [m^3]$	7667,8	2804,5	1247,2	139,43	431,6
Uporabna površina cone $A_u [m^2]$	1925,5	536,1	352,9	50,7	88,1
Efektivna topotna kapaciteta $C [MJ/K]$	317,7	88,5	91,8	/	/
Projektna notranja temperatura $\theta [^\circ C]$					
Normalno	22	22	22	/	/
Noč	16	16	16	/	/
Vikend	16	16	16	/	/
Nezasedeno	16	16	16	/	/

Povprečne moči notranjih dobitkov virov (Preglednica 2) so določene na podlagi Dodatka G standarda EN 13790. V posamezni conah smo v času zasednosti na 60 % uporabne površine upoštevali 20 W/m^2 , na 40 % pa 8 W/m^2 . V ostalih podobdobjih so vrednosti zmanjšane na 2 W/m^2 in 1 W/m^2 .

Preglednica 2: Vhodni podatki o moči notranjih dobitkov virov

Povprečna moč notranjih dobitkov virov ϕ [W]	1. KC	2. KC	KC z KK	NC	NC z NK
Normalno	31349	8526	5495	/	/
Noč	3305	897	578	/	/
Vikend	3305	897	578	/	/
Nezasedeno	3305	897	578	/	/

5.6.2 Prezračevanje

Lastnosti prezračevalnega sistema so predstavljene v preglednicah 3, 4, 5 in 6. Vse cone objekta, razen ostrešnih prostorov, so mehansko prezračevane z rekuperacijo toplote. Pri prezračevanju rekuperator vrača toploto odpadnega zraka zraku, ki vstopa v stavbo. Točni podatki glede prezračevanja niso na voljo, zato smo jih inženirsko ocenili na podlagi 8. člena Pravilnika o prezračevanju in klimatizaciji stavb [27] in ogleda objekta.

Urna izmenjava zraka z zunanjim okoljem v času zasedenosti stavbe v 1. in 2. kondicionirani coni znaša 1 h^{-1} , v ostalih dveh $0,7 \text{ h}^{-1}$. V ostalih časovnih podobdobjih je urna izmenjava zraka v mehansko prezračevanih conah zmanjšana na $0,25 \text{ h}^{-1}$. Ustvarjen je manjši nadtlak (vtok večji kot iztok).

Preglednica 3: Podatki o mehanskem prezračevanju objekta v času zasedenosti objekta

	1. KC	2. KC	KC z OK	NC z NK
Količina odtoka zraka V_{ex} [m^3/s]	2,02	0,74	0,23	0,08
Količina dotoka zraka V_{su} [m^3/s]	2,13	0,78	0,24	0,09
Količina pretoka pri naravnem pre. V_o [m^3/s]	0,00	0,00	0,00	0,00
Projektna vrednost količine pretoka zraka prezračevalnega sistema $V_{t,d}$ [m^3/s]	2,13	0,78	0,24	0,09

Preglednica 4: Podatki o mehanskem prezračevanju objekta v času noči, vikendov in praznikov

	1. KC	2. KC	KC z OK	NC z NK
Količina odtoka zraka $V_{ex} [m^3/s]$	0,51	0,19	0,08	0,03
Količina dotoka zraka $V_{su} [m^3/s]$	0,53	0,20	0,09	0,03
Količina pretoka pri naravnem pre. $V_o [m^3/s]$	0,00	0,00	0,00	0,00
Projektna vrednost količine pretoka zraka prezračevalnega sistema $V_{t,d} [m^3/s]$	0,53	0,20	0,09	0,03

Preglednica 5: Dodatni podatki o mehanskem prezračevanju objekta

Del časovnega obdobja, ko so ventilatorji izključeni $\beta [-]$	0,75
Učinkovitost rekuperacijskega sistema $\eta_v [-]$	0,85
Urna izmenjava zraka pri tlačni razliki 50 Pa: $n_{50} [h^{-1}]$	4,00
Koeficient zaščite proti vetru e [-]	0,07
Koeficient izpostavljenosti vetru f [-]	15,00

Preglednica 6: Podatki o naravnem prezračevanju ostrešne neogrevane cone (cona NC)

	Normalno	Noč, vikend, noč
Urna izmenjava zraka z zunanjim okoljem $n [h^{-1}]$	0,5	0,3
Minimalna izmenjava zraka $n_{min} [h^{-1}]$	0,2	0,2

5.6.3 Zunanja stena, streha

Po obodu posameznih con se konstrukcijski sklopi sten spreminja, s tem pa tudi topotna prehodnost. Program ne omogoča dodajanja več različnih tipov zunanje stene pri posamezni topotni coni, zato smo upoštevali povprečne vrednosti njihovih karakteristik v sorazmerju s površino. Topotno prehodnost posameznega konstrukcijskega sklopa smo določili na podlagi standarda SIST EN ISO 6946 [28]. Podatki so prikazani v preglednicah 7, 8 in 9.

Preglednica 7: Podatki o zunanjih stenah

	1. KC	2. KC	KC z OK	NC	NC z NK
Površina A [m^2]	859,5	161,8	/	79,07	/
Toplotna prehodnost U [W/m^2K]	0,160	0,318	/	0,335	/

Preglednica 8: Podatki o strehah

	1. KC	2. KC	KC z OK	NC	NC z NK
Površina A [m^2]	692,2	/	/	50,7	/
Toplotna prehodnost U [W/m^2K]	0,153	/	/	0,398	/

Preglednica 9: Podatki o zunanjih stenah kleti, ki so v stiku z zemljino

	KC z OK	NC z NK
Skupni toplotni upor $R_{bw,t}$ [m^2K/W]	1,724	1,911

5.6.4 Transparentni konstrukcijski sklopi

Podatki o posameznih transparentnih konstrukcijskih sklopov so povzeti po projektni dokumentaciji prenove objekta [24]. Prikazani so v preglednici 10 in 11.

Preglednica 10: Površina transparentnih konstrukcijskih sklopov

Površina elementov A_w [m^2]	J	S	V	Z
1. KC	144,2	142,1	131,8	140,9
2. KC	75,3	74,2	67,0	36,5
KC z OK	/	/	/	/
NC	/	/	2,9	/
NC z NK	/	/	/	/

Preglednica 11: Podatki o transparentnih konstrukcijskih sklopih

	1. KC	2. KC	NC
Toplotna prehodnost $U_W [W/m^2K]$	1,00	1,3	1,50
Prehod celotnega sončnega sevanja	0,53	0,58	0,58
Faktor okvirja F_F	0,85	0,85	0,80
Faktor osenčenosti F_S in zaves F_C	1	1	1

5.6.5 Tla

Vrednosti topotne prehodnosti tal na terenu in ostali relevantni podatki so prikazani v preglednici 12. Pri izpostavljenem obsegu tal smo upoštevali le dolžino oboda posamezne cone, ki je izpostavljena vplivu zemljine. V izračunu je upoštevan tudi vpliv robne izolacije ob temelju pritličja.

Preglednica 12: Tla na terenu z robno izolacijo

	1. KC	2. KC	KC z OK	NC	NC z NK
Površina tal $A_f [m^2]$	/	74,3	361,50	/	125,10
Izpstavljeni obseg tal $P [m]$	/	95,75	62,15	/	26,0
Skupni topotni upor tal $R_{f,t} [m^2K/W]$	/	1,89	0,465	/	0,597
Deb. zunanje stene nad nivojem terena $d_w [m]$	/	0,22	0,22	/	0,22
Globina tal kleti pod nivojem terena $z [m]$	/	/	3,45	/	3,45
Debelina sloja robne izolacije $d_{ins,n} [m]$	/	0,05	/	/	/
Globina vertikalne robne izolacije $D_v [m]$	/	0,65	/	/	/
Širina horizontalne robne izolacije $D_h [m]$	/	0,15	/	/	/

5.6.6 Konstrukcijski sklopi med conami

Površine in topotna prehodnost konstrukcijskih sklopov med posameznimi conami so predstavljene v preglednici 13.

Preglednica 13: Predelni konstrukcijski sklopi med conami

A [m^2] / U [W/m^2K]	1. KC	2. KC	KC z OK	NC	NC z NK
1. KC	/	560,9 / 1,134	/	43,0 / 0,438	/
2. KC	560,9 / 1,134	/	361,5 / 0,534	/	125,1 / 0,483
KC z OK	/	361,5 / 0,534	/	/	87,9 / 1,664
NC	43,0 / 0,438	/	/	/	/
NC z NK	/	125,1 / 0,483	87,9 / 1,664	/	/

5.7 REZULTATI

Program TOST nam samodejno poda glavne rezultate skladno s PURES-om 2010 in diagnozo o energetski ustreznosti objekta (Preglednica 14). Mejne vrednosti maksimalne dovoljene rabe energije se nanašajo na 21. člen PURES-a 2010.

Preglednica 14: Toplotna bilanca brez upoštevanja toplotnih mostov

Površina toplotnega ovoja stavbe A [m^2]	3217,3	
Kondencirana prostornina stavbe V _e [m^3]	11719,5	
Oblikovni faktor $f_0 = A / V_e$ [m^{-1}]	0,27	
Koefficient specifičnih transmisijskih toplotnih izgub stavbe H _{T'} [W/m^2K]	Izračunano	Največ dovoljeno
	0,48	0,52
Letna raba primarne energije Q _P [kWh]	396,228	/
Letna potrebna toplota za ogrevanje Q _{NH} [kWh]	79,381	101,337
Specifična letna toplota za ogrevanje na enoto kondicionirane prostornine Q _{NH} /V _e [kWh/m^3a]	6,77	8,65

Objekt ustreza podanim pogojem za doseganje energetske učinkovitosti stavbe, vendar pri izhodiščnem izračunu nismo še upoštevali vpliva toplotnih mostov.

Program poda tudi vrednosti letnih specifičnih izgub, dobitkov in potrebne topote za ogrevanje po posameznih conah in celotne stavbe. Podatki so prikazani v tabeli 15.

Preglednica 15: Izgube in dobitki po conah, brez upoštevanja vpliva topotnih mostov

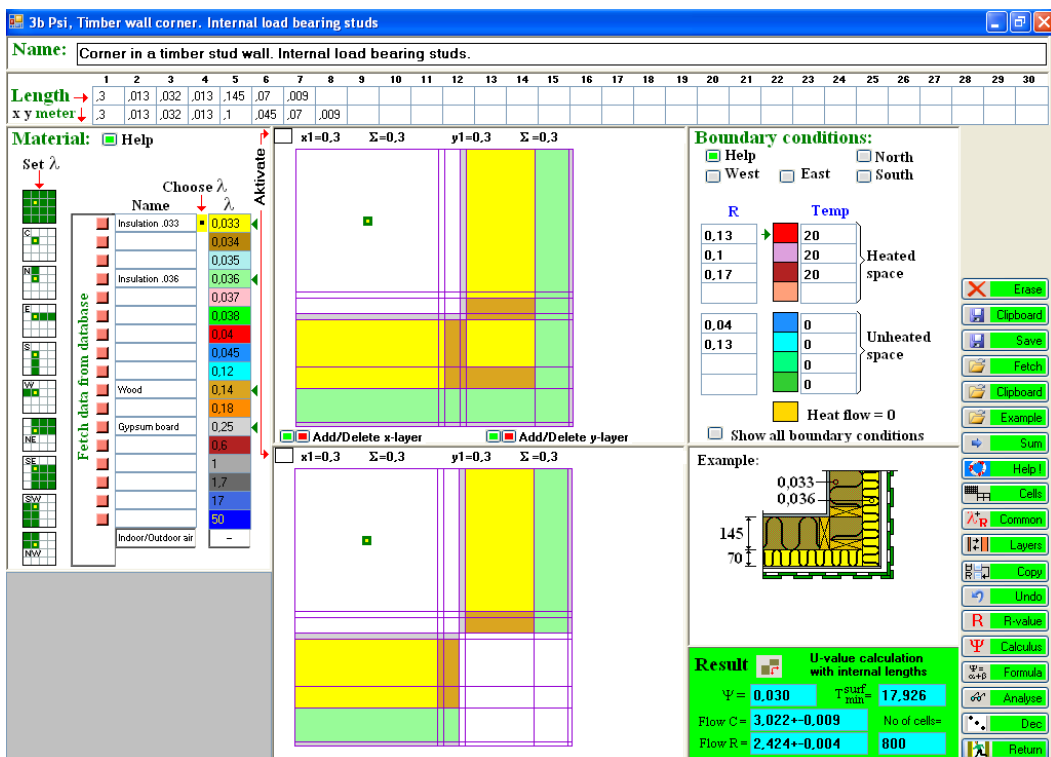
kWh/m ³	1. KC	2. KC	KC z OK	STAVBA
Transmisijske izgube	5,92	11,47	7,37	7,41
Ventilacijske izgube	5,10	6,32	4,04	5,28
Skupne izgube	11,03	17,80	11,40	12,69
Notranji dobitki	5,47	6,43	5,49	5,70
Solarni dobitki	0,99	1,77	/	1,07
Skupni dobitki	6,47	8,20	5,49	6,78
Potrebna topota za ogrevanje	5,41	10,55	6,65	6,77

Iz stališča transmisijkih izgub je problematična predvsem 2. kondicionirana cona (pritličje), saj ima velik delež trasparentnih površin in višjo topotno prehodnost zunanjih konstrukcijskih sklopov. Topotni mostovi imajo neposreden vpliv na količnik specifičnih transmisijskih topotnih izgub in letno potrebno topoto za ogrevanje stavbe. Kolikšen je ta vpliv, bomo preverili v nadaljevanju diplomske naloge.

6 NUMERIČNA ANALIZA TOPLOTNIH MOSTOV

6.1 PROGRAMSKA OPREMA

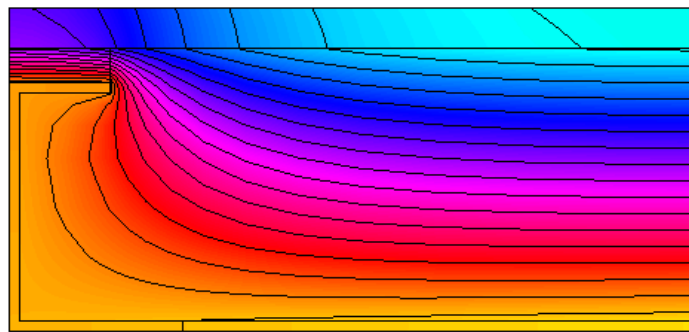
Unorm je zmogljiv program (Slika 12), izdelan v okolju Visual Basic. Omogoča izračun toplotnega toka in porazdelitev temperature v tri- ali dvodimenzionalnih modelih gradbenih konstrukcij.



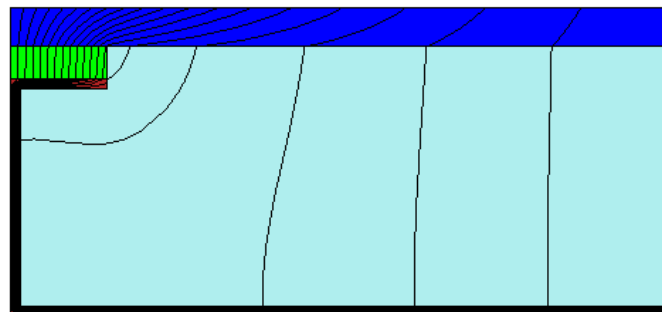
Slika 12: Uporabniško okolje programa Unorm

Primeren je za analizo detajlov gradbenih konstrukcij (križanja, okenski okvirji, fasadne konstrukcije ...). Razvit je za izračun elementov, katerih meje so vzporedne ravninam kartezičnega koordinatnega sistema. Vhodne podatke lahko vnesemo poljubno ali s spremenjanjem podanih primerov. Podani so demonstracijski modeli, na katerih je natančno pojasnjeno upravljanje programa. Vključene so podatkovne baze toplotnih prevodnosti materialov in robnih pogojev. Poleg toplotnega toka in najnižje površinske temperature omogoča tudi grafičen prikaz porazdelitve temperature (Slika 13) in toplotnih tokov (Slika 14). Natančnost delovanja programa je potrjena na vseh štirih referenčnih testnih primerih, podanih v prilogi standarda EN 10211. Na sliki 14 je v grafičnem okolju programa prikazan drugi od testnih primerov.

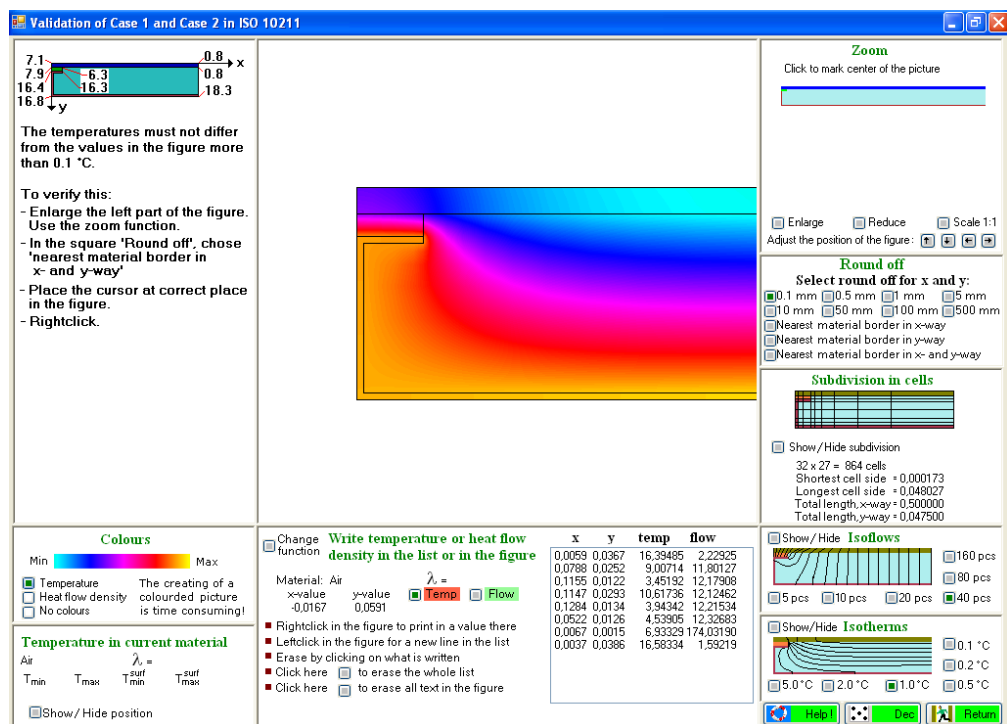
Pri numerični analizi toplotnih mostov bomo program uporabili samo za izračun toplotnega toka. Program sicer izračuna tudi linijsko toplotno prehodnost mostov, a bomo podatek zanemarili, saj postopek izračuna ni v skladu s standardom EN 10211.



Slika 13: Grafični prikaz porazdelitve temperature skozi testni primer v programu Unorm



Slika 14: Grafični prikaz topotnega toka skozi testni primer v programu Unorm



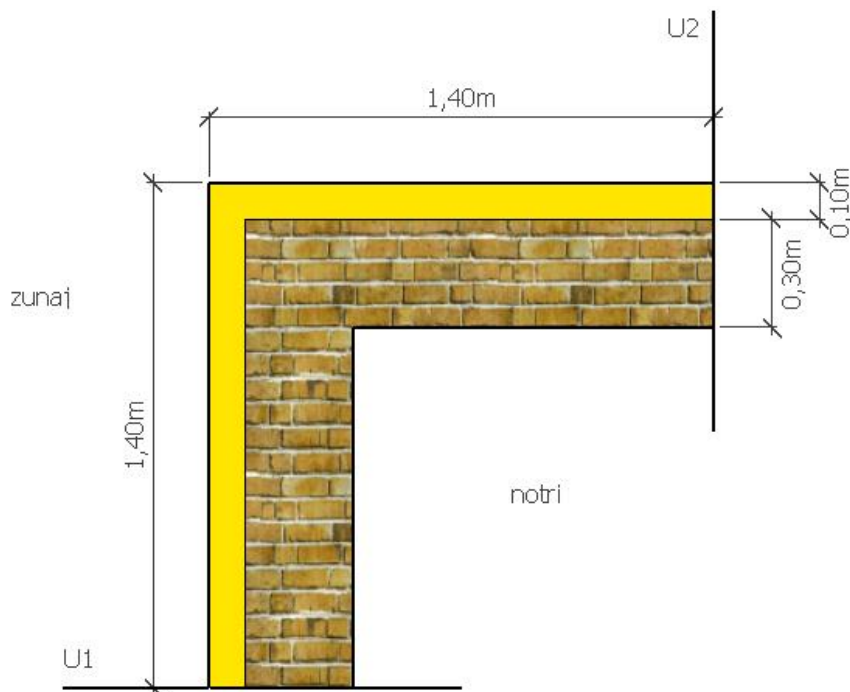
Slika 15: Grafični prikaz testnega primera v uporabniškem vmesniku programa Unorm

6.2 POSTOPEK IZRAČUNA LINIJSKE TOPLOTNE PREHODNOSTI

V skladu s standardom EN 10211 bomo izračunali linijsko topotno prehodnost dveh enostavnih primerov geometrijskega in konstrukcijskega topotnega mostu. Izračun temelji na sistemu zunanjih mer, ki ga predpisuje tehnična smernica TSG 4.

6.2.1 Geometrijski topotni most

Obravnavamo tipičen geometrijski topotni most na primeru vogala zunanje stene (Slika 16). Podatki so prikazani v preglednici 16, v nadaljevanju pa je podan postopek izračuna in grafični prikaz poteka temperature in topotnega toka skozi detalj (Slika 18).



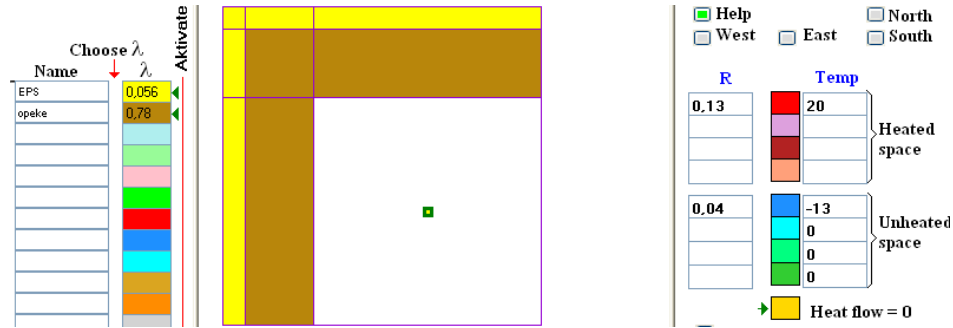
Slika 16: Primer geometrijskega topotnega mostu

Preglednica 16: Vhodni podatki geometrijskega topotnega mostu

Temperatura notranjega okolja θ_i [°C]	20	Debelina izolacije d_2 [m]	0,05
Temperatura zunanjega okolja θ_e [°C]	-13	Dolžina l_1 [m]	1,40
Topotna prevodnost opeke λ_1 [W/mK]	0,78	Dolžina l_2 [m]	1,40
Topotna prevodnost izolacije λ_2 [W/mK]	0,056	Mejni zračni upor R_{si} [m^2K/W]	0,13
Debelina opeke d_1 [m]	0,3	Mejni zračni upor R_{se} [m^2K/W]	0,04

- V program vnesemo geometrijo, topotno prevodnost materialov in robne pogoje ter izberemo število celic (slika 17). Program izračuna vrednost topotnega toka (na meter dolžine):

$$\Phi_l = 34,495 \text{ W/m}$$



Slika 17: Model geometrijskega topotnega mostu v programu Unorm

- Izračun koeficienta topotne sklopitve

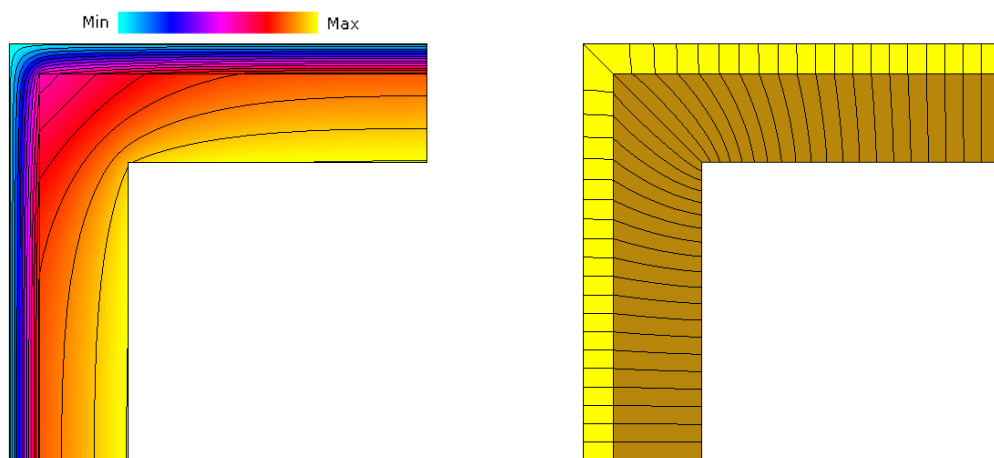
$$L_{2D} = \frac{\Phi_l}{(\theta_i - \theta_e)} = \frac{34,495}{(20+13)} = 1,045 \frac{W}{mK}$$

- Izračun topotne prehodnosti zidu

$$U_1 = U_2 = 1 / \left(R_{se} + \frac{d_1}{d_2} + \frac{d_2}{\lambda_2} + R_{si} \right) = 1 / \left(0,04 + \frac{0,3}{0,78} + \frac{0,10}{0,056} + 0,13 \right) = 0,427 \frac{W}{m^2 K}$$

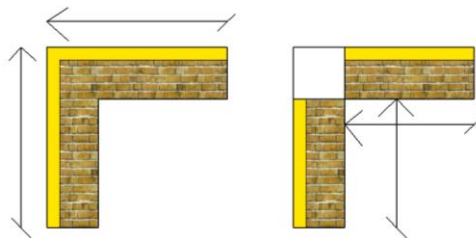
- Izračun linijske topotne prehodnosti

$$\Psi = L_{2D} - \sum U_j l_j = 1,045 - 0,427 \times 1,40 - 0,427 \times 1,40 = -0,15 \frac{W}{mK}$$



Slika 18: Porazdelitev temperature (levo) in topotni tok (desno) topotnega mostu

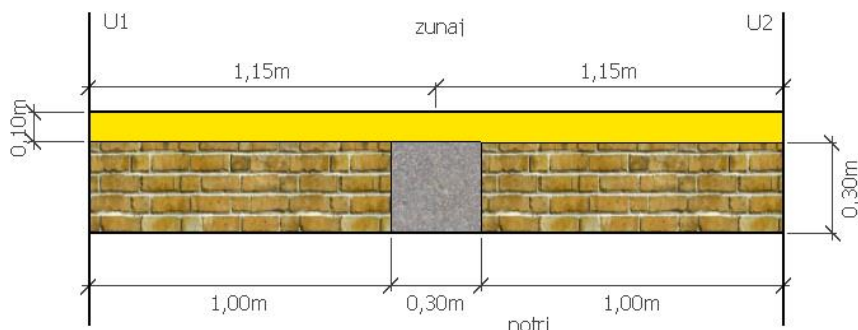
Na vrednost linijske toplotne prehodnosti Ψ vpliva tudi izbira dimenzijskega sistema, na podlagi katerega računamo transmisjske izgube celotnega objekta. Ob uporabi zunanjega dimenzijskega sistema je površina v vogalu zunanje stene (Slika 19), preko katere toplota prehaja iz ogrevanega prostora v zunanje okolje, precenjena. Posledično je vrednost linijske toplotne prehodnosti negativna. Ob uporabi notranjega dimenzijskega sistema pa je površina podcenjena, vrednost linijske toplotne prehodnosti pa je zato pozitivna.



Slika 19: Shema zunanjega (levo) in notranjega (desno) dimenzijskega sistema

6.2.2 Konstrukcijski toplotni most

Obravnavamo primer konstrukcijskega toplotnega mostu (Slika 20). Vhodni podatki so prikazani v preglednici 17, grafični izhodni podatki pa na sliki 22.



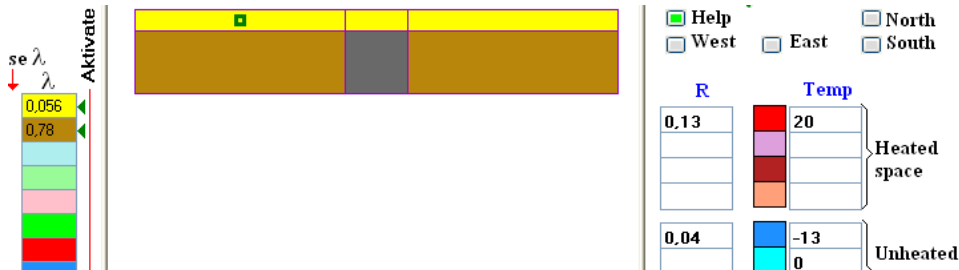
Slika 20: Primer konstrukcijskega toplotnega mostu

Preglednica 17: Vhodni podatki konstrukcijskega toplotnega mostu

Temperatura notranjega okolja θ_i [°C]	20	Debelina izolacije d_2 [m]	0,1
Temperatura zunanjega okolja θ_e [°C]	-13	Dolžina l_1 [m]	1,15
Toplotna prevodnost opeke λ_1 [W/mK]	0,78	Dolžina l_2 [m]	1,15
Toplotna prevodnost izolacije λ_2 [W/mK]	0,056	Mejni zračni upor R_{si} [m^2K/W]	0,13
Toplotna prevodnost betona λ_3 [W/mK]	1,7	Mejni zračni upor R_{se} [m^2K/W]	0,04

- V program vnesemo geometrijo, topotno prevodnost materialov in robne pogoje ter izberemo število celic (Slika 21). Program izračuna vrednost topotnega toka (na meter dolžine):

$$\Phi_l = 32,933 \text{ W/m}$$



Slika 21: Model konstrukcijskega topotnega mostu v programu Unorm

- Izračun koeficienta topotne sklopitve

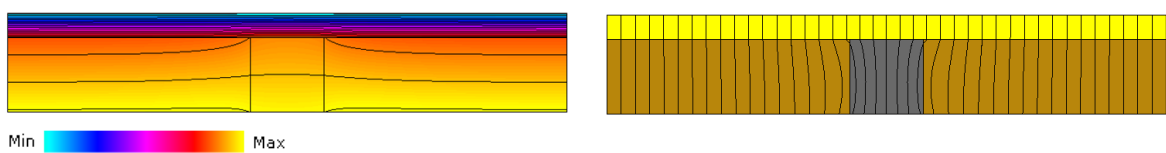
$$L_{2D} = \frac{\Phi_l}{(\theta_i - \theta_e)} = \frac{32,933}{(20+13)} = 0,997 \frac{\text{W}}{\text{mK}}$$

- Izračun topotne prehodnosti zidu

$$U_1 = U_2 = 1 / \left(R_{se} + \frac{d_1}{\lambda_1} + \frac{d_2}{\lambda_2} + R_{si} \right) = 1 / \left(0,04 + \frac{0,3}{0,78} + \frac{0,10}{0,056} + 0,13 \right) = 0,427 \frac{\text{W}}{\text{m}^2\text{K}}$$

- Izračun linijske topotne prehodnosti

$$\Psi = L_{2D} - \sum U_j l_j = 0,997 - 0,427 \times 1,15 - 0,427 \times 1,15 = 0,015 \frac{\text{W}}{\text{mK}}$$

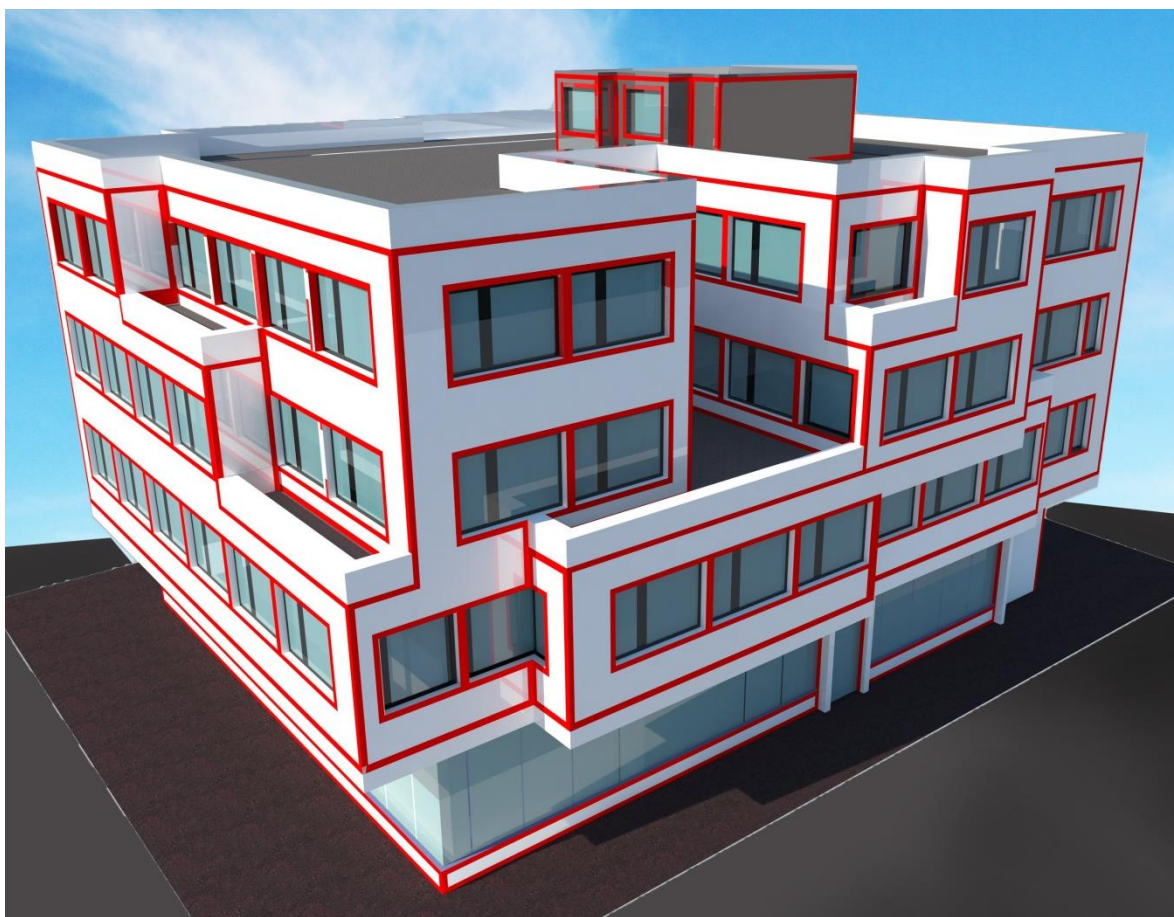


Slika 22: Porazdelitev temperature (levo) in topotni tok (desno) topotnega mostu

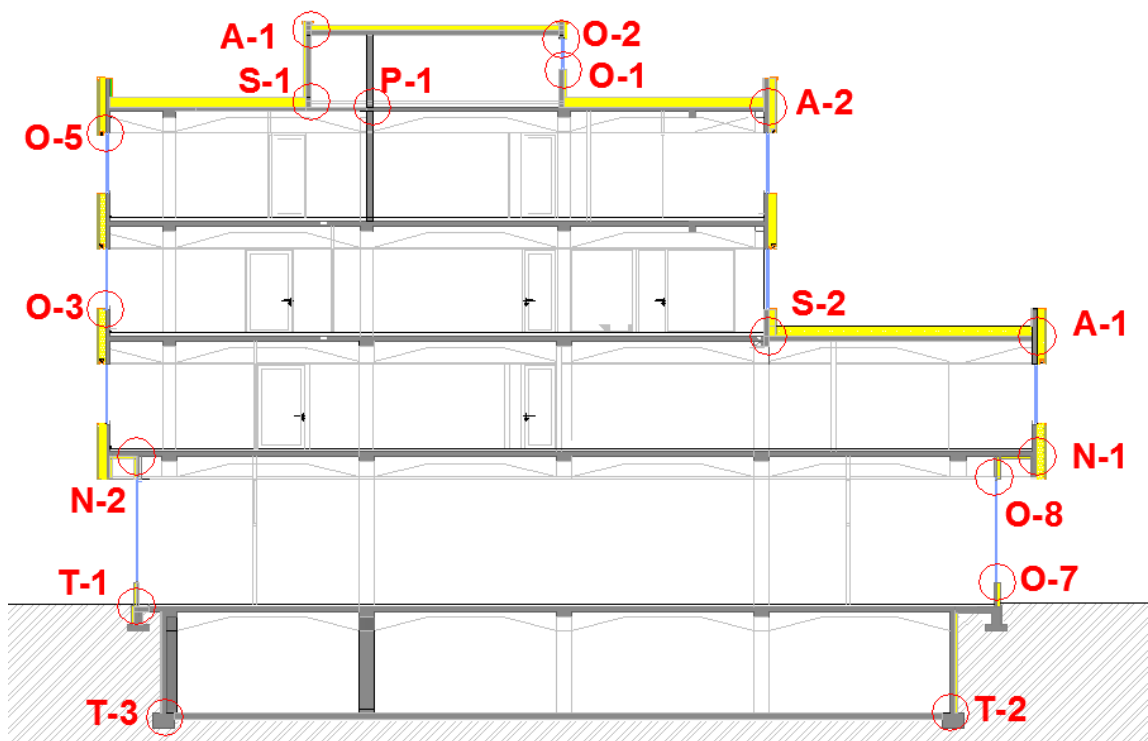
6.3 EVIDENTIRANJE TOPLONIH MOSTOV OBRAVNNAVANE STAVBE

Na obravnavanem objektu smo locirali topotne mostove (Slika 23). Poleg geometrijskih so prisotni tudi konstrukcijski topotni mostovi, saj je topotnoizolacijski ovoj kljub prenovi na več mestih prekinjen. Večina topotnih mostov je kombinacija obeh. Prikazan je tipičen prerez (Slika 24) in tloris (Slika 25) stavbe, na katerih so označeni topotni mostovi. Poimenovali smo jih glede na konstrukcijski detajl, v katerem se pojavijo:

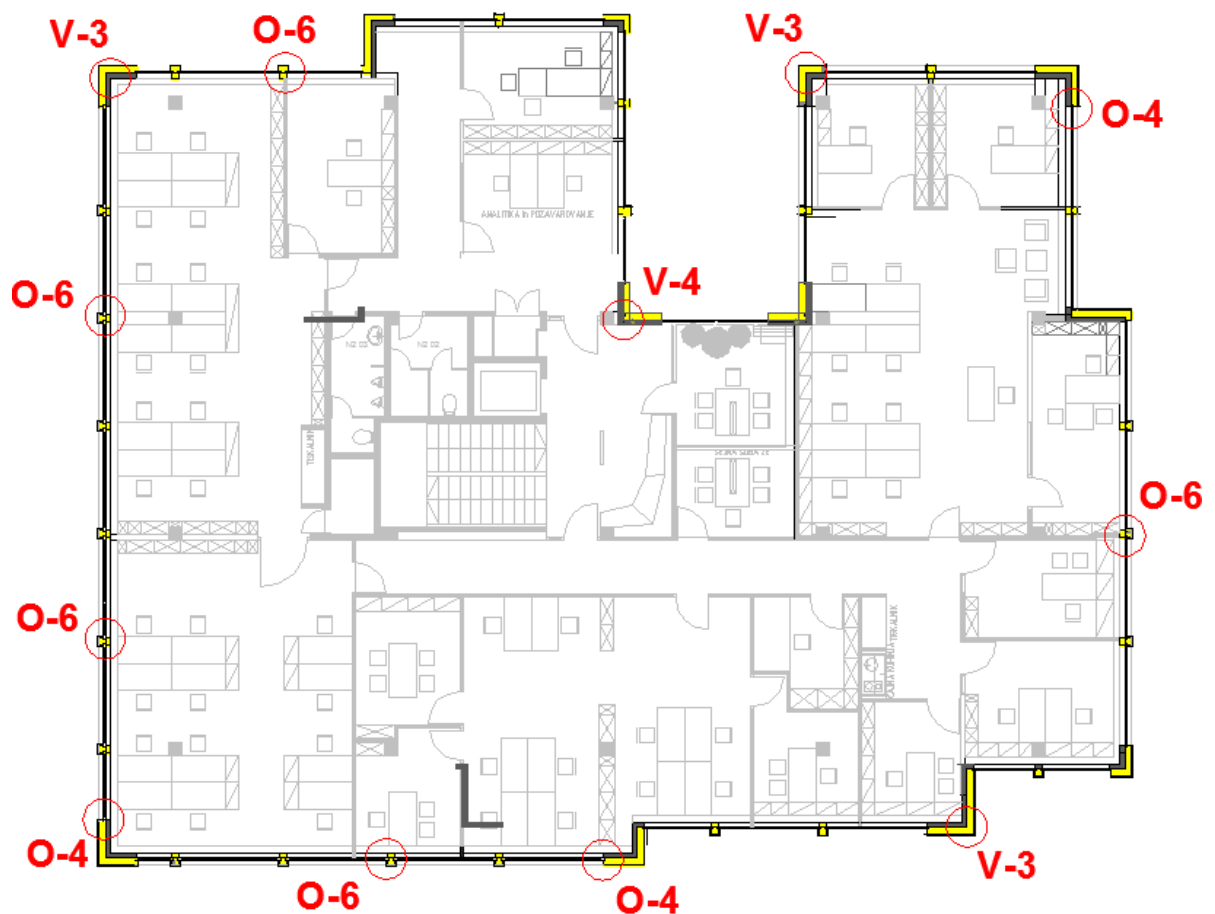
- A – atika
- S – streha
- V – vogal
- N – napušč
- O – odprtina
- T – tla
- P – predelni



Slika 23: Evidentirani (rdeče) topotni mostovi obravnavane stavbe



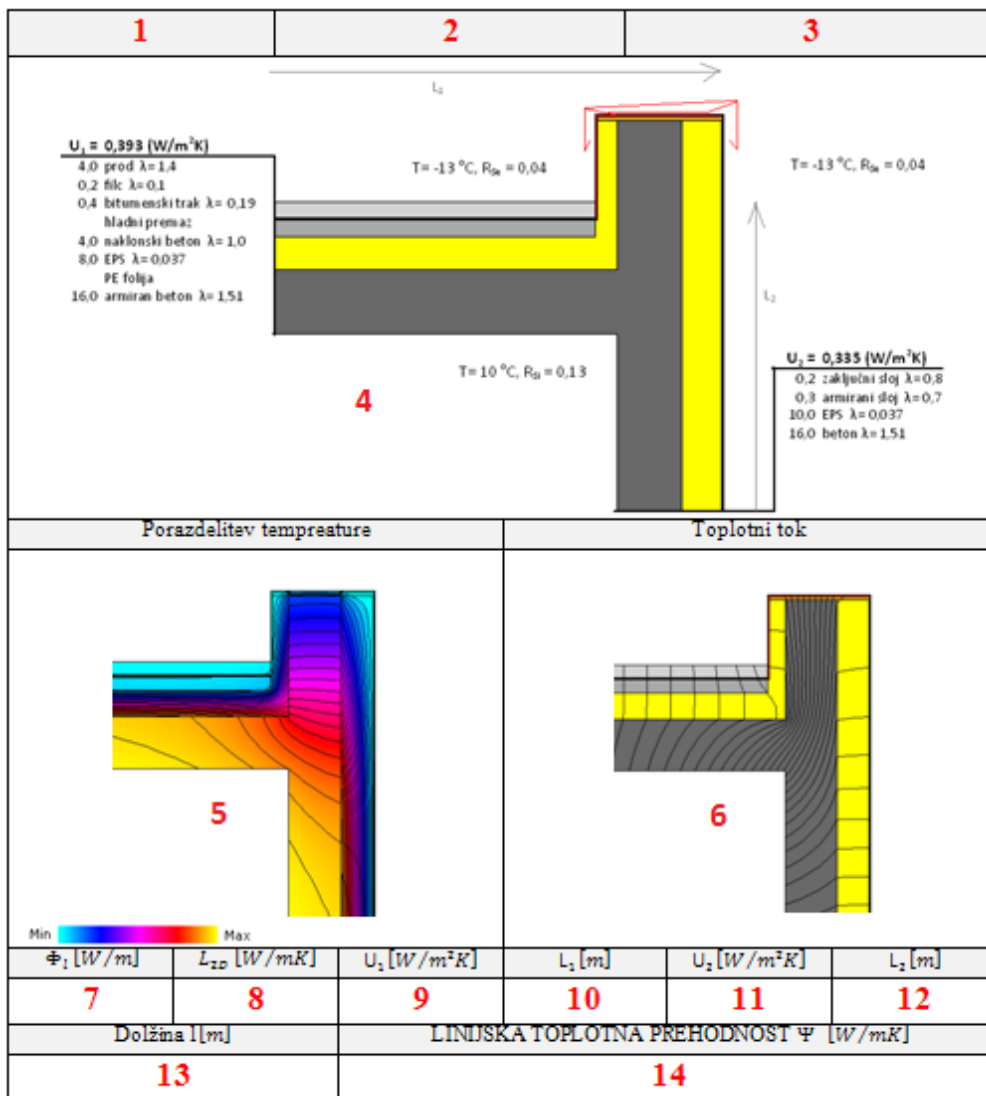
Slika 24: Tipičen presez stavbe z označenimi topotnimi mostovi



Slika 25: Tipičen tloris stavbe z označenimi topotnimi mostovi

6.4 SIMULACIJE TOPLOTNIH MOSTOV

Izhodni podatki simulacije posameznega topotnega mostu so prikazani v obrazcu, ki je predstavljen na sliki 26.



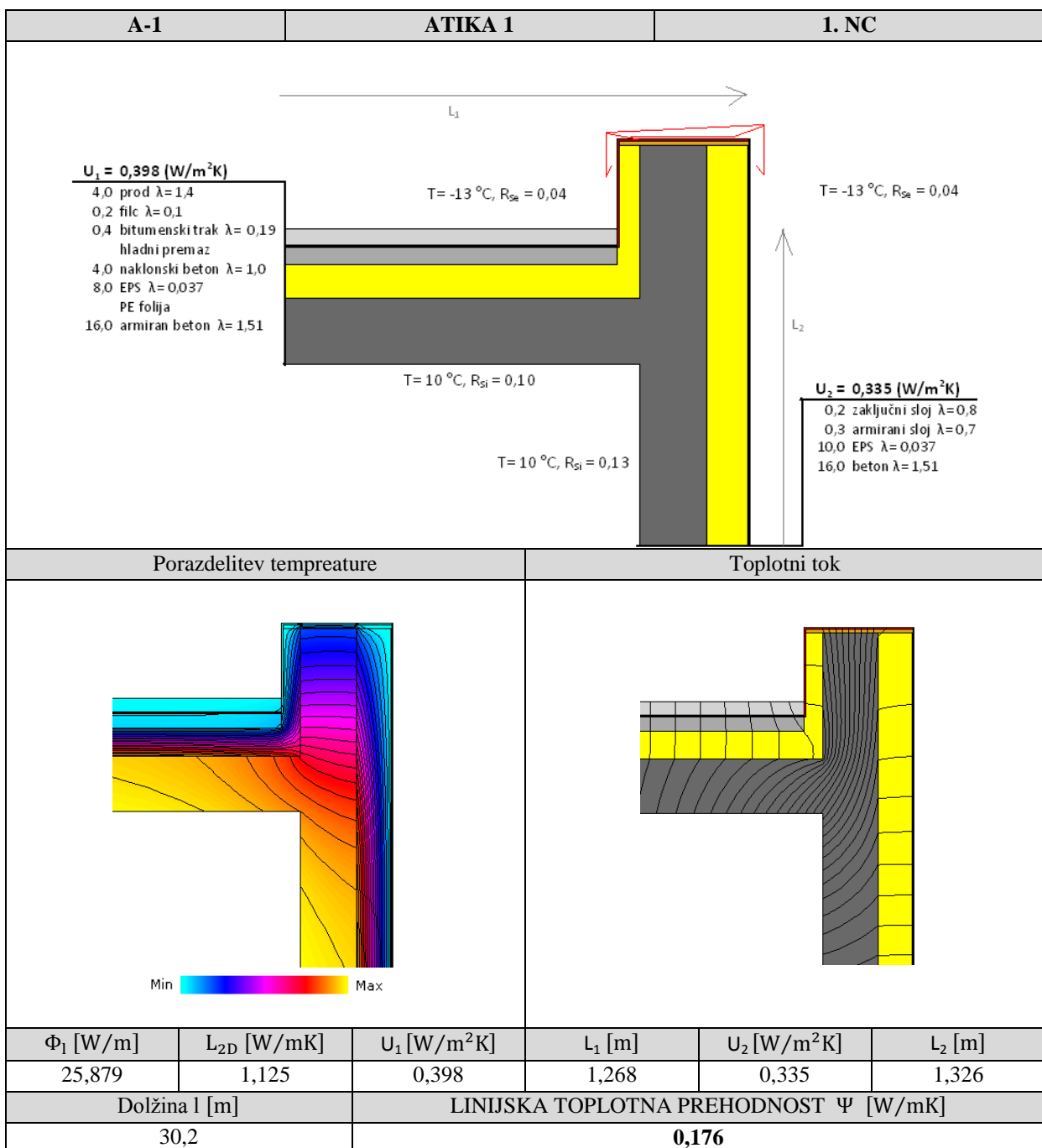
LEGENDA:

- | | |
|---|--------------------------------------|
| 1 oznaka topotnega mostu | 8 koeficient topotne sklopite |
| 2 polno ime topotnega mostu | 9 topotna prehodnost elementa 1 |
| 3 cona, v kateri topotni most poteka | 10 vplivna dolžina elementa 1 |
| 4 skica modela z označenimi robnimi pogoji, topotno prehodnostjo 1D-elementov, njihovo sestavo in vplivnimi dolžinami | 11 topotna prehodnost elementa 2 |
| 5 grafični prikaz porazdelitev temperature | 12 vplivna dolžina elementa 2 |
| 6 grafični prikaz topotnega toka | 13 dolžina topotnega mostu |
| 7 topotni tok | 14 linijska topotna prehodnost mostu |

Slika 26: Obrazec simuliranih topotnih mostov

6.4.1 Topotni most A-1

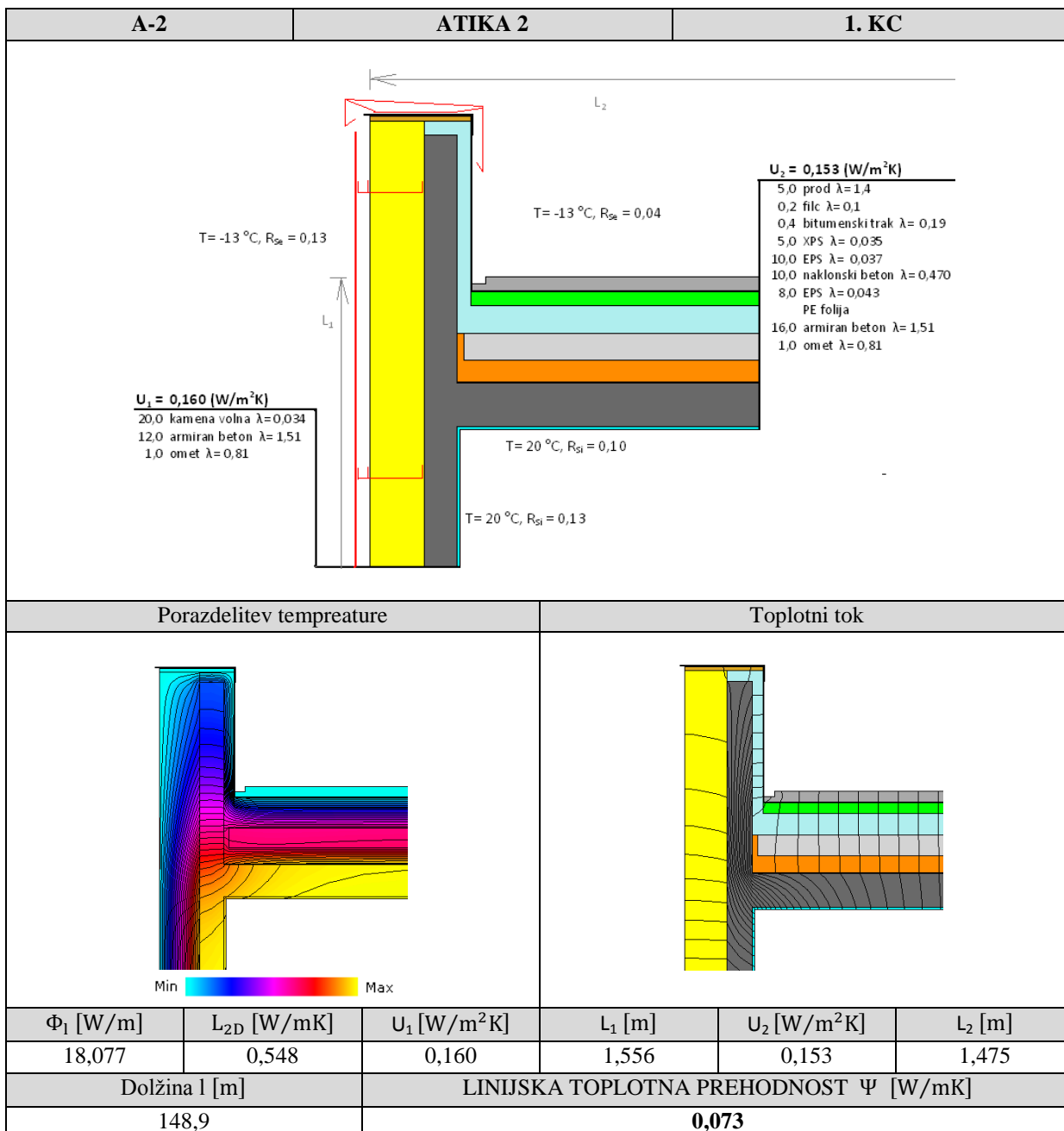
Preglednica 18: Topotni most A-1



Po zunanjem obodu neogrevane cone ostrešja poteka križanje strešne plošče in zunanje stene v območju atike (Preglednica 18). Vrh atike je zaščiten s pločevino, ki sem jo v simulaciji zanemaril. To je v skladu s standardom EN 10211, ki dovoljuje ignoriranje tankih kovinskih slojev, če imajo zanemarljiv vpliv na prenos topote. Vrh atike ni topotno izoliran, le prekrit z OSB ploščo in hidroizolacijo (v nadaljevanju HI), kar je razlog za povečan topotni tok. Negativen vpliv ima tudi pretanka debelina topotne izolacije (v nadaljevanju TI) na notranji strani parapeta atike.

6.4.2 Toplotni most A-2

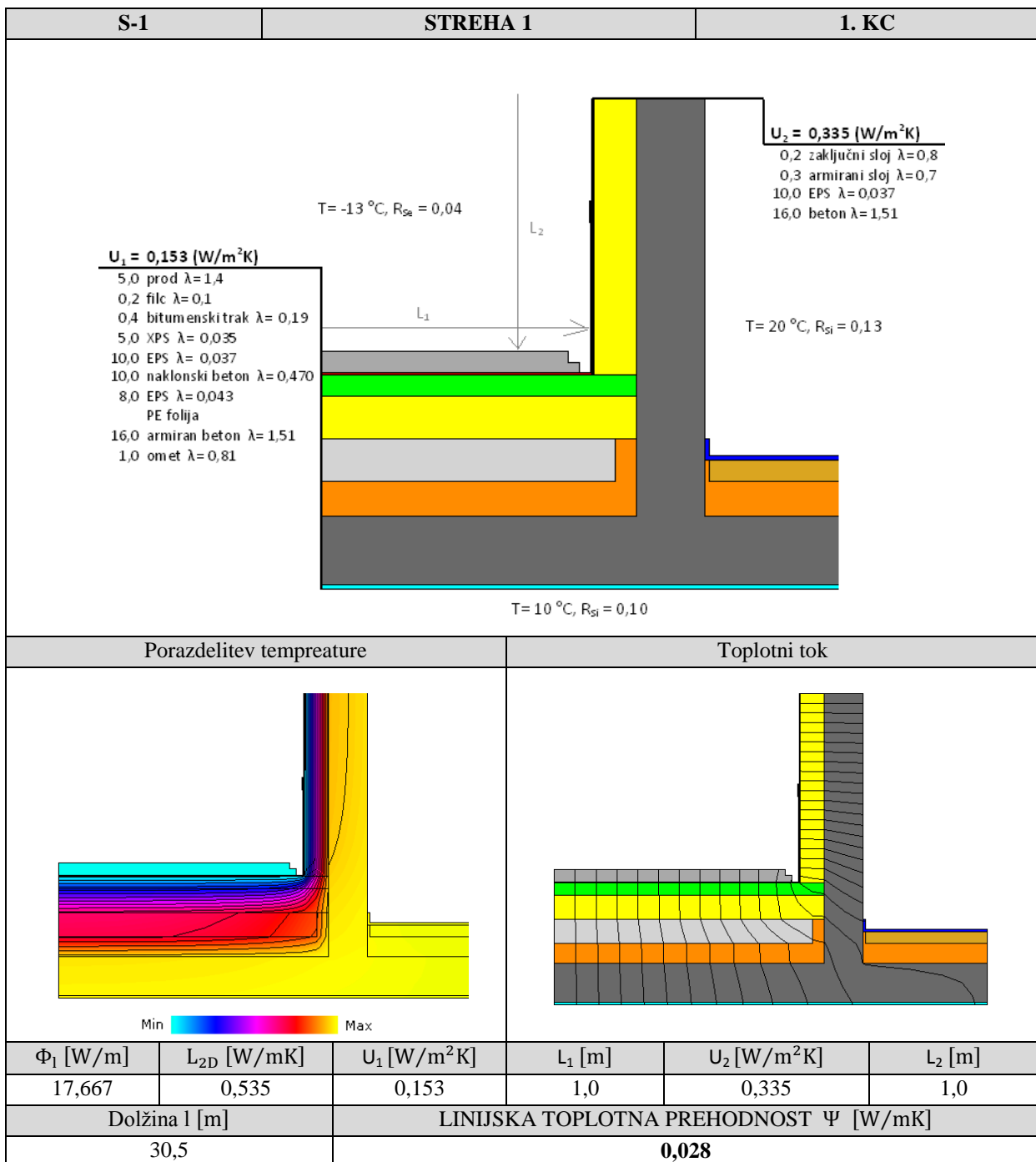
Preglednica 19: Toplotni most A-2



Toplotni most v območju atike poteka tudi v 1. kondicionirani coni. Na AB-zid zunanje stene je točkovno pričvrščena podkonstrukcija prezračevane fasade, ki sem jo v simulaciji ignoriral, kot tudi zunanjo oblogo (Preglednica 19). Ignorirani elementi so prikazani rdeče. Točkovni elementi spadajo v kategorijo točkovnih toplotnih mostov, ki jih v skladu z zakonom dajo zanemarimo, zunanjega obloga pa nima toplotnega vpliva na notranje elemente stene. V prezračevanem zračnem sloju fasade je upor mejne zračne plasti $0,13 \text{ m}^2\text{K/W}$. Pretanka debelina TI na notranji strani atike je razlog za povečan toplotni tok skozi AB-parapet, zato je najnižja površinska temperatura $17,1^\circ\text{C}$ v kotu stropa.

6.4.3 Topotni most S-1

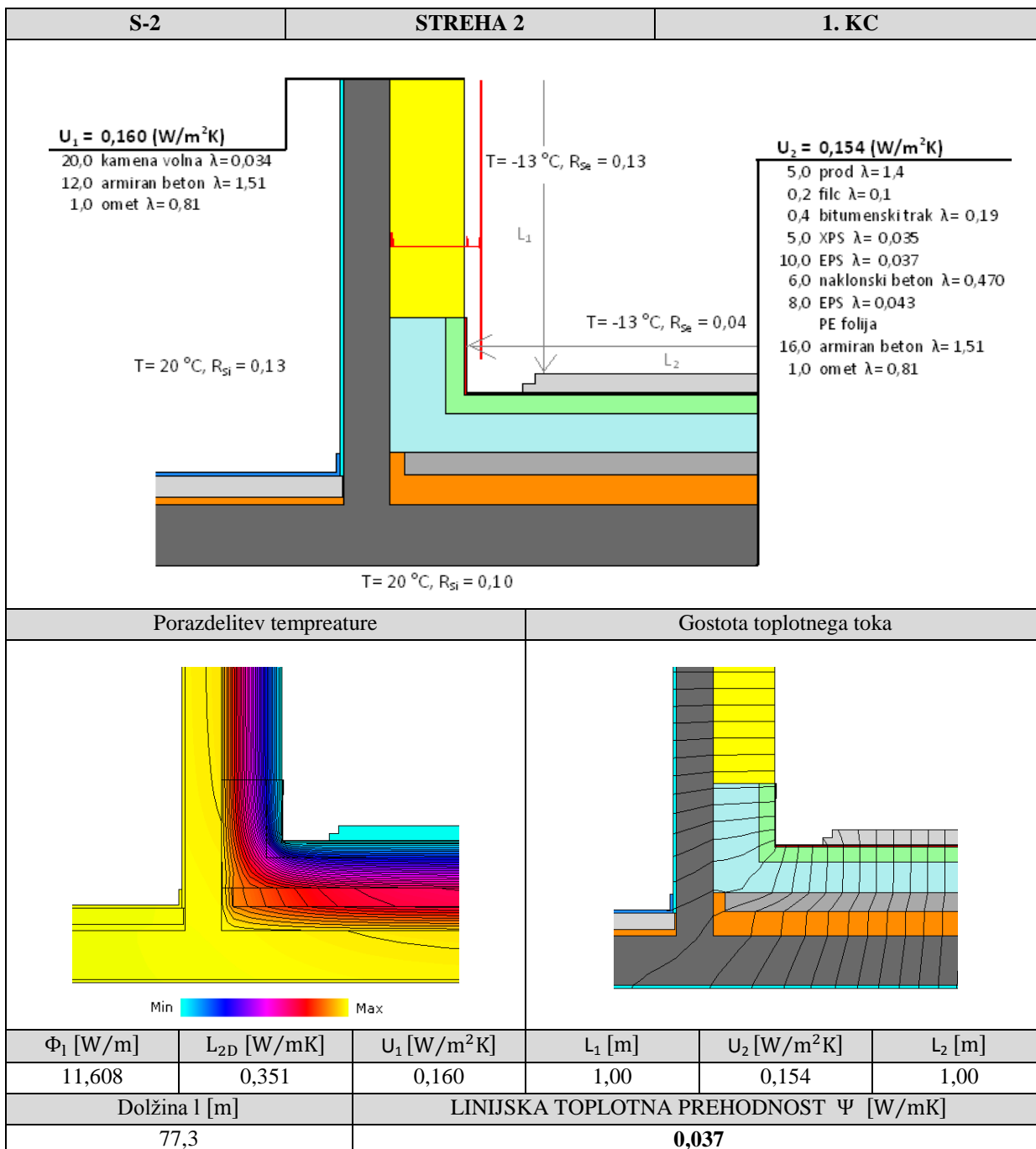
Preglednica 20: Topotni most S-1



Na križanju strene konstrukcije in stene ostrešne cone poteka kombinacija geometrijskega in konstrukcijskega topotnega mostu (Preglednica 20). Prostor zgoraj desno spada v neogrevano cono, spodnji pa v 1. kondicionirano cono, vendar nam postopek izračuna linijske topotne prehodnosti ne omogoča uporabe treh različnih robnih pogojev (temperatur). Topotne mostove predelnih križanj med kondicionirano in neogrevano cono bomo obravnavali ločeno.

6.4.4 Toplotni most S-2

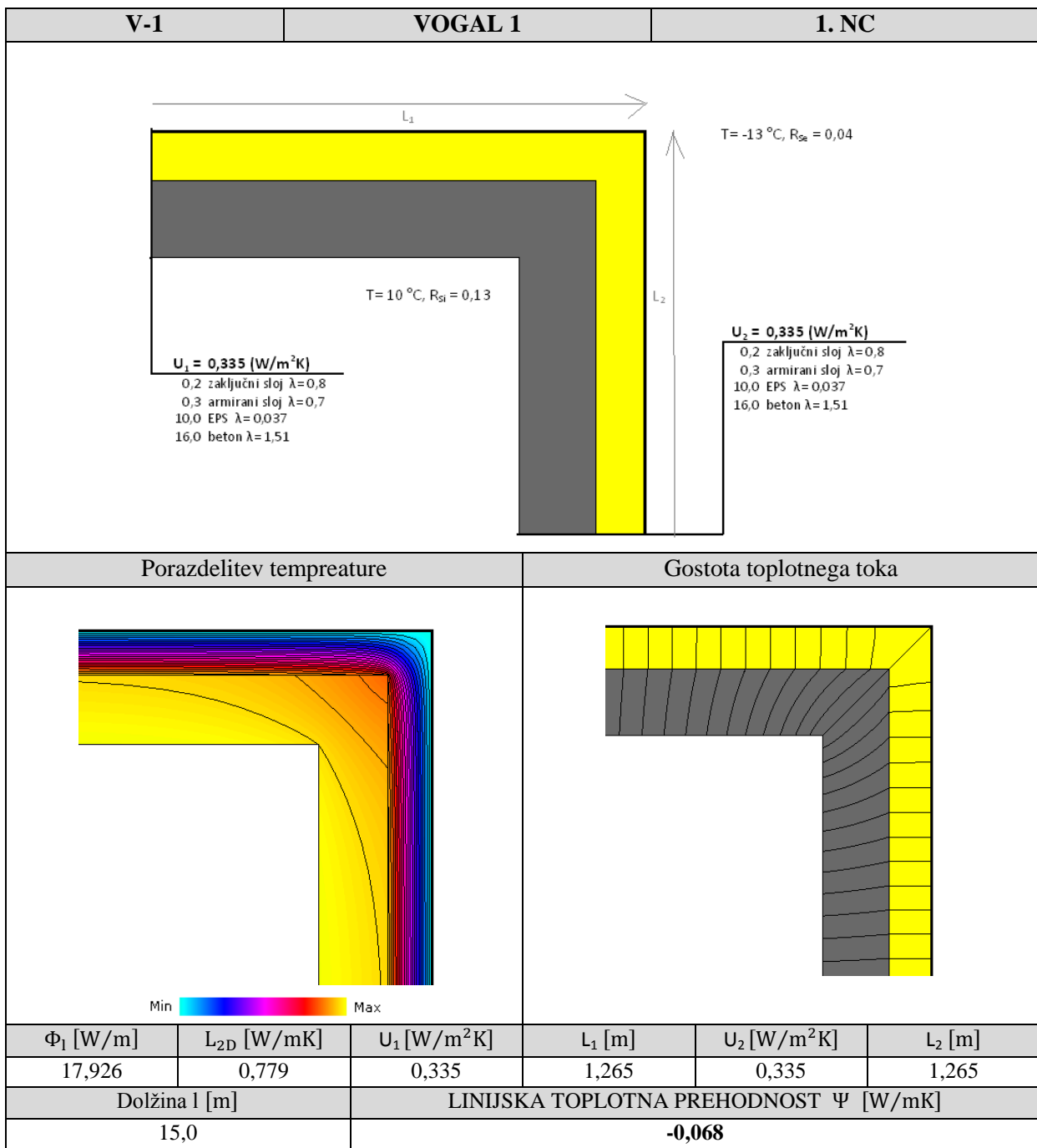
Preglednica 21: Toplotni most S-2



V posameznih etažah obravnavanega objekta potekajo terase, pri katerih se pojavlja kombinirani toplotni most na križanju strešne plošče in zunanje stene (Preglednica 21). TI in HI strehe poteka tudi vertikalno ob parapetu stene, s čimer je zagotovljen kvaliteten stik z elementi prezračevane fasade. Elemente prezračevane fasade smo v simulaciji zanemarili (rdeče), kot v primeru A-2. Upor mejne zračne plasti v prezračevanem zračnem sloju je $0,13 \text{ m}^2\text{K/W}$. V skladu s standardom EN 10211 zanemarimo tudi nekovinske sloje z debelino, manjšo od 1 mm (parne ovire).

6.4.5 Topotni most V-1

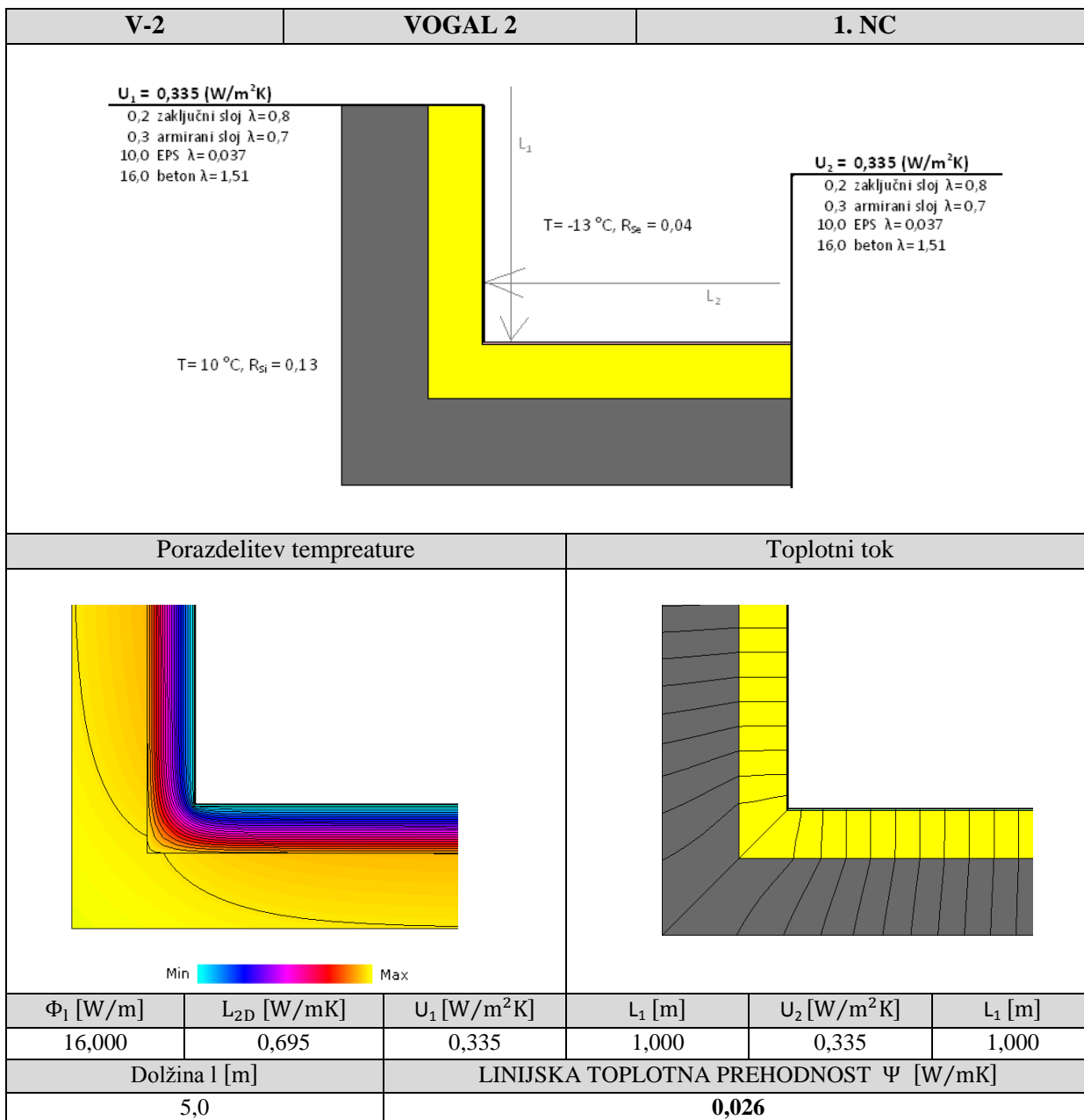
Preglednica 22: Topotni most V-1



Zunanji vogal stene je tipičen primer geometrijskega topotnega mostu, ki nastopi na delu ovoja stavbe, pri katerem je zunanjega površina, preko katere topota prehaja iz ogrevanega prostora v zunanjje okolje, precej večja od notranje (Preglednica 22). Vpliv se manjša s povečanjem debeline TI na zunanji strani ovoja stavbe. Pri izračunu topotnih transmisijskih izgub celotnega objekta smo uporabili zunanji dimenzijski sistem, kar vpliva na negativno vrednost linijske topotne prehodnosti vogalnega topotnega mostu (obrazložitve v poglavju 6.2.1).

6.4.6 Toplotni most V-2

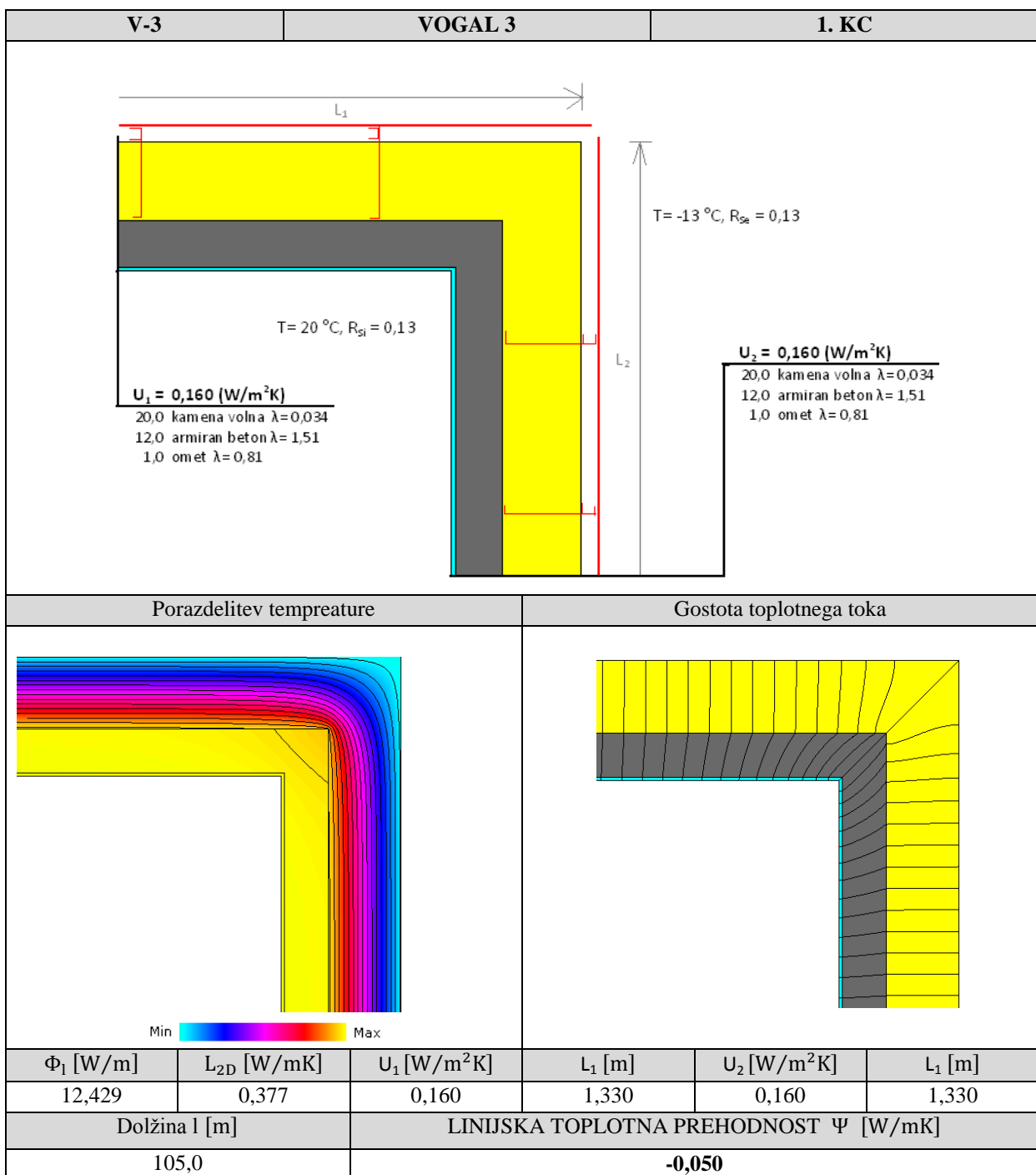
Preglednica 23: Toplotni most V-2



Notranji vogal zunanjega stene neogrevane cone ostrešja spada med geometrijske topotne mostove. Geometrijski vpliv 180° notranjega stika ima pozitivni vpliv na porazdelitev temperature v notranjem vogalu nosilne stene. Geometrija pa vpliva tudi na minimalno povečanje topotnega toka v zunanjem vogalu, kar je razvidno v preglednici 23.

6.4.7 Toplotni most V-3

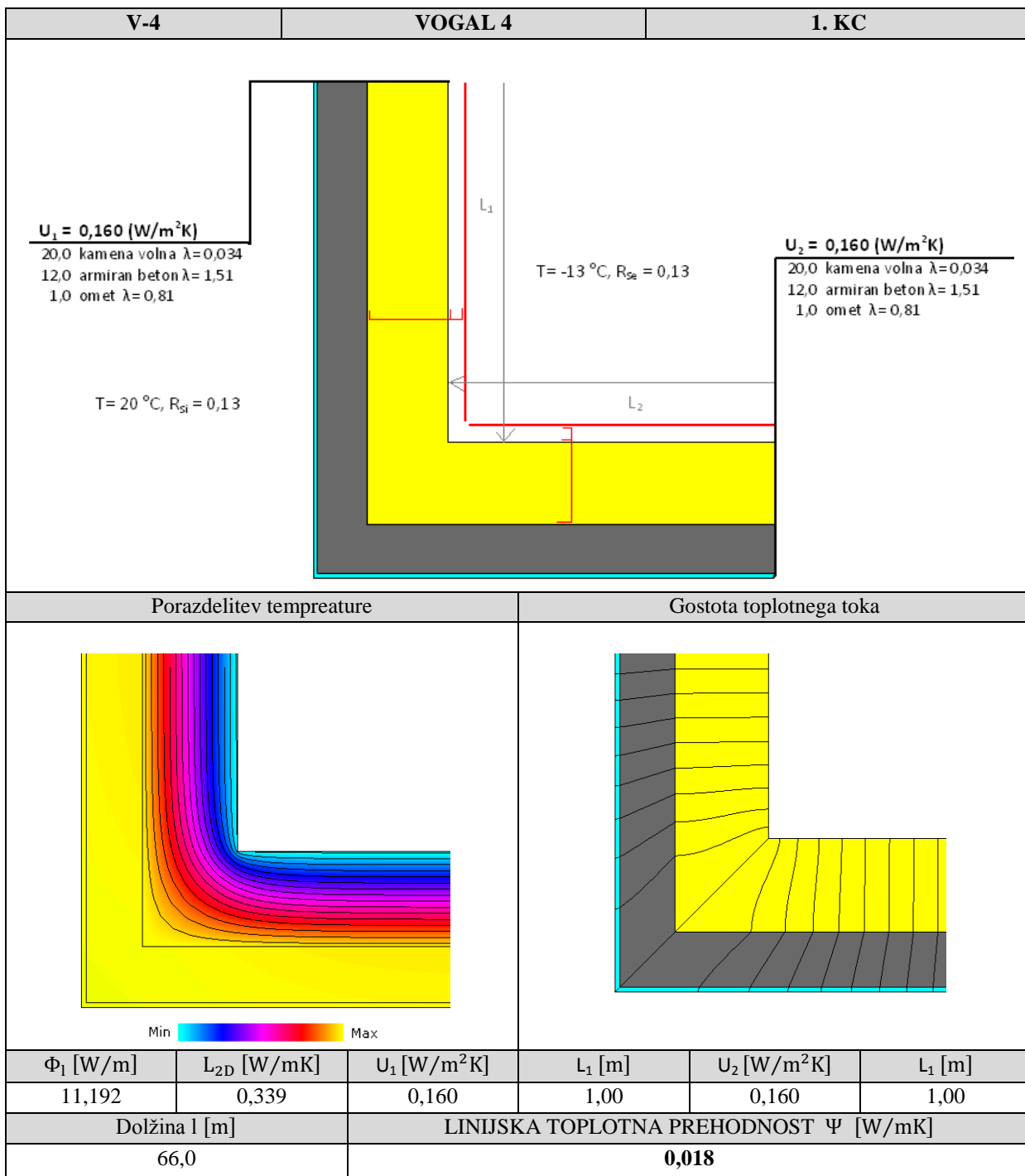
Preglednica 24: Toplotni most V-3



Vzdolž vogalov zunanjih sten 1. kondicionirane cone poteka geometrijski topotni most (Preglednica 24). Kovinske elemente podkonstrukcij prezračevane fasade, ki je točkovno pritrjena na AB-zid, smo ignorirali. Vrednost zunanjega upora mejne zračne plasti je zaradi vpliva zračnega sloja fasade $0,13 \text{ m}^2\text{K/W}$. Opazen je povečan topotni tok in znižana notranja površinska temperatura v vogalu, ki znaša 18.6°C .

6.4.8 Toplotni most V-4

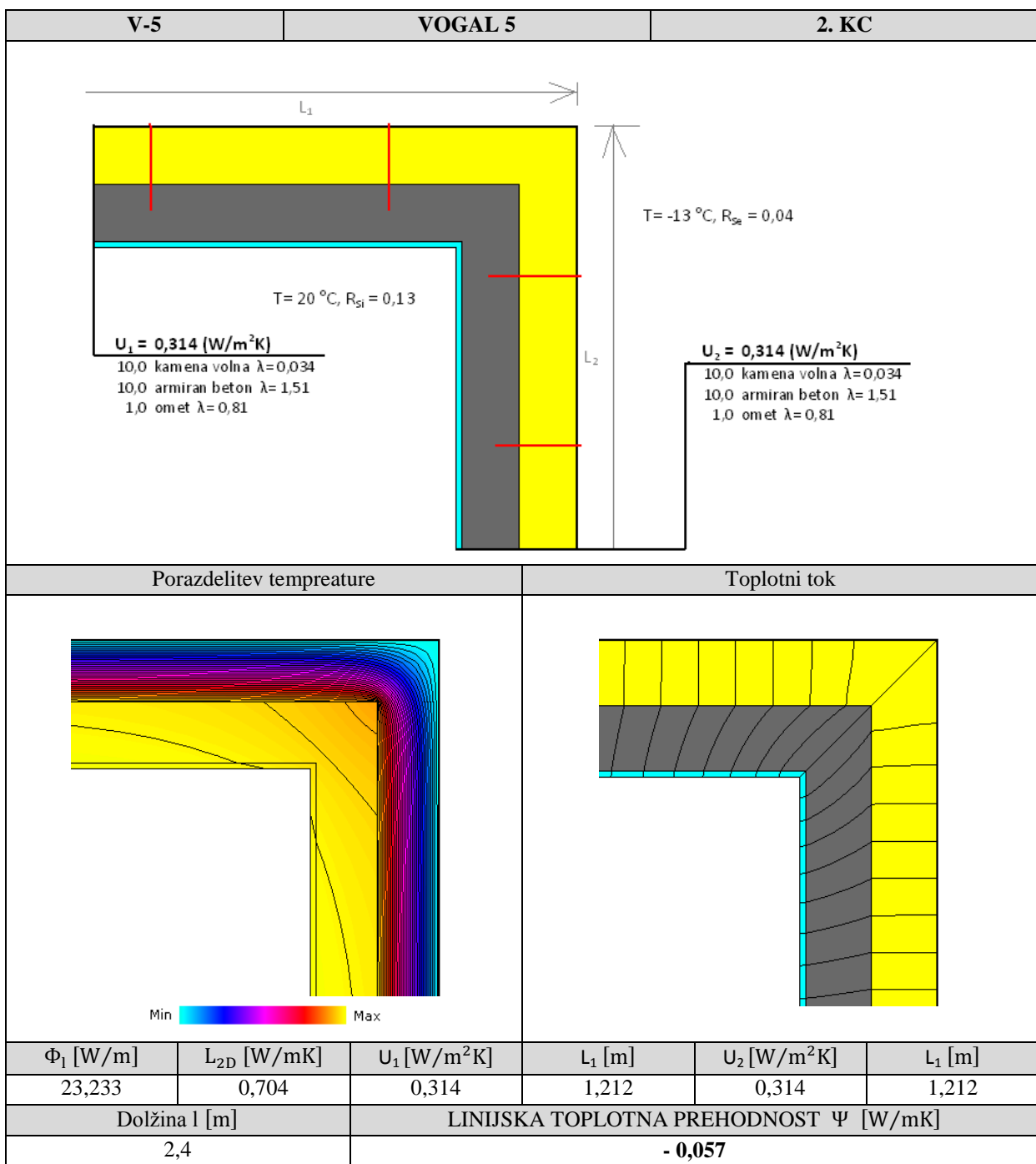
Preglednica 25: Toplotni most V-4



Obravnavamo isti konstrukcijski sklop kot v primeru V-3, le da gre tu za notranji vogal stavbe (Preglednica 25). V primerjavi z geometrijsko podobnim topotnim mostom V-2 je razvidno, da s še enkrat debelejšo topotno izolacijo vplivamo na opazno zmanjšanje vrednosti linijske topotne prehodnosti.

6.4.9 Topotni most V-5

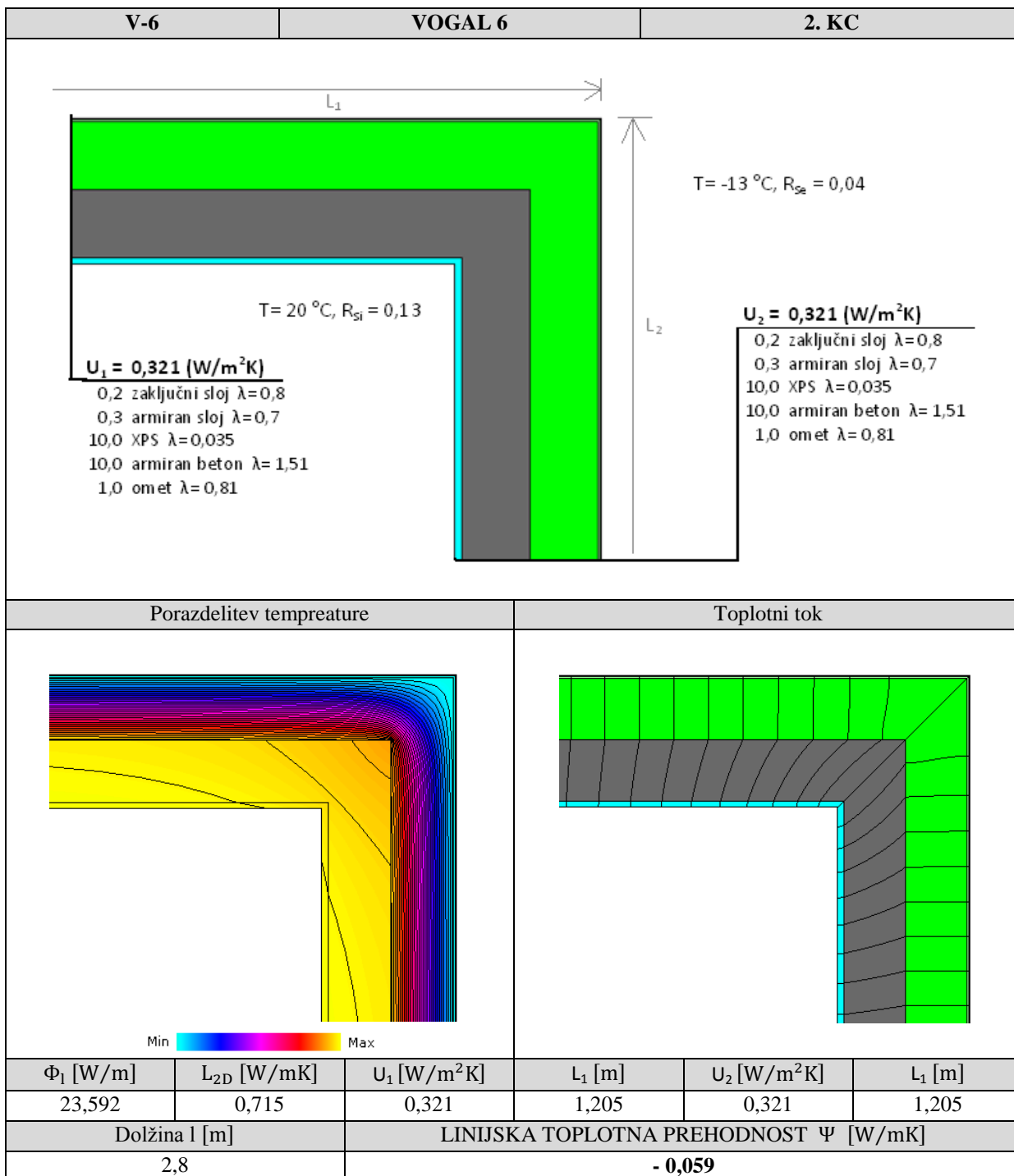
Preglednica 26: Topotni most V-5



Na nosilno AB-steno je pričvrščen fasadni »sendvič« panel, ki je sestavljen iz profilirane jeklene pločevine (debeline 0,5 mm) in izolacije iz kamene volne (Preglednica 26). Točkovne topotne mostove nosilnih elementov panela ne obravnavamo, tanki kovinski sloj pa ignoriramo, saj ima zanemarljiv vpliv na prenos toplotne.

6.4.10 Topotni most V-6

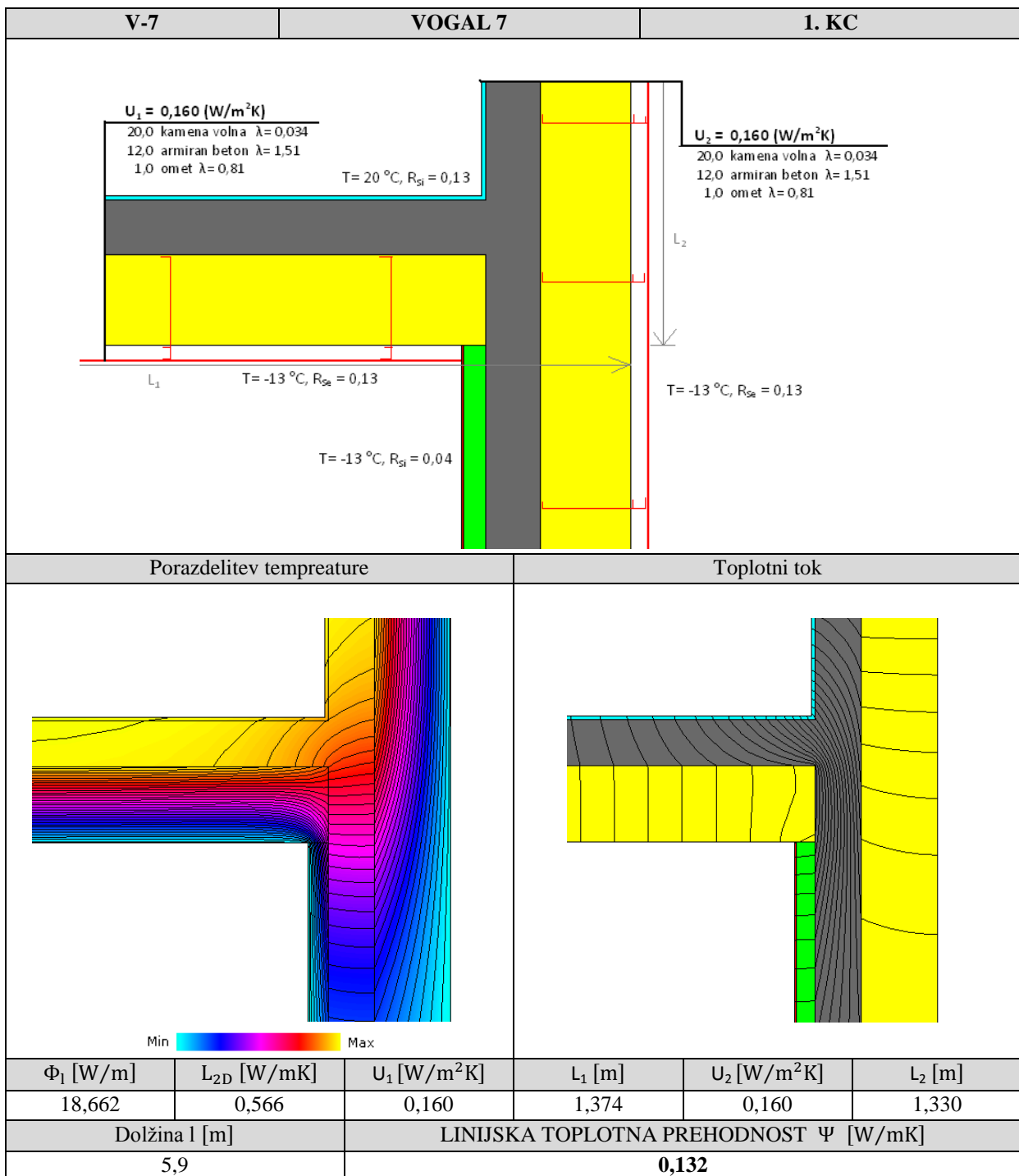
Preglednica 27: Topotni most V-6



V vogalih parapeta pritlične cone poteka geometrijski topotni most (Preglednica 27). Topotna izolacija se nadaljuje pod nivo terena, zato je uporabljen ekstrudiran polistiren, ki ga lahko vgradimo v vlažnem okolju terena. V primerjavi z geometrijsko podobnim primerom V-5 ima ekstrudiran polistiren za 0,001 W/mK višjo topotno prevodnost kot kamera volna. Posledično je vrednost Ψ obravnavanega topotnega mostu V-6 prav tako višja, točneje za 0,002 W/mK.

6.4.11 Topotni most V-7

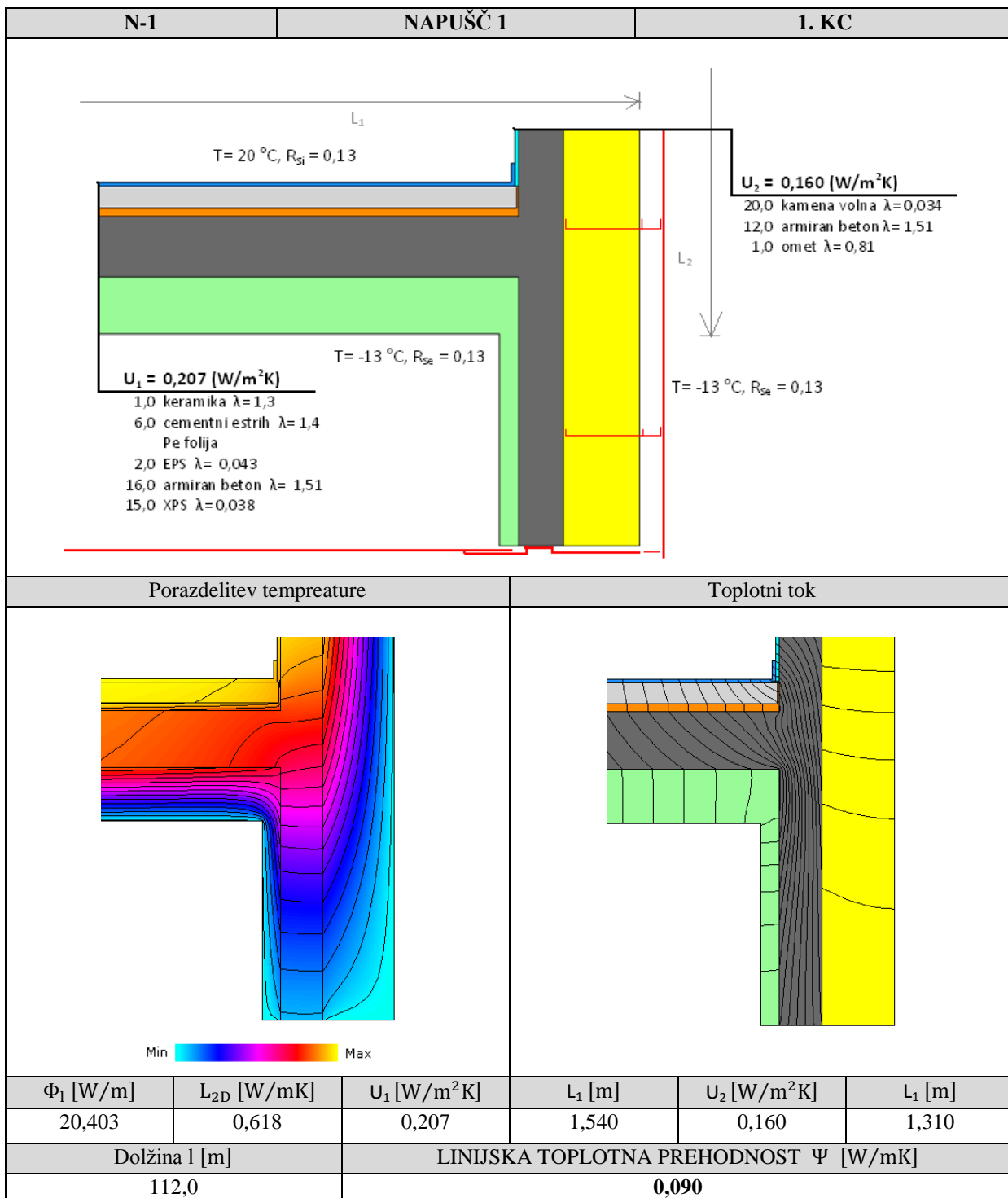
Preglednica 28: Topotni most V-7



Krajši topotni mostovi potekajo na križanju zunanjega stene in parapeta atike (Preglednica 28). Topotni tok je povečan skozi AB-konstrukcijo, kjer topotna izolacija ni sklenjena. Linijska topotna prehodnost bi bila manjša v primeru debelejše XPS-plošče na notranji strani parapeta.

6.4.12 Topotni most N-1

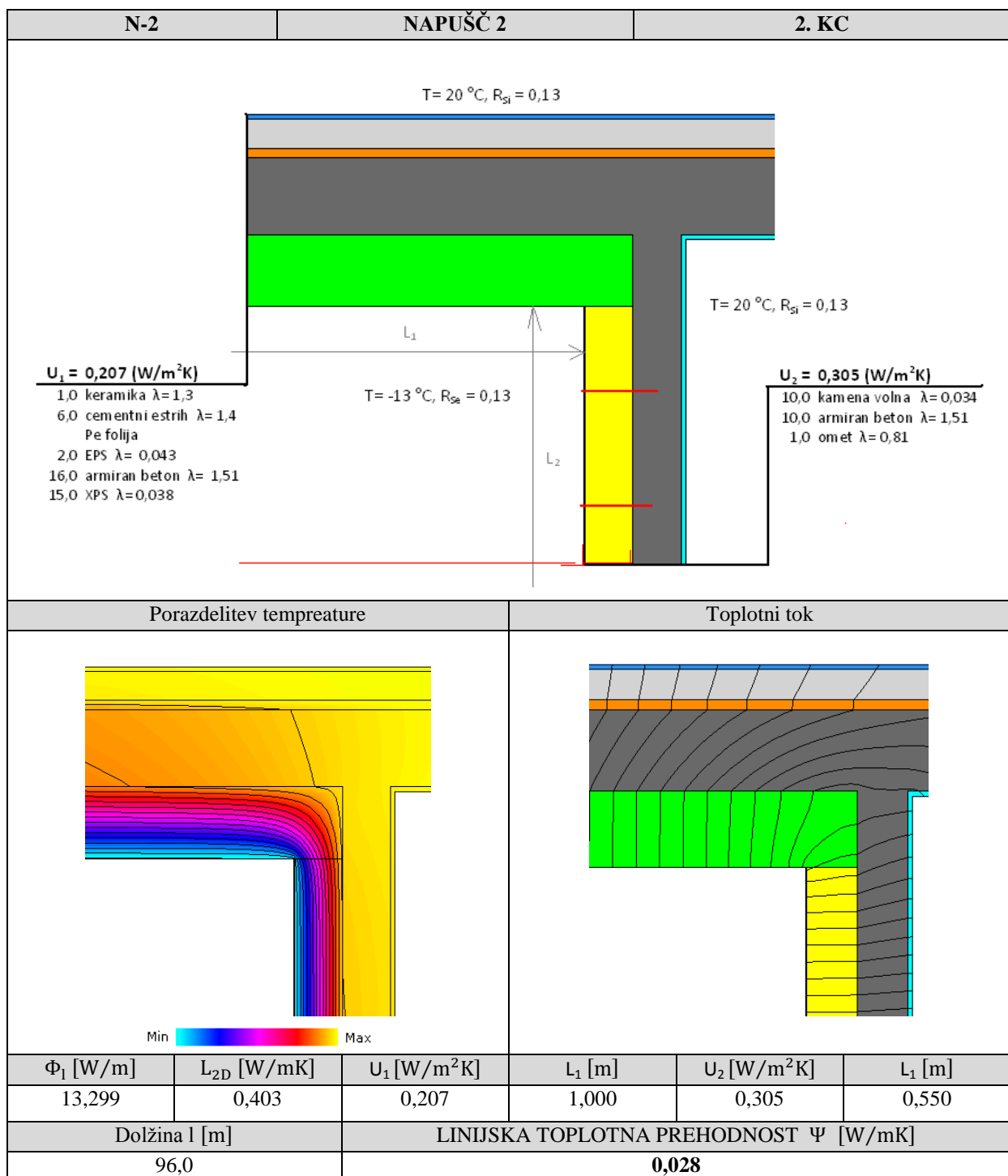
Preglednica 29: Topotni most N-1



Linijski topotni most N-1 poteka po obodu napušča v pritličju stavbe. Težava je v nesklenjeni topotni izolaciji in pretanki debelini XPS-plošče na vertikalnem delu napušča (Preglednica 29). Opazen je povečan topotni tok skozi AB-steno z visoko topotno prevodnostjo. Podkonstrukcijo in oblogo prezračevane fasade smo zanemarili, kot tudi horizontalne pločevinaste elemente napušča.

6.4.13 Topotni most N-2

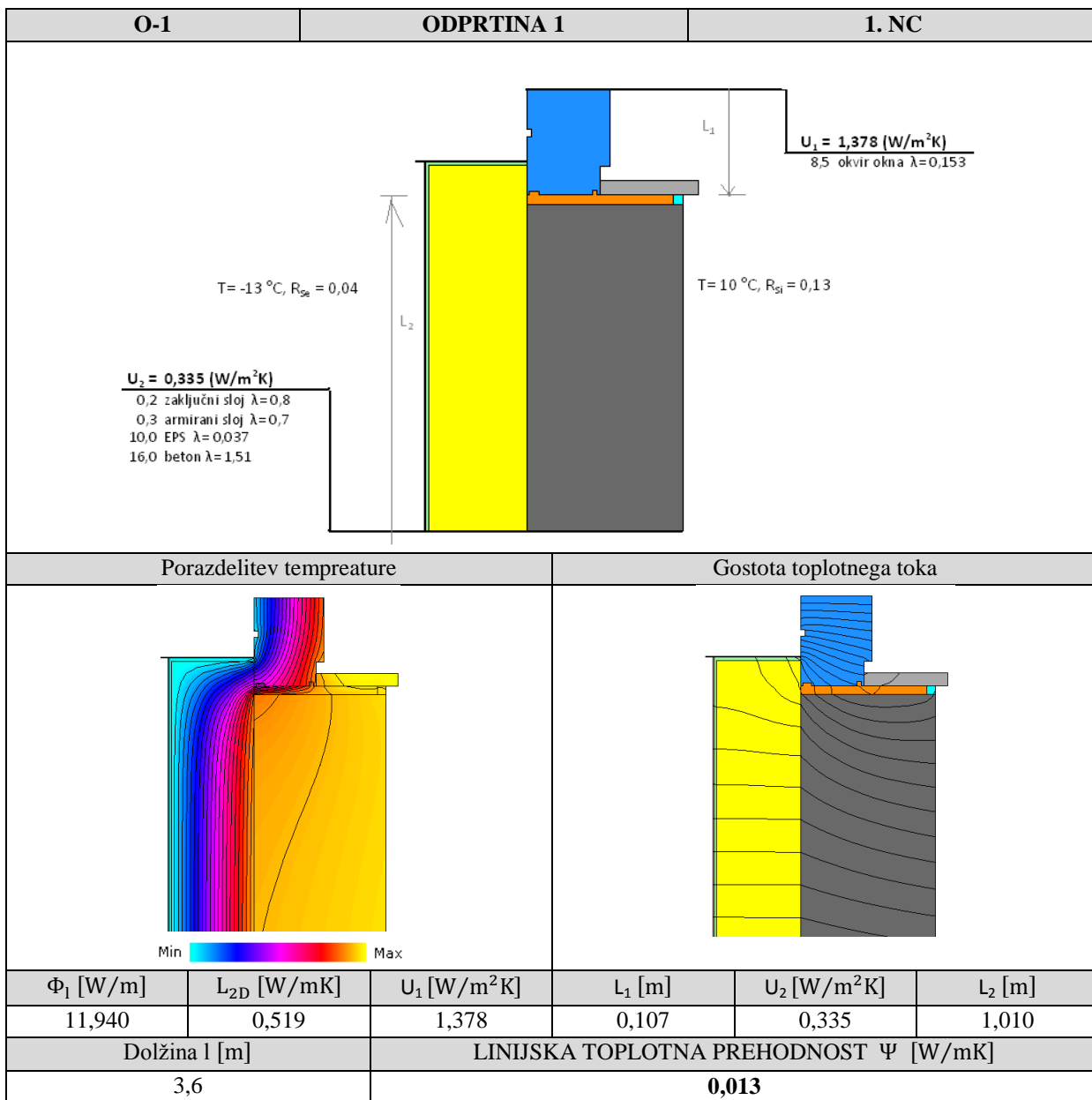
Preglednica 30: Topotni most N-2



Obravnavamo notranji vogal napušča, kjer poteka geometrijski topotni most N-2 (Preglednica 30). Kot v primeru V-5 smo ignorirali tanki pločevinasti sloj in nosilne elemente fasadnega panela.

6.4.14 Toplotni most O-1

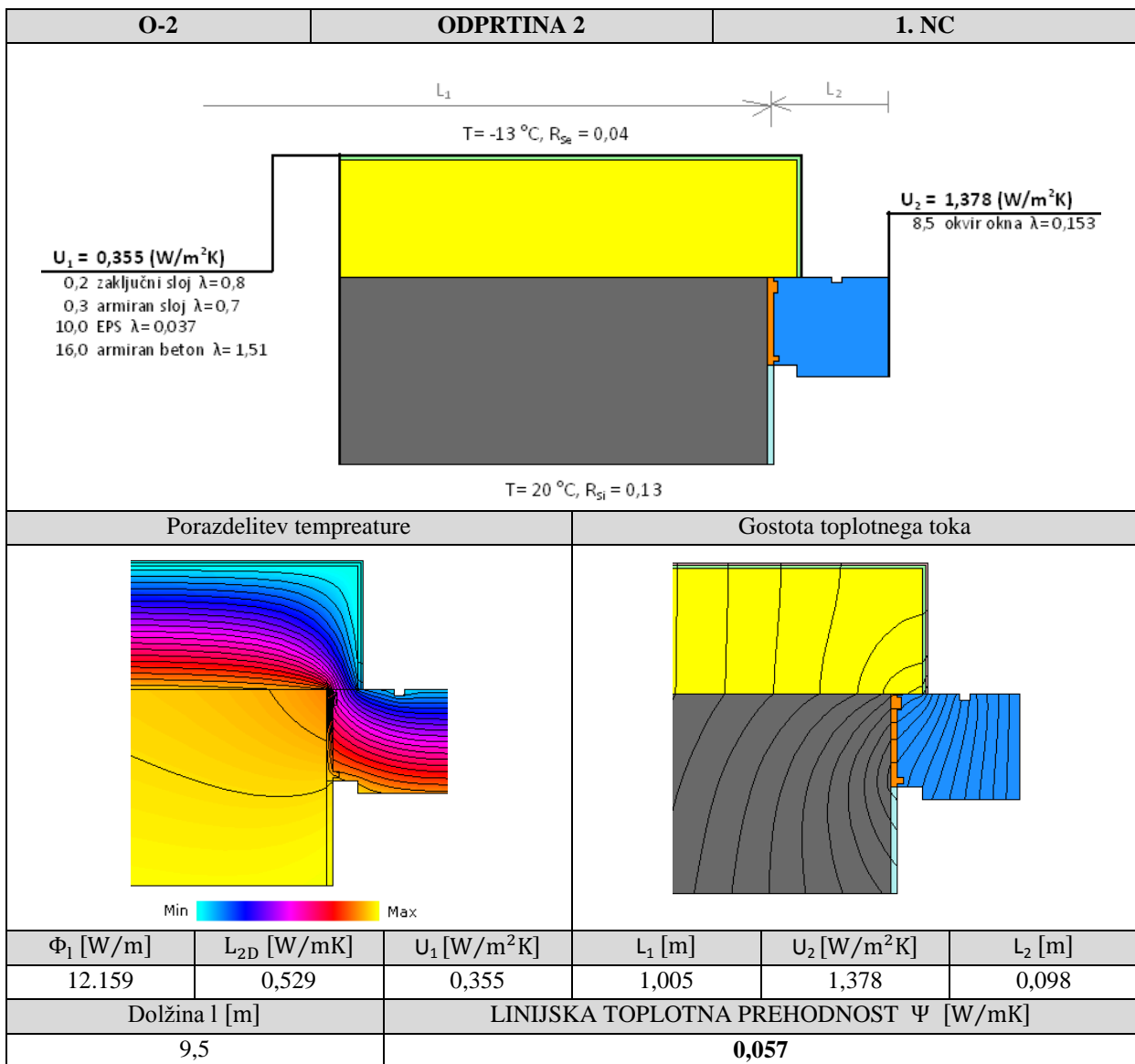
Preglednica 31: Toplotni most O-1



Po obodu vseh odprtin v zunanjem ovoju stavbe potekajo linijski topotni mostovi (Preglednica 31). Profil PVC-okvira oken je sestavljen iz posameznih komor, tako da porazdelitev temperature skozi profil ni linearна. V simulaciji pa smo jih poenostavljeno obravnavali kot homogene elemente, upoštevajoč le zunanjo geometrijo profila, saj program ne omogoča podrobnejše obravnave geometrije. Toplotno prevodnost smo izračunali iz podatka topotne prehodnosti okvira. Predpostavljamo, da ima porazdelitev temperature skozi okvir minimalen vpliv na ostale stikajoče elemente. Simulacija O-1 obravnava stik okvira na nosilni AB-steni z zunanjim pločevinasto in notranjim PVC-polico. Prostor med okvirjem in AB-zidom je zapolnjen s poliuretansko peno.

6.4.15 Topotni most O-2

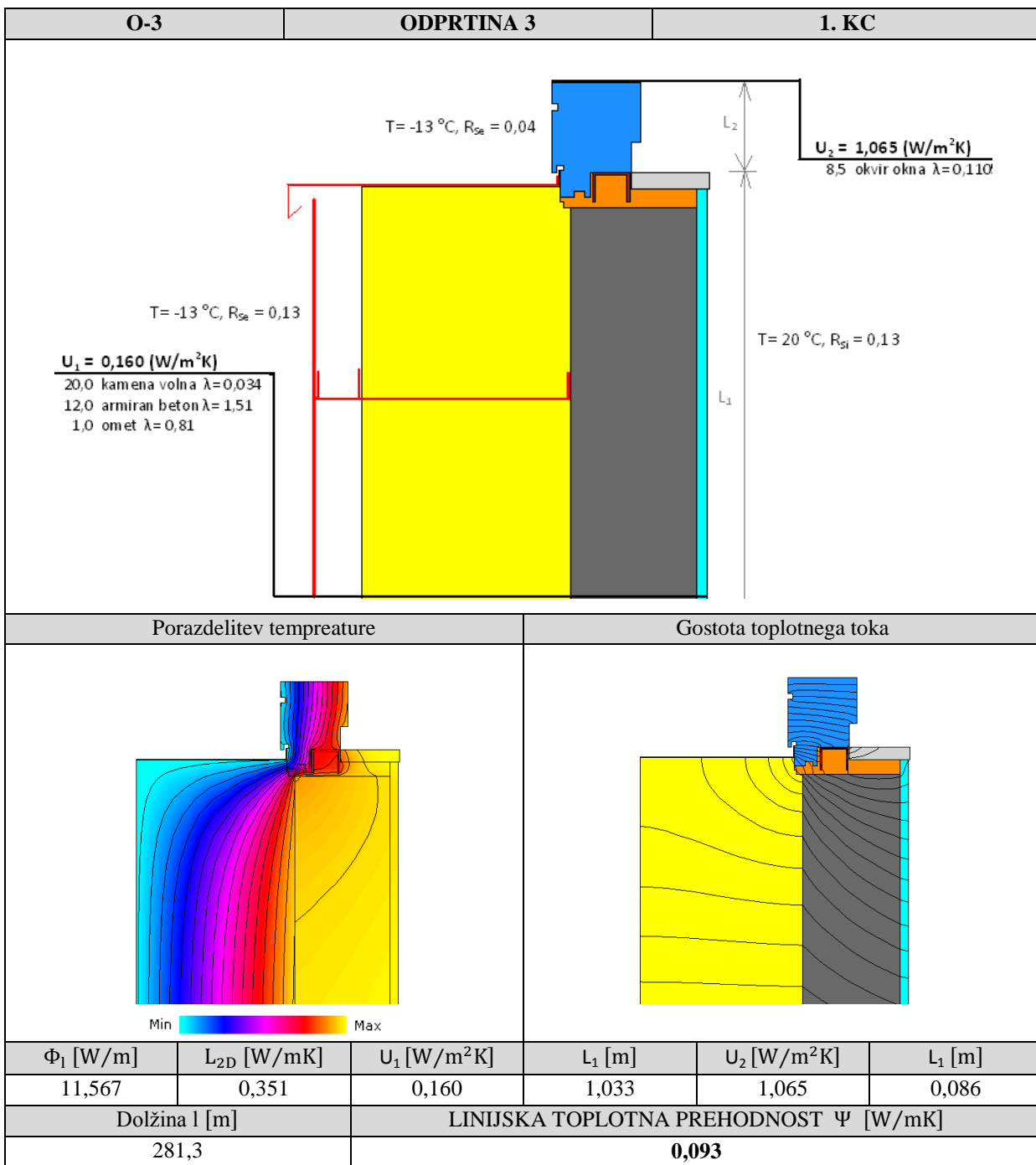
Preglednica 32: Topotni most O-2



Linijski topotni most poteka ob stranskih profilih okna iz simulacije O-1 (Preglednica 32). Dolžina zunanje topotne izolacije ob zunani strani profila je 1,1 cm krajsa kot v primeru O-1, manjša je tudi višina poliuretanske pene, ki je le pod profilom. Vrednost linijske topotne prehodnosti je v primerjavi s simulacijo O-1 zato kar trikrat višja.

6.4.16 Toplotni most O-3

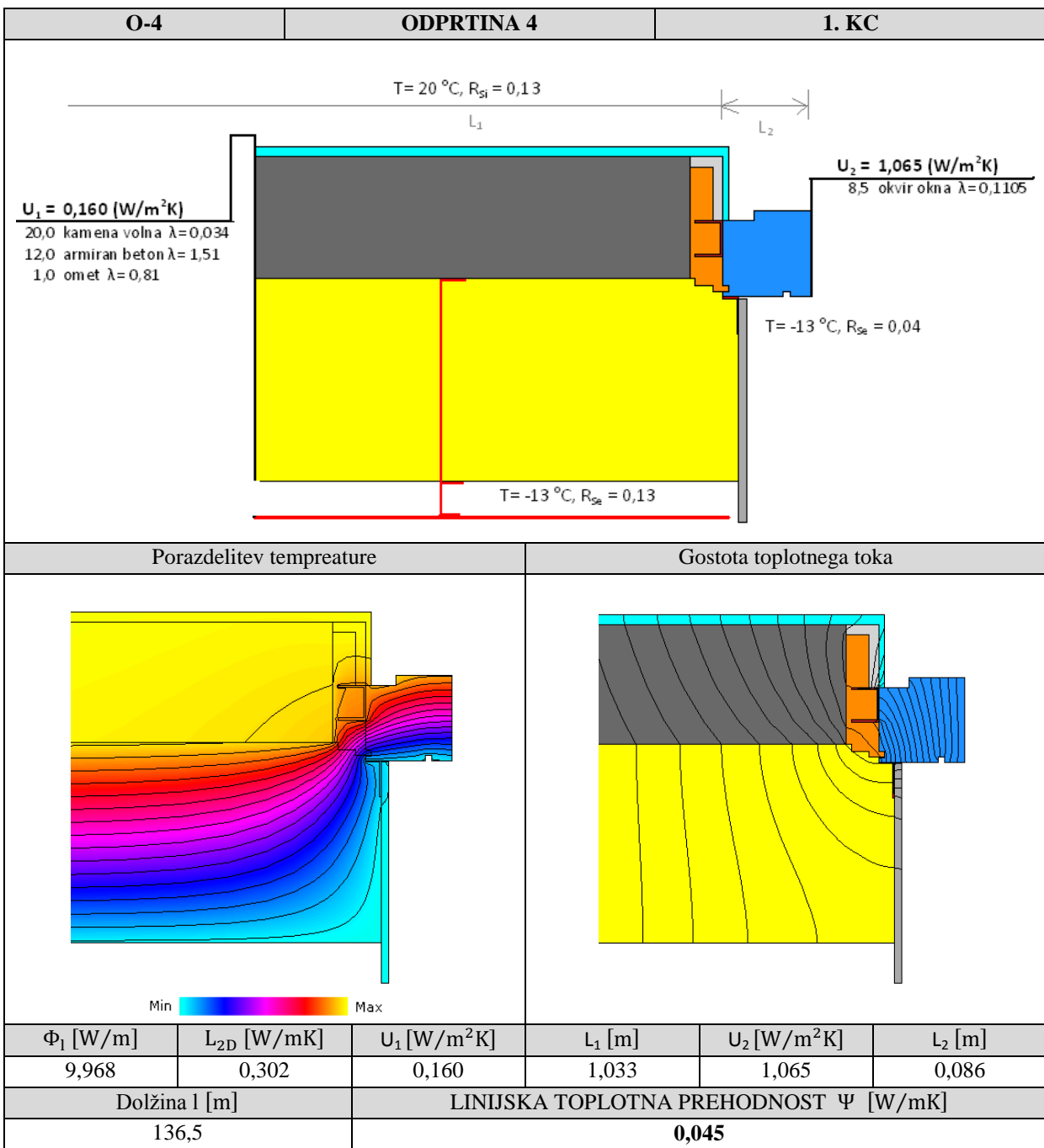
Preglednica 33: Toplotni most O-3



V primeru topotnega mostu O-3 je okvir okna pričvrščen na jekleni profil, vmesni prostor pa je zapoljen s poliuretansko peno (Preglednica 33). Na notranji strani je nameščena PVC-polica, zunanjо pločevinasto pa lahko v simulaciji zanemarimo. Šibek člen detajla je okolica jeklenega profila, kjer je zaznana najnižja površinska temperatura na notranji strani, in sicer 13,6 °C. Na visoko vrednost linijske topotne prehodnosti vpliva tudi dodaten PVC-profil, nameščen pod okvir okna.

6.4.17 Topotni most O-4

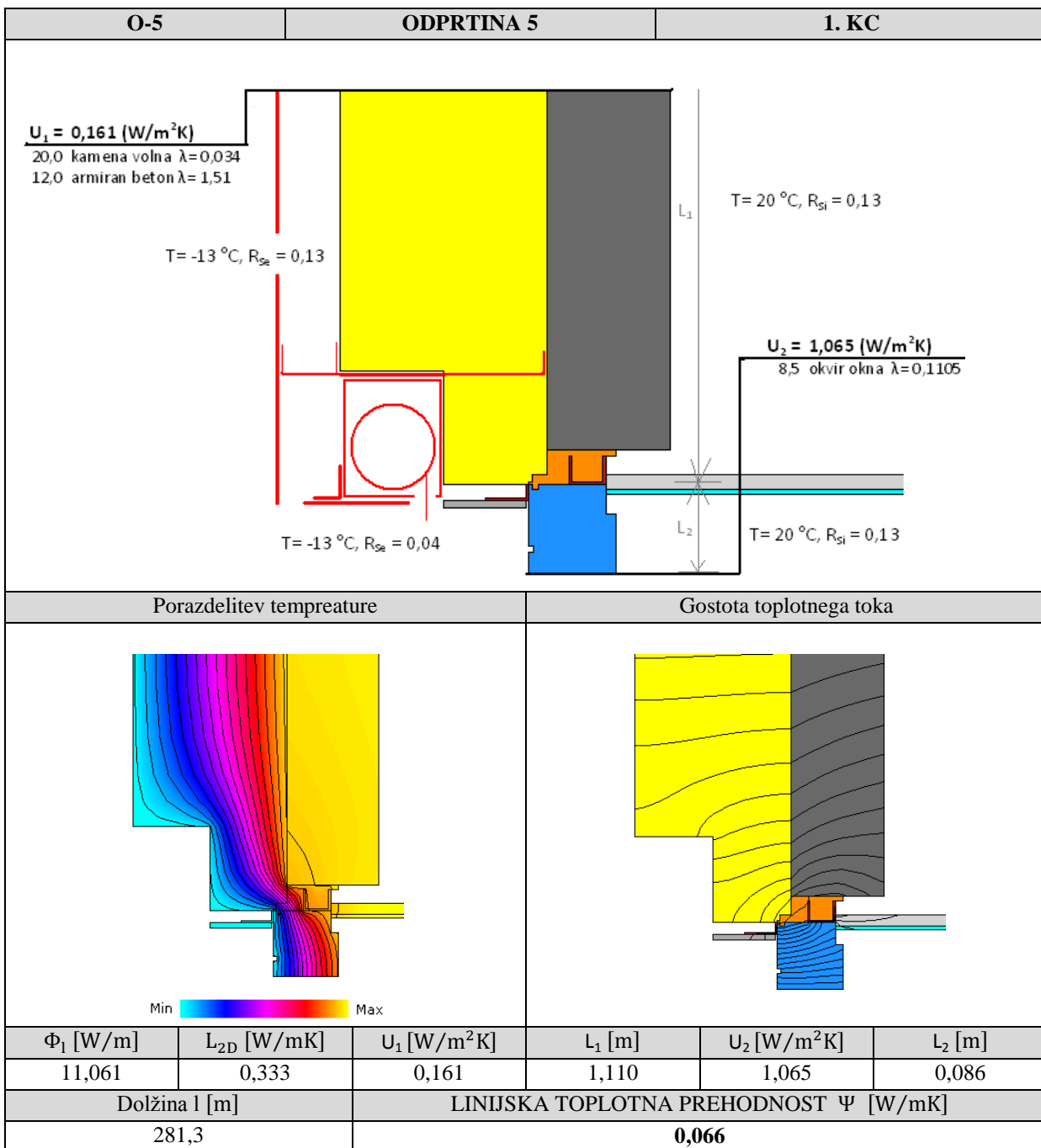
Preglednica 34: Topotni most O-4



Topotni most (Preglednica 34) poteka ob stranskem profilu okna iz primera O-3. Ob zunanjji špaleti je na aluminijasti L-profil nameščen PVC-element, notranja špaleta pa je zaprta z mavčno ploščo in ometom. V prejšnjem primeru O-3 je šibki člen predstavljal dodaten PVC-profil pod okvirjem, tu je vmesni prostor v celoti zapolnjen s poliuretansko peno. Tudi zunanjega topotna izolacija poteka v daljšem stiku s profilom okvirja. Tako se je vrednost linijske topotne prehodnosti znižala za več kot polovico v primerjavi s primerom O-3.

6.4.18 Toplotni most O-5

Preglednica 35: Toplotni most O-5

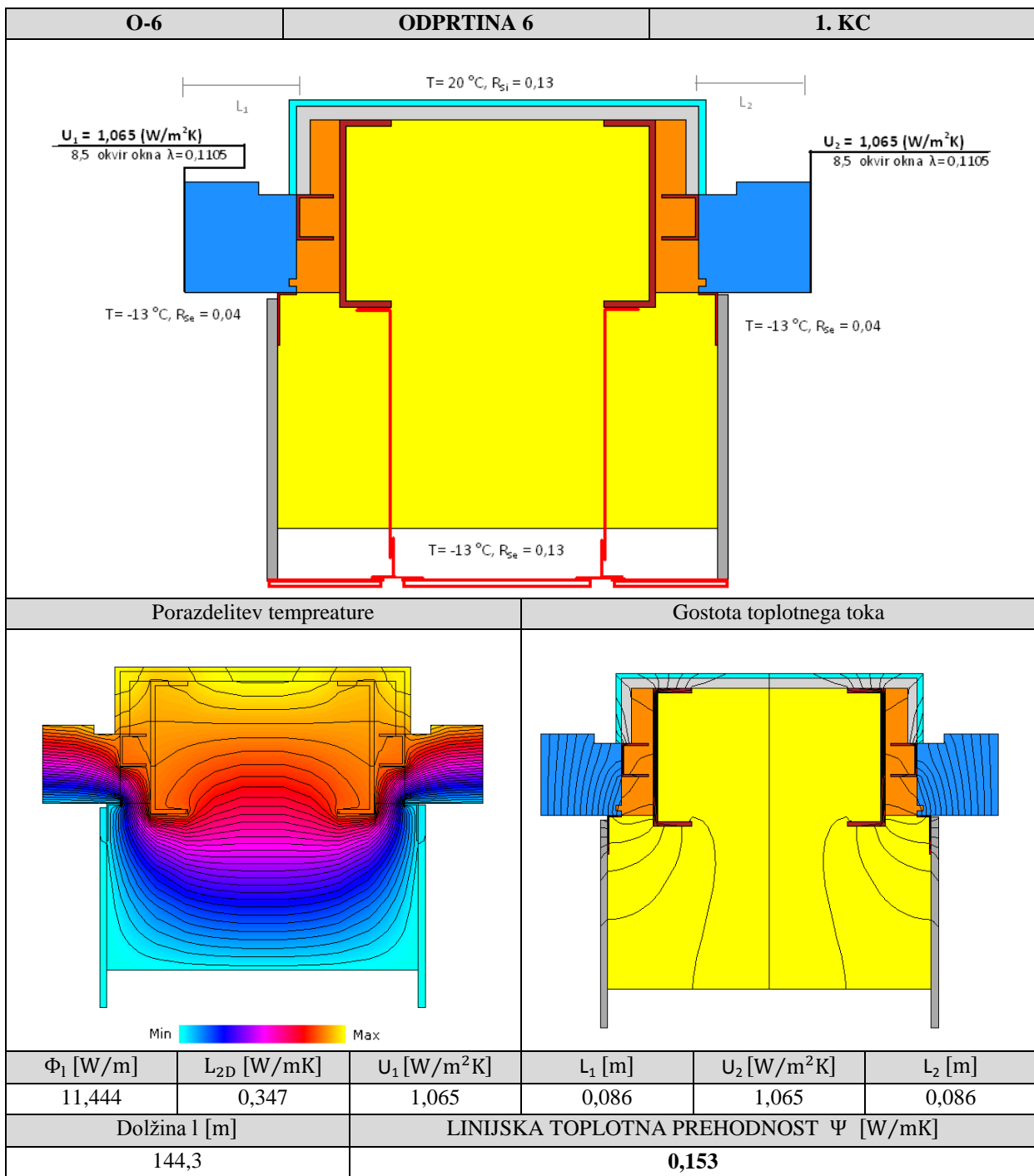


Simulirani topotni most O-5 se nahaja ob zgornjem profilu okna, kjer je nameščeno tudi senčilo (Preglednica 35). Mehanizem in točkovna podkonstrukcija sta v analizi ignorirana, kot tudi elementi prezračevane fasade. Na notranji strani viseči mavčni kartonski strop nalega na okvir okna.

V primeru, da senčila ne namestimo in posledično ne stanjšamo debeline TI, se vrednost linijske toplotne prehodnosti zniža na 0,053 W/mK.

6.4.19 Topotni most O-6

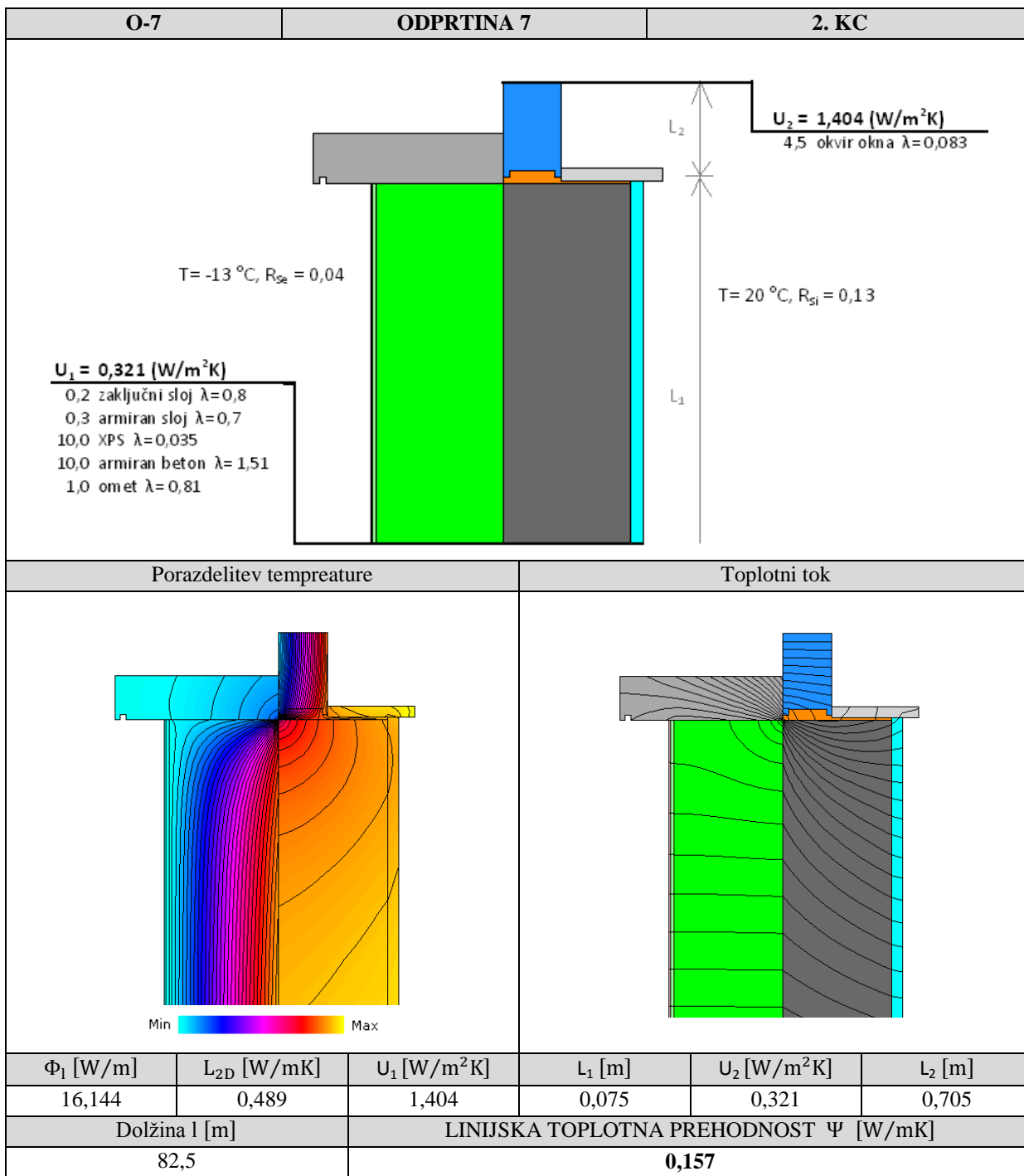
Preglednica 36: Topotni most O-6



Steber med posameznimi okni je pogost element v zunanjem plašču obravnavane stavbe (Preglednica 36). Če bi simulirali le polovico stebra in okvir okna, bi s tem zanemarili geometrijski vpliv na topotni tok in s tem na linijsko topotno prehodnost. Zato v izračunu topotne bilance stavbe nismo upoštevali površine stebrov, temveč bomo transmisijske izgube skozi stebre prišteli kot linijske topotne mostove. Tako je zajet tudi vpliv jeklenih C-profilov na povečan topotni tok skozi stebre.

6.4.20 Topotni most O-7

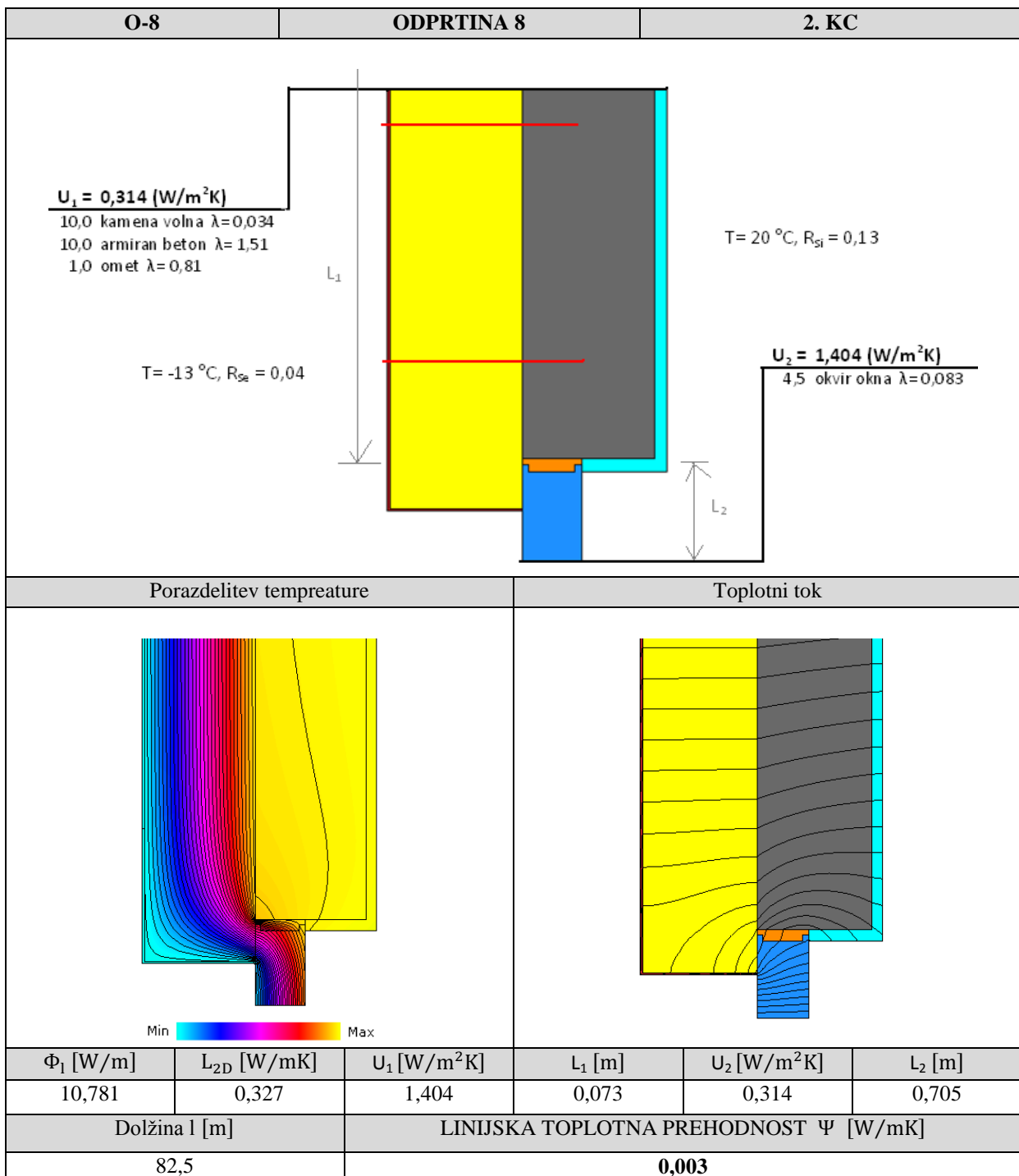
Preglednica 37: Topotni most O-7



V pritlični coni poteka linijski topotni tok ob polici steklene stene (Preglednica 37). Zunanja granitna polica s topotno prevodnostjo 2,8 W/mK neugodno vpliva na porazdelitev temperature skozi prerez detajla. Zunanja topotna izolacija ni v stiku s profilom okvira okna. Vse to vpliva na visoko vrednost linijske topotne prehodnosti.

6.4.21 Topotni most O-8

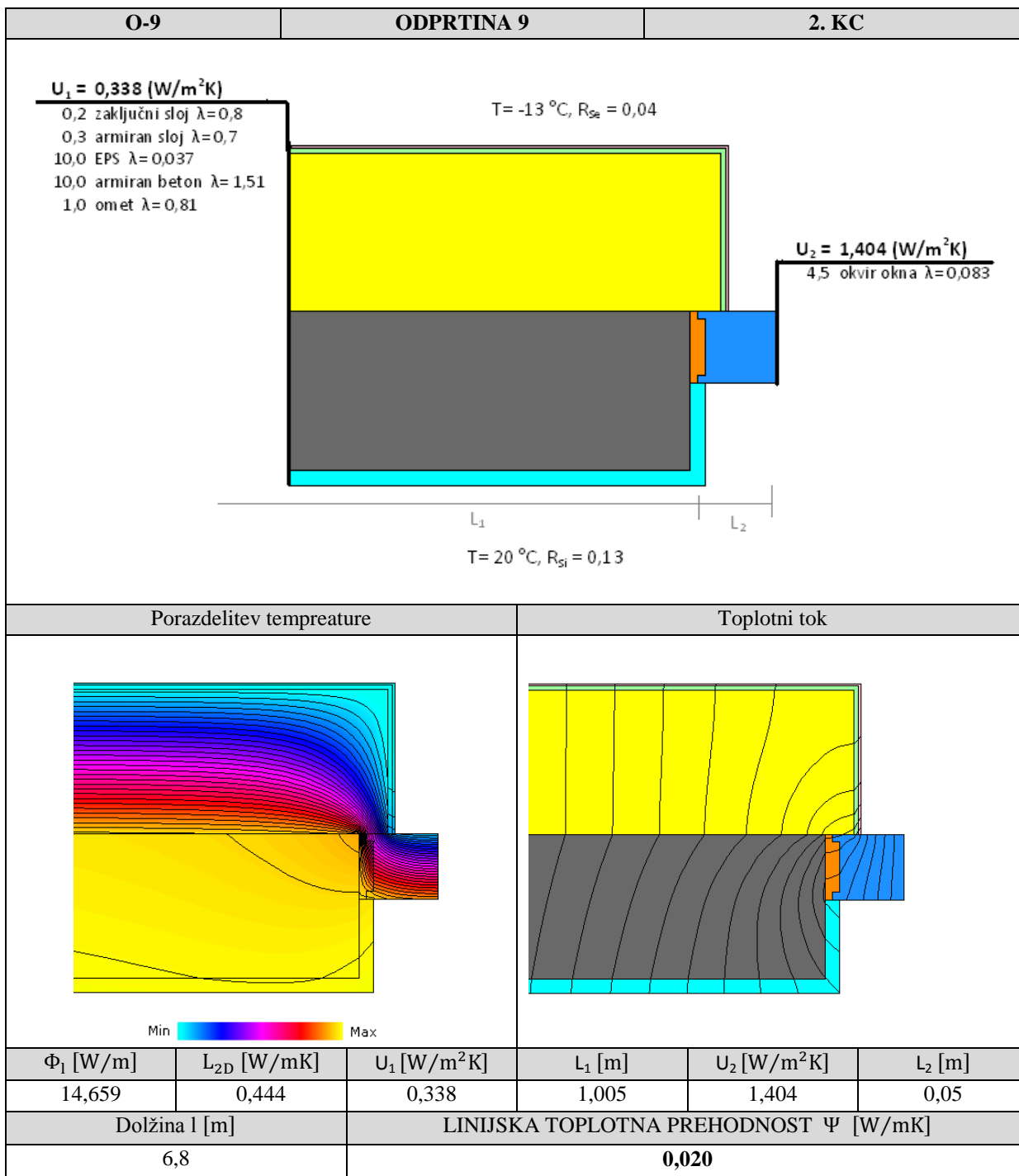
Preglednica 38: Topotni most O-8



Obravnavamo stik steklene stene s preklado v pritlični coni (Preglednica 38). Topotno izolacijo preklade predstavlja »sendvič« panel, pri katerem zanemarimo tanek kovinski sloj in točkovno podkonstrukcijo. Dolžina stika izolacije z okvirjem je kar 3 cm, kar vpliva na zanemarljivo majhno vrednost linijske topotne prehodnosti.

6.4.22 Toplotni most O-9

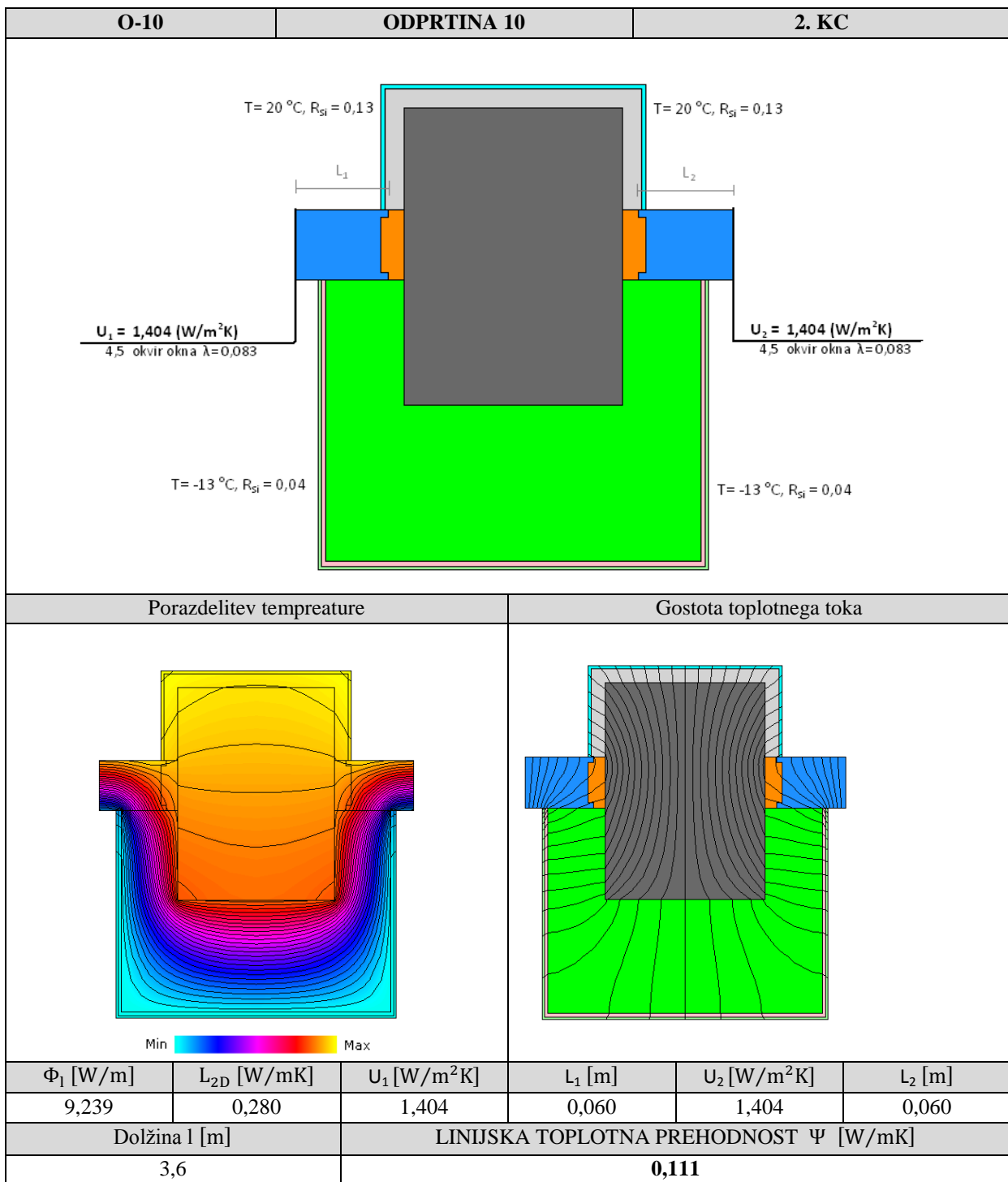
Preglednica 39: Toplotni most O-9



Linijski topotni most O-9 poteka ob špaleti steklene stene (Preglednica 39). V območju poliuretanske pene z nizko topotno prevodnostjo 0,024 W/mK poteka opazen padec temperature. Zaradi stika TI s profilom steklene stene je vrednost linijske topotne prehodnosti relativno nizka.

6.4.23 Topotni most O-10

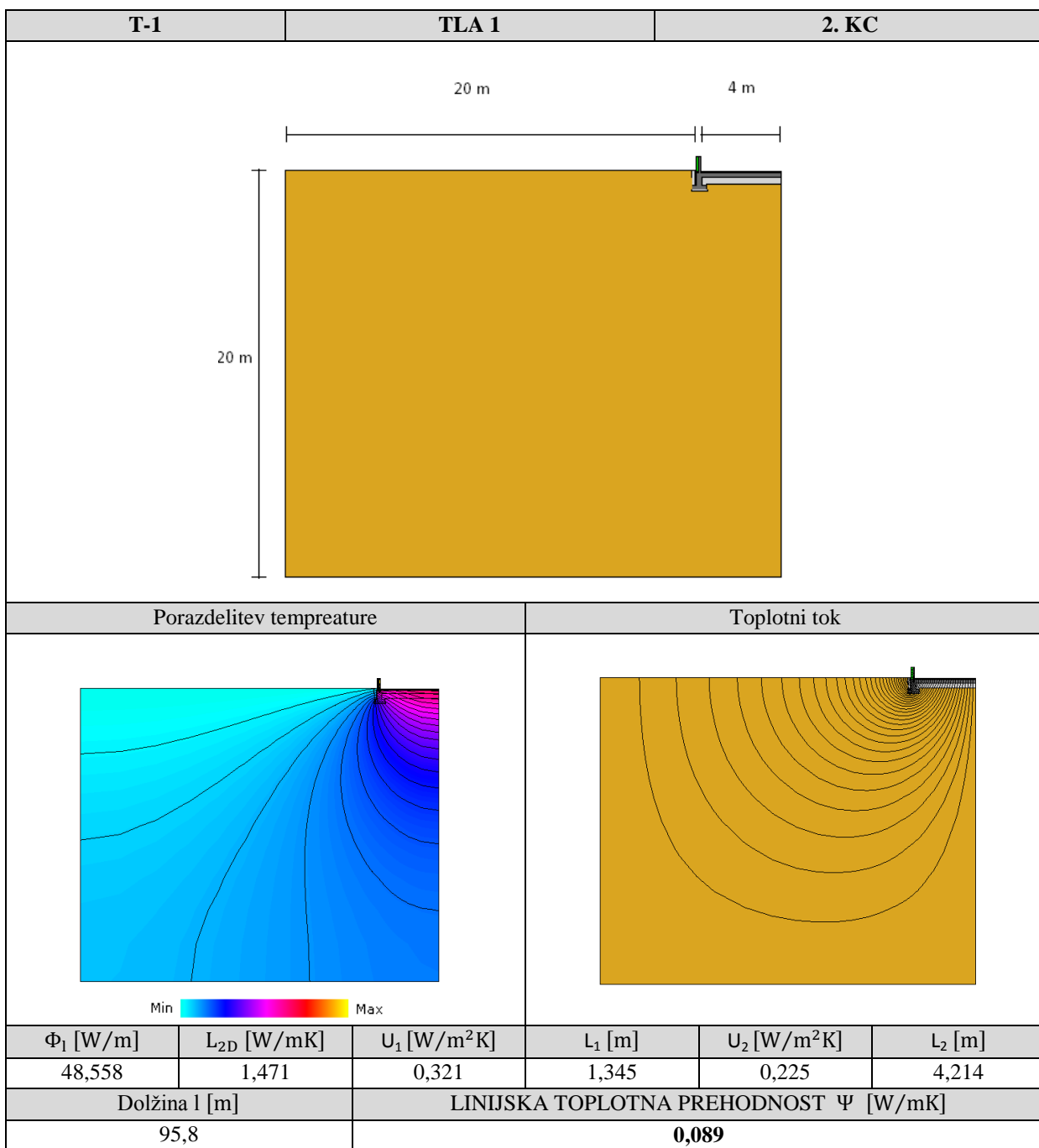
Preglednica 40: Topotni most O-10



V primeru O-10 simuliramo steber med transparentnima površinama pritličja (Preglednica 40). Kot v primeru O-6 v izračunu transmisijskih izgub stavbe nismo upoštevali prehoda topote skozi površino stebrov, temveč jih bomo prišteli kot linjske topotne mostove. Tako natančneje zajamemo geometrijski vpliv stebra na povečan topotni tok in porazdelitev temperature.

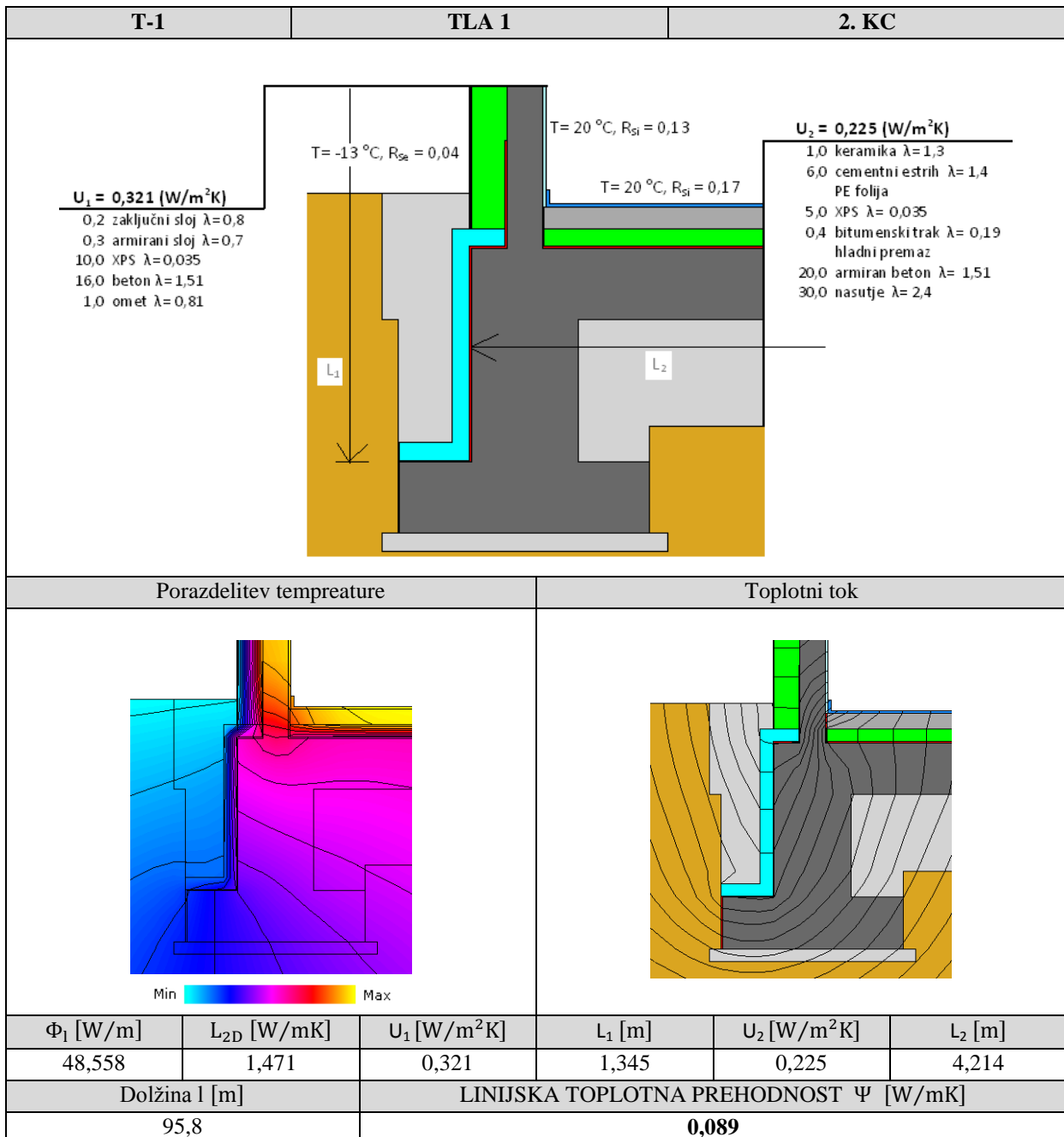
6.4.24 Toplotni most T-1

Preglednica 41: Toplotni most T-1



Toplotni most T-1 poteka na križanju talne konstrukcije in zunanje stene (Preglednica 41). Dimenzijsne modela zunaj stavbe in pod terenom so v skladu z določili standarda EN 10211. Vplivna dolžina, na katero se nanaša toplotna prehodnost stene, sega pod nivo zemljine, kar pozitivno vpliva na transmisijске izgube skozi simulirano križanje. Upoštevana je toplotna prehodnost zemljine 2 W/mK. Temelj je toplotno izoliran z XPS-ploščami debeline 5 cm. Opazen je povečan toplotni tok na stiku AB parapeta s talno AB-ploščo (Preglednica 42), kjer toplotna izolacija ni sklenjena.

Preglednica 42: Topotni most T-1 (približan pogled)



Topotna prehodnost talne konstrukcije U_2 je izračunana (enčba 8) v skladu s standardom SIST EN ISO 13370 [27].

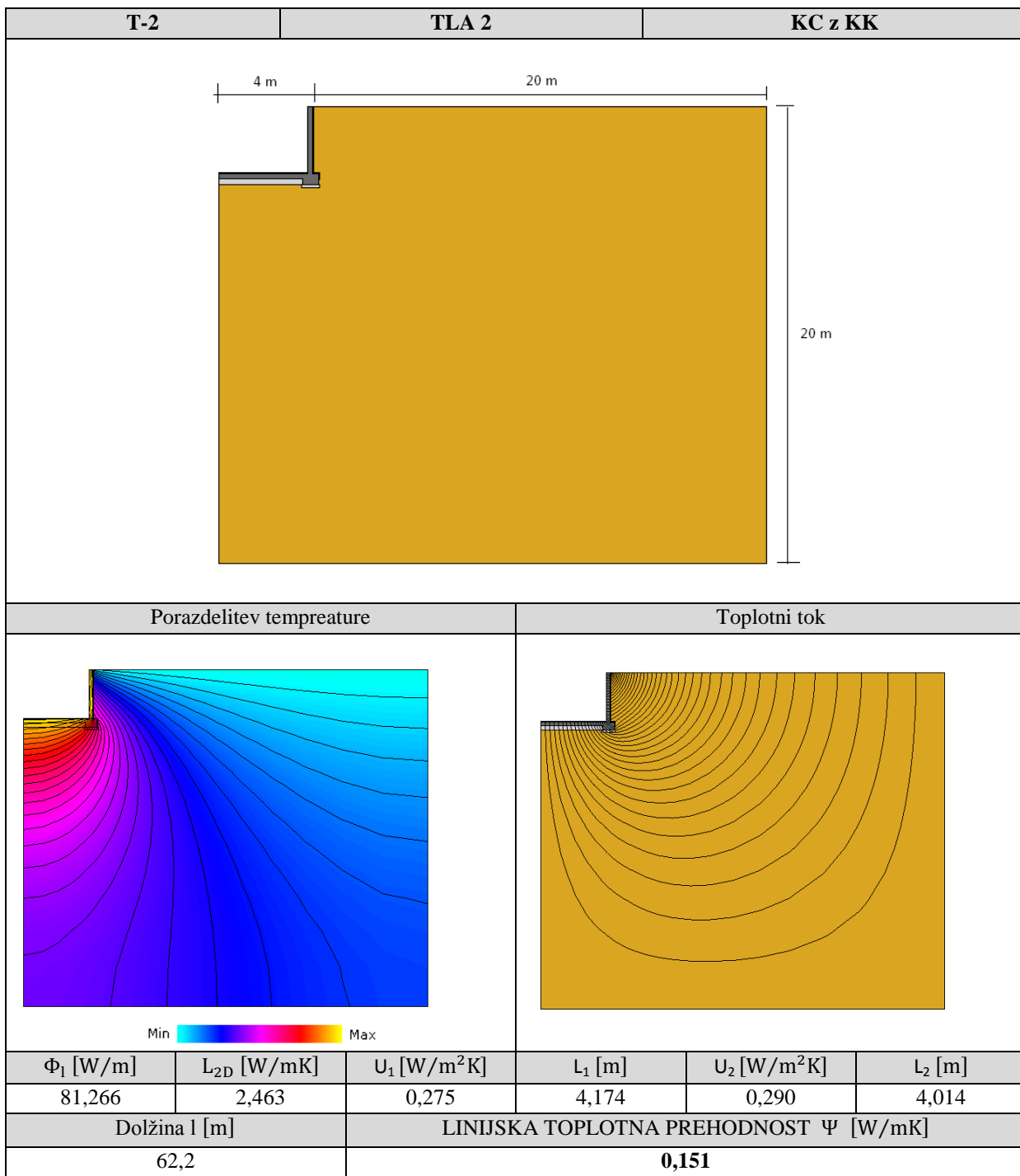
$$U_2 = \frac{2\lambda}{\pi B' + d_t} \ln \left(\frac{\pi B'}{d_t} + 1 \right) \quad (8)$$

Kjer so:

- λ topotna prevodnost zemljine,
- B' karakterističen parameter tal,
- d_t skupna ekvivalentna dolžina talne konstrukcije.

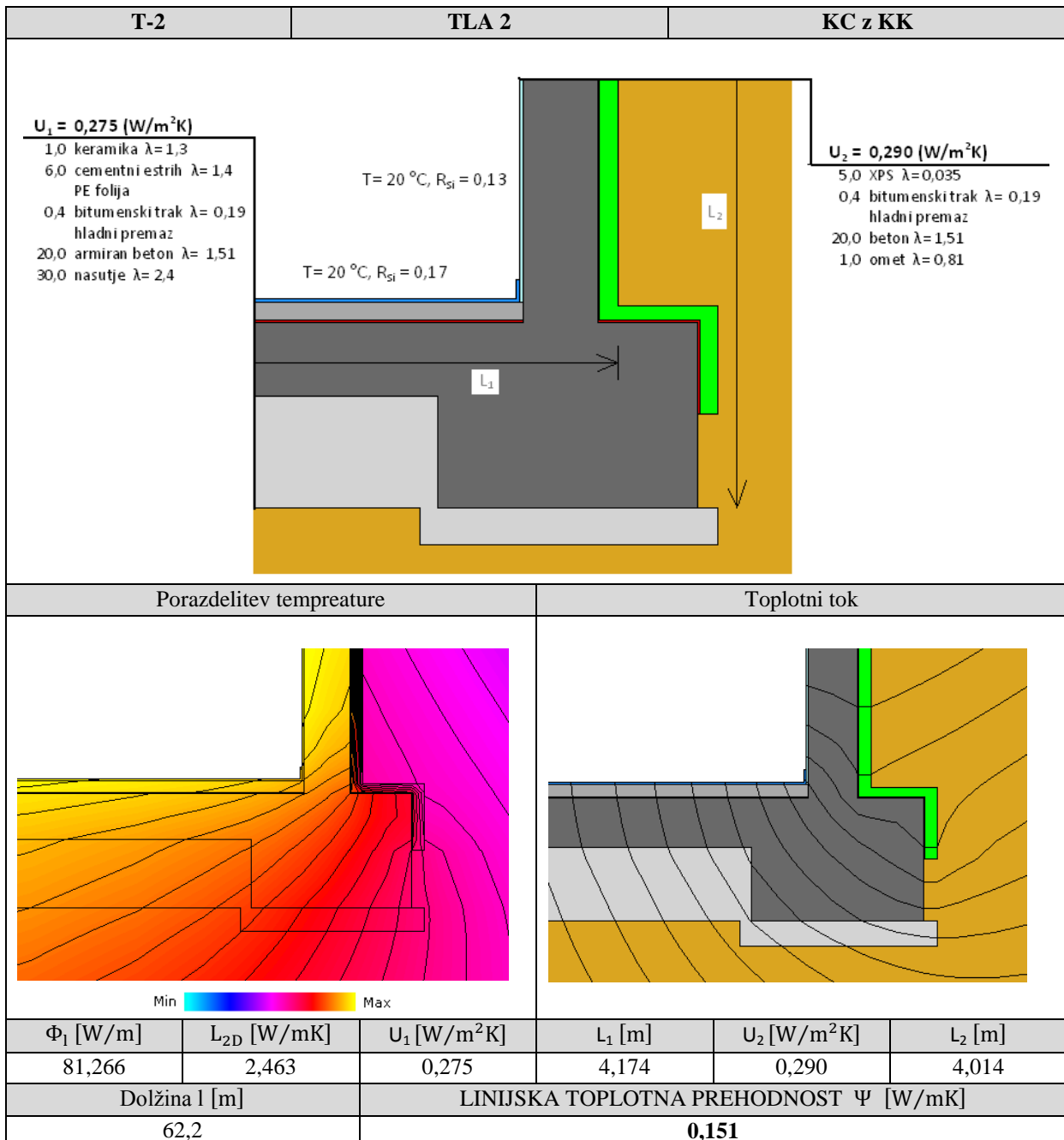
6.4.25 Toplotni most T-2

Preglednica 43: Toplotni most T-2



Na križanju talne konstrukcije kondicionirane kleti in vkopanega zidu poteka topotnim most T-2 (Preglednica 43). Talna plošča ni topoto izolirana, kar posredno vpliva na visoko vrednost linijske topotne prehodnosti. V preglednici 44 je prikazan približan detajl. Enačbe 9, 10 in 11, ki smo jih uporabili za izračun topotne prehodnosti konstrukcijskih sklopov pod površino zemljine, so v skladu s standardom SIST EN ISO 13370.

Preglednica 44: Topotni most T-2 (približan pogled)



$$U_1 = \frac{2\lambda}{\pi B' + d_t} \ln \left(\frac{\pi B'}{d_t + 0,5z} + 1 \right) \quad (9)$$

$$U_2 = \frac{2\lambda}{\pi z} \left(1 + \frac{0,5d_t}{d_t + z} \right) \ln \left(\frac{z}{d_w} + 1 \right) \quad (10)$$

Kjer so:

λ toplotna prevodnost zemljine,

B' karakterističen parameter tal,

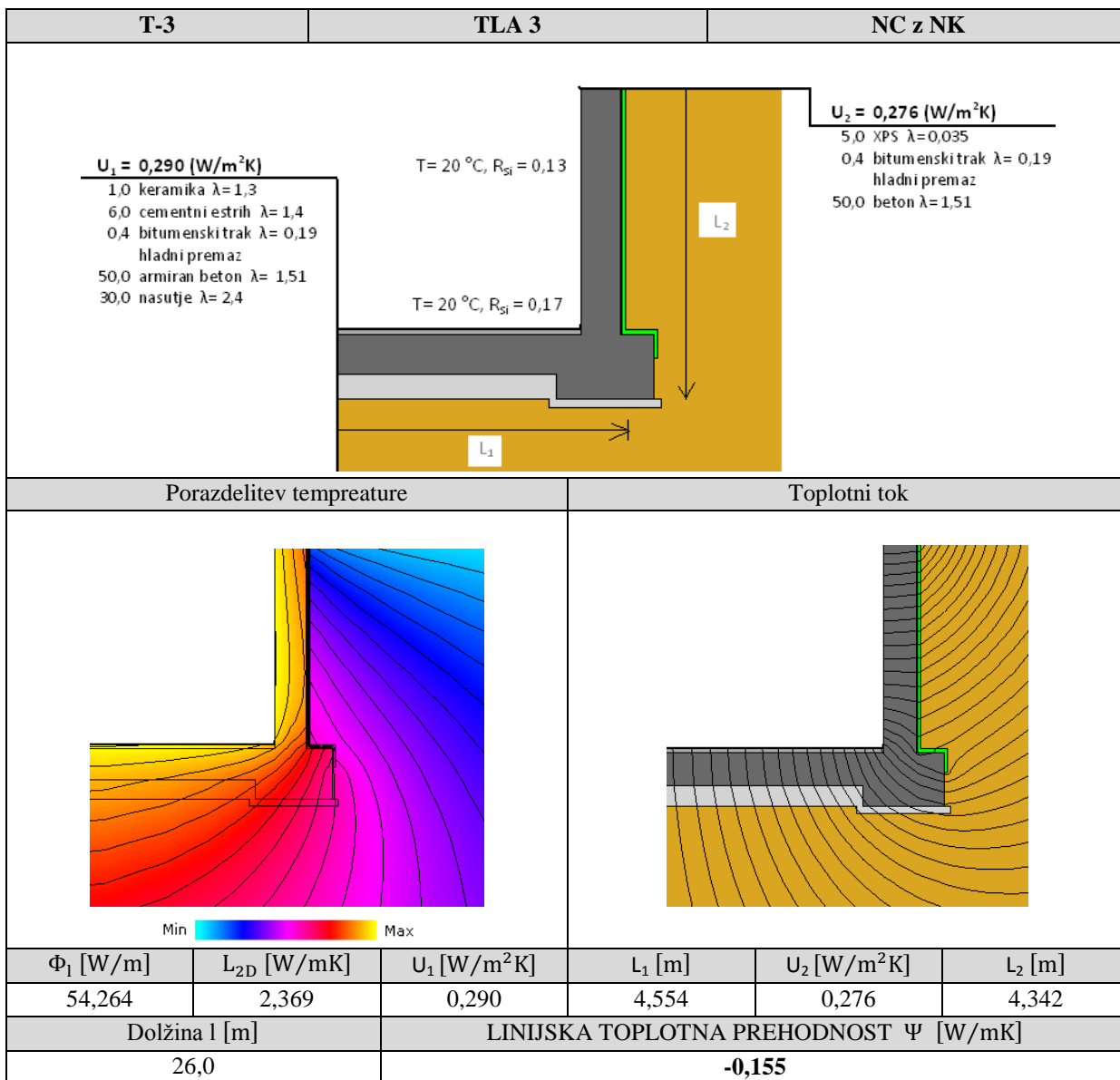
d_t skupna ekvivalentna debelina talne konstrukcije,

d_w skupna ekvivalentna debelina zidu,

z višina nivoja zunanjih tal nad kletno konstrukcijo tal.

6.4.26 Topotni most T-3

Preglednica 45: Topotni most T-3



Topotni most T-3 poteka na križanju talne konstrukcije in vkopanega zidu neogrevanega zaklonišča (Preglednica 45). Simulacija je podobna primeru T-2, debelejša pa je debelina nosilne AB- konstrukcije (50 cm). Vrednost topotne prehodnosti talne konstrukcije U_1 je višja kot v primeru T-2, predvsem zaradi nižje vrednosti karakterističnega parametra tal zaklonišča B' .

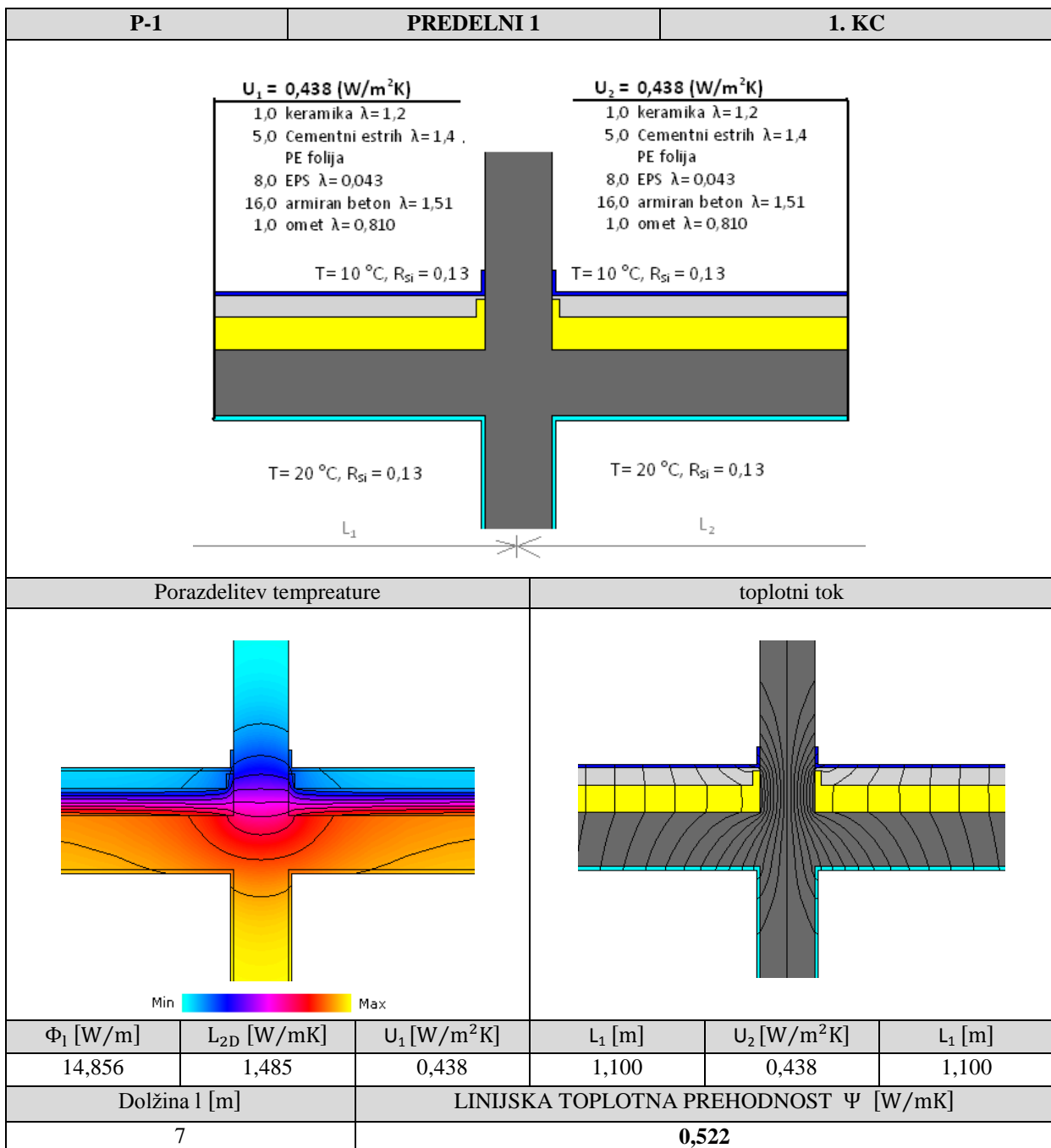
$$B' = \frac{A_g}{0,5 \times P} \quad (11)$$

Kjer so:

- A_g površina tlora talne konstrukcije,
- P obseg obravnavanega tlora.

6.4.27 Topotni most P-1

Preglednica 46: Topotni most P-1



Topotni mostovi potekajo tudi v notranjosti stavbe. Med neogrevanim ostrešjem in 1. kondicionirano cono poteka na križanju nosilne stene in stropa linijski topotni most P-2 (Preglednica 46). Opazen je povečan topotni tok skozi AB-steno z visoko topotno prevodnostjo. Presežena je linijska topotna prehodnost $\Psi > 0,2 \text{ W/mK}$, čemur bi se morali v ovoju stavbe izogniti.

7 PRIVZETE VREDNOSTI TOPLOTNIH MOSTOV

Za identificirane toplotne mostove obravnavanega objekta smo na podlagi simulacij izračunali točne vrednosti linijske toplotne prehodnosti. V nadaljevanju nas zanima primerjava s privzetimi vrednostmi, ki so navedene v standardu EN 14683 [3] v tabeli A.2.

7.1 Privzete vrednosti obravnavanih toplotnih mostov

Obravnavane toplotne mostove smo razporedili v preglednice od 47 do 53 glede na geometrijo in specifike konstrukcijskih detajlov, v katerem potekajo. Za vsak toplotni most identificiran na stavbi je za primerjavo predstavljen rezultat Ψ numerične simulacije in privzeta standardna vrednost, podana v standardu EN 14683.

7.1.1 Privzete vrednosti – atika

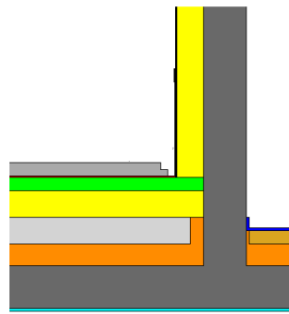
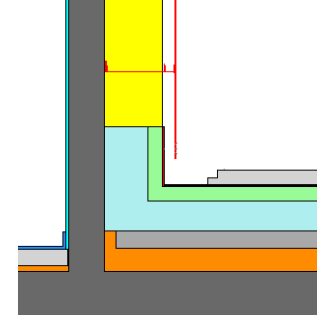
Preglednica 47: Privzete vrednosti – atika

Oznaka	NUMERIČNI IZRAČUN		PRIVZETE VREDNOSTI	
	model	Ψ [W/mK]	shema	Ψ [W/mK]
A-1		0,176		0,5
A-2		0,073		0,5

V obravnavanih primerih atike (Preglednica 47), so privzete vrednosti iz tabele veliko višje, kot sta dejanski numerični vrednosti Ψ . Razlog je v slabše zasnovanem standardnem detajlu, saj TI na vrhu in ob parapetu atike ne poteka.

7.1.2 Privzete vrednosti – streha

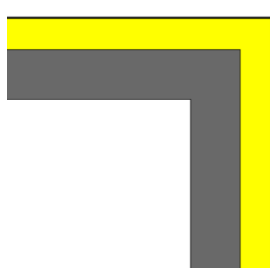
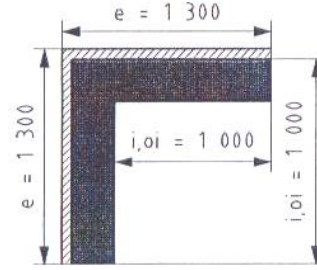
Preglednica 48: Privzete vrednosti – streha

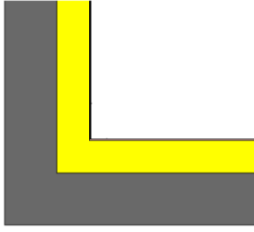
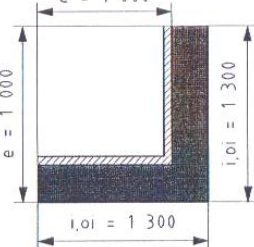
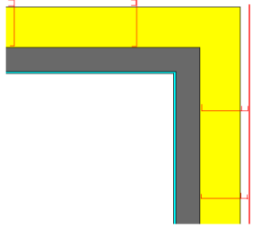
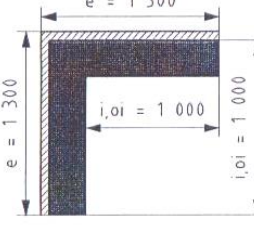
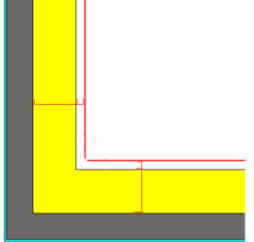
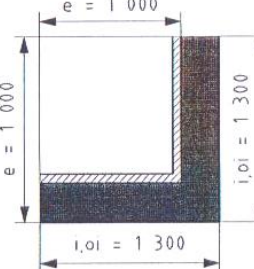
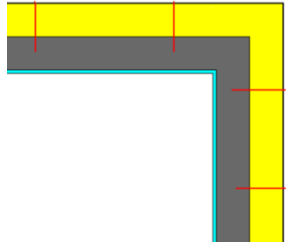
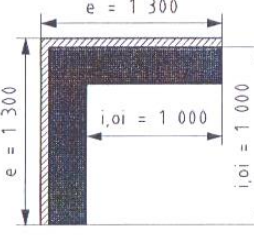
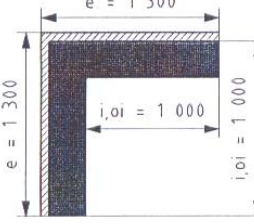
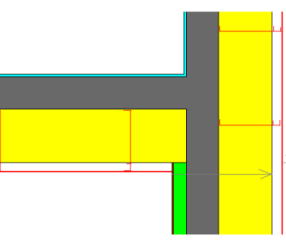
Oznaka	NUMERIČNI IZRAČUN		PRIVZETE VREDNOSTI	
	Model	Ψ [W/mK]	Shema	Ψ [W/mK]
S-1		0,028	/	/
S-2		0,037	/	/

Geometrijsko podobno zasnovanih detajlov križanja strešne konstrukcije in zidu v tabeli privzetih vrednosti ni (Preglednica 48).

7.1.3 Privzete vrednosti – vogal

Preglednica 49: Privzete vrednosti – vogal

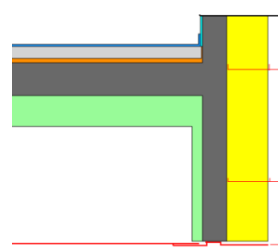
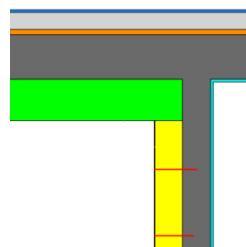
Oznaka	NUMERIČNI IZRAČUN		PRIVZETE VREDNOSTI	
	model	Ψ [W/mK]	shema	Ψ [W/mK]
V-1		-0,068		-0,05

V-2		0,026		0,05
V-3		-0,050		-0,05
V-4		0,018		0,05
V-5		-0,057		-0,05
V-6		-0,059		-0,05
V-7		0,132		/

Privzete vrednosti Ψ so izračunane za dvodimenzionalne modele v skladu z ISO 10211, nato pa so podane v tabeli A.2, zaokrožene na 0,05 W/mK. Menim, da je to razlog, da imajo določeni topotni mostovi v preglednici 49 nižje privzete vrednosti Ψ v primerjavi z izračunanimi. Primerljiv tip vogala V-7 v tabeli privzetih vrednosti ni podan.

7.1.4 Privzete vrednosti – napušč

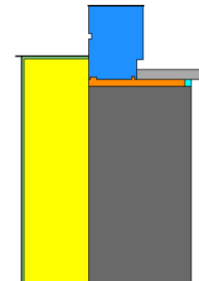
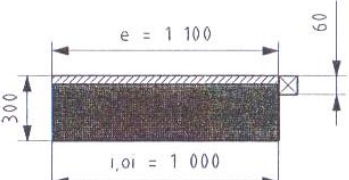
Preglednica 50: Privzete vrednosti – napušč

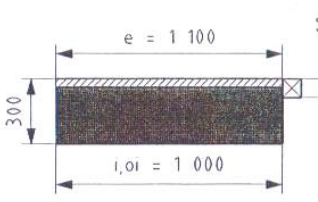
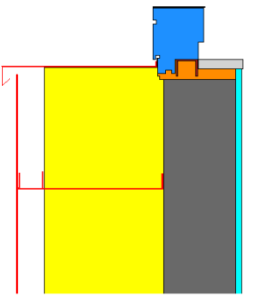
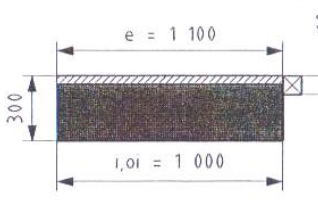
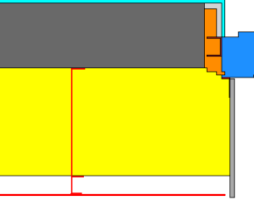
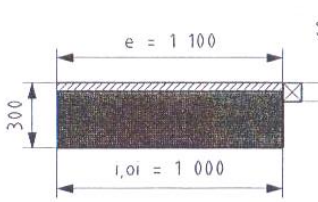
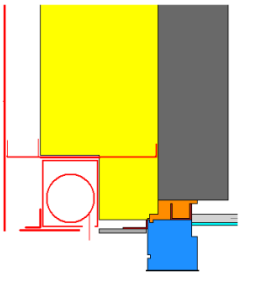
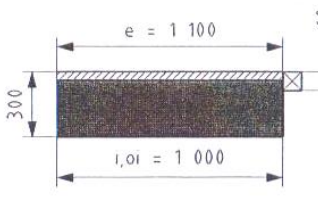
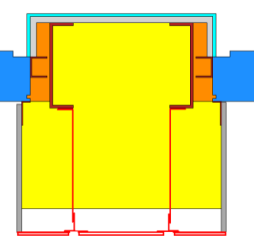
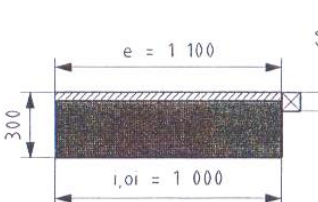
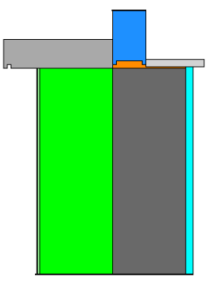
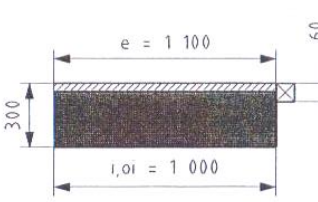
Oznaka	NUMERIČNI IZRAČUN		PRIVZETE VREDNOSTI	
	model	Ψ [W/mK]	shema	Ψ [W/mK]
N-1		0,090	/	/
N-2		0,028	/	/

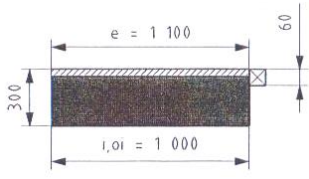
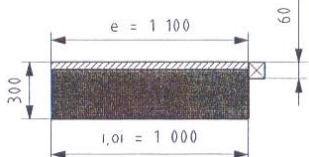
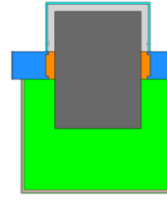
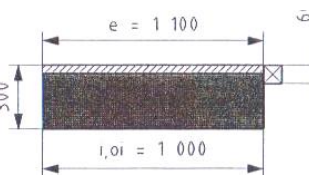
V tabelah privetih vrednosti ni podan tip topotnega mostu, ki obravnava specifično konstrukcijo napušča (Preglednica 50).

7.1.5 Privzete vrednosti – odprtine

Preglednica 51: Privzete vrednosti – odprtine

Oznaka	NUMERIČNI IZRAČUN		PRIVZETE VREDNOSTI	
	model	Ψ [W/mK]	shema	Ψ [W/mK]
O-1		0,013		0,00

O-2		0,057		0,00
O-3		0,093		0,00
O-4		0,045		0,00
O-5		0,066		0,00
O-6		0,153		0,00
O-7		0,157		0,00

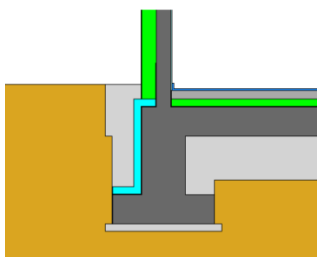
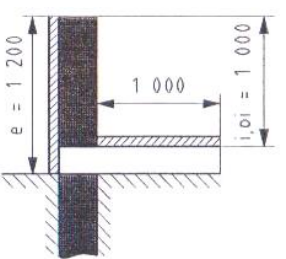
O-8		0,003		0,00
O-9		0,020		0,00
O-10		0,111	2× 	0,00

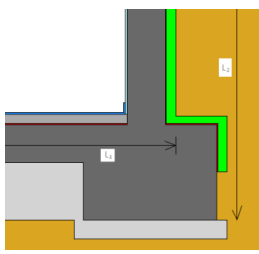
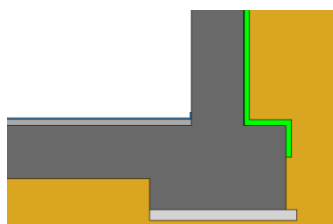
Glede na pozicijo okvira odprtine in potek TI je v tabelah podan le en tip topotnega mostu, ki je primerljiv z dejanskimi detajli odprtin (Preglednica 51). Vendar ima zaradi poenostavljenega modela in zaokrožitev ničelno vrednost Ψ , kar je v nasprotju z realnim stanjem pri obravnavanih modelih. Tako bi z uporabo privzetih vrednosti iz tabele pravzaprav zanemarili linijske topotne mostove, ki potekajo na obodu odprtin obravnavanega objekta.

V primeru modelov O-6 in O-10 smo v numerično simulacijo vključili konstrukcijo stebra, kar v tabeli A.2 ni predvideno. V primeru upoštevanja privzeti vrednosti Ψ bi morali v izračunu topotne bilance stavbe upoštevati linijska topotna mostova, ki potekata ob odprtinah na obeh straneh stebra.

7.1.6 Privzete vrednosti – tla

Preglednica 52: Privzete vrednosti – tla

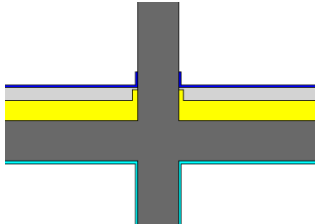
Oznaka	NUMERIČNI IZRAČUN		PRIVZETE VREDNOSTI	
	Model	Ψ [W/mK]	Shema	Ψ [W/mK]
T-1		0,089		0,60

T-2		0,151	/	/
T-3		-0,155	/	/

Za simuliran model T-1 je v preglednici 52 podana primerljiva konstrukcija, vendar brez sloja robne izolacije pod nivojem terena. Kar vsekakor vsaj delno vpliva na skoraj šestkrat višjo privzeto vrednost Ψ . Križanja globje pod terenom v tabeli privzetih vrednosti niso obravnavana.

7.1.7 Privzete vrednosti – predelni

Preglednica 53: Privzete vrednosti – predelni

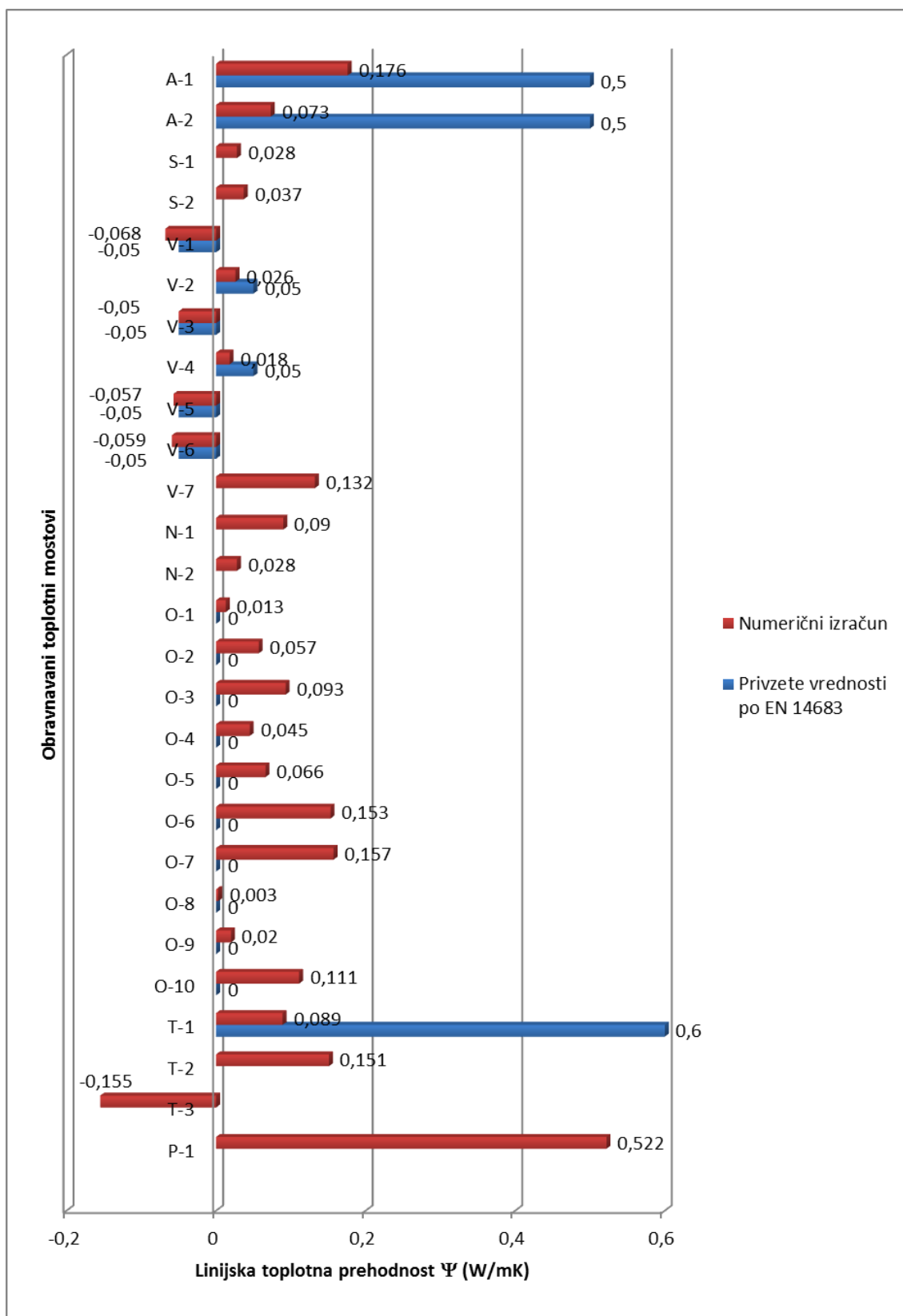
Oznaka	NUMERIČNI IZRAČUN		PRIVZETE VREDNOSTI	
	Model	Ψ [W/mK]	Shema	Ψ [W/mK]
P-1		0,533	/	/

Toplotni mostovi pri notranjih delitvah med temepraturnimi conami v stavbi v tabeli privzetih vrednosti v standardu EN 14683 niso zastopani (Preglednica 53).

7.2 Primerjava privzetih vrednosti Ψ z numeričnim izračunom

Z uporabo privzetih vrednosti v izračunu topotnih izgub stavbe zanemarimo določene topotne mostove, saj so v tabeli standarda EN 14683 zajeti le značilni. Podane privzete vrednosti pri večini primerov odstopajo od realnega stanja na dejanski obravnavani stavbi, pričakovali pa smo, da bodo vrednosti pri vseh topotnih mostovih precenjene, a to ni tako (Slika 27). Edini primerljiv sklop

odprtin je v tabelah oblikovan tako, da je privzeta vrednost Ψ nižja od realnega stanja. Če bi v tabeli izbrali manj optimalen detajl, pa bi bila Ψ veliko previsoka.



Slika 27: Primerjava privzetiih vrednosti z numeričnim izračunom

8 ANALIZA

Zanima nas kvantitativen vpliv metod in posameznih toplotnih mostov na toplotno bilanco obravnavane stavbe. Programska oprema TOST omogoča upoštevanje toplotnih mostov v skladu z metodami, ki jih določa TSG 4.

8.1 Vpliv posameznih metod obravnave toplotnih mostov na toplotno bilanco stavbe

V preglednici 54 so predstavljeni rezultati izračuna toplotne bilance obravnavane stavbe, kjer smo upoštevali različne metode obravnave toplotnih mostov. V izhodiščnem izračunu so toplotni mostovi zanemarjeni. Najrealnejše vrednosti smo določili z numeričnim izračunom, kjer se letna potrebna toplota za ogrevanje v primerjavi z izhodiščnim izračunom poveča za kar 9,3 % oziroma 7,37 kWh.

Z uporabo privzetih vrednosti dobimo najvišje vrednosti toplotnih izgub, izkaže pa se, da so le malenkost višje od rezultatov numerične analize (Tabela 54). Letna potrebna toplota za ogrevanje se v primerjavi z izhodiščnim izračunom poveča za 9,9 % oziroma 7,83 kWh. Tako smo z upoštevanjem vrednosti iz standarda EN 14683 pravzaprav dobili primerljive rezultate realnemu stanju, a menim, da je to le naključje, ki je vezano na naš specifičen primer stavbe, saj imajo največji vpliv v izračunu toplotne bilance stavbe le trije toplotni mostovi (Slika 35), katerih privzeta vrednost linijske toplotne prehodnosti je precenjena.

Preglednica 54: Vpliv posameznih metod obravnave toplotnih mostov na toplotno bilanco stavbe

	Izhodiščni izračun	Poenostavljen način	Numerični izračun	Privzete vrednosti	Mejne vrednosti
$H_T' [W/m^2K]$	0,48	0,51	0,52	0,52	0,52
$Q_p [kWh]$	396,228	401,900	404,515	405,406	/
$Q_{NH} [kWh]$	79,381	84,479	86,749	87,212	101,337
$Q_{NH}/V_e [kWh/m^3a]$	6,77	7,21	7,40	7,44	8,65

Kjer so:

- H_T' koeficient specifičnih transmisijskih toplotnih izgub stavbe,
- Q_p letna raba primarne energije,
- Q_{NH} letna potrebna toplota za ogrevanje,
- Q_{NH}/V_e specifična letna toplota za ogrevanje na enoto kondicionirane prostornine.

Ob predpostavki, da imajo vsi topotni mostovi v stavbi linijsko topotno prehodnost manjšo od 0,2 W/mK, smo določili topotno bilanco s povečanjem topotne prehodnosti celotnega ovoja stavbe za 0,06 W/m²K. Letna potrebna topota za ogrevanje je v tem primeru nižja od natančnejšega numeričnega izračuna, od izhodiščne vrednosti se poveča za 6,3 %. Ne glede na izbiro metode pa smo v obravancem primeru vedno izpolnili minimalne zahteve maksimalne dovoljene rabe energije, ki se nanašajo na 21. člen PURES-a 2010.

8.2 Vpliv topotnih mostov na transmisijske izgube

Povečanje transmisijskih izgub zaradi topotnih mostov, upoštevanih na podlagi numeričnega izračuna, prikazuje preglednica 55. Vplivi topotnih mostov se razlikujejo po posameznih conah, na nivoju celotne stavbe pa se transmisijske izgube povečajo za 0,83 kWh/m³ oziroma 11 %.

Preglednica 55: Vpliv topotnih mostov na transmisijske izgube

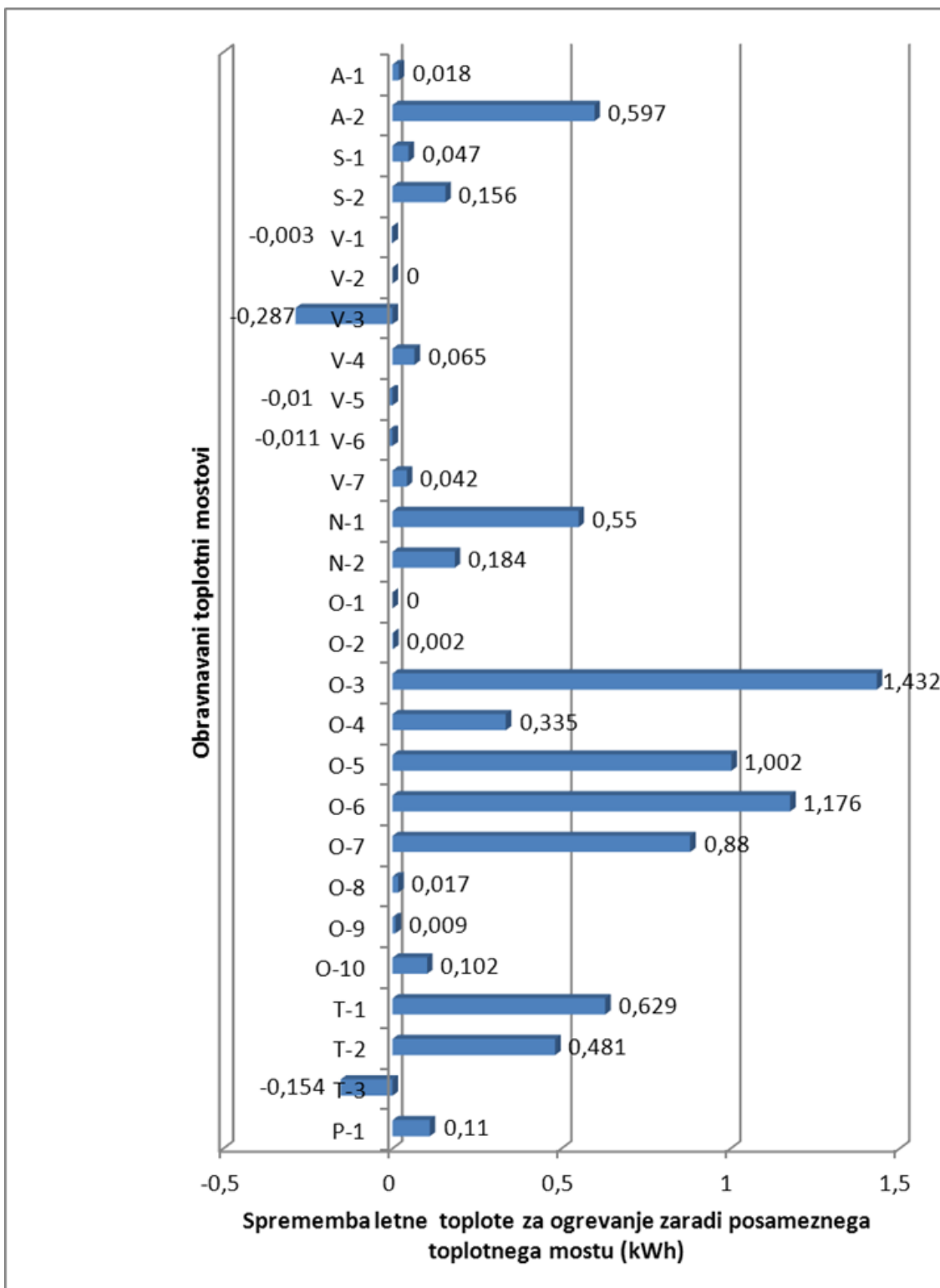
kWh/m ³	1. KC	2. KC	KC z OK	STAVBA
Izhodiščni izračun	5,92	11,47	7,37	7,41
Numerični izračun	6,84	12,16	8,01	8,24

8.3 Vpliv posameznih topotnih mostov na letno porabo topote za ogrevanje

Kvantitativen vpliv posameznih topotnih mostov na letno porabo topote za ogrevanje prikazuje slika 28. Uporabili smo rezultate numeričnega izračuna, da bi bili vrednosti kar najbolj realne.

Največji vpliv na porabo topote ima topotni most O-3, ki poteka ob spodnjem profilu oken 1. kondicionirane cone. K temu prispeva relativno visoka vrednost linijske topotne prehodnosti, ki znaša 0,093 W/mK, in predvsem dolžina poteka topotnega mostu. Dolžina je daljša kot pri vseh ostalih obravnavanih topotnih mostovih, meri kar 281,3 m. O-3 predstavlja 18 % delež vpliva topotnih mostov na letno porabo topote za ogrevanje.

Z grafa (Slika 42) je razvidno, da imajo v splošnem največji vpliv na topotne izgube topotni mostovi, ki potekajo ob odprtinah. Razlog je v visokem deležu transparentnih površin. Nekateri topotni mostovi pa imajo tudi pozitiven vpliv na topotno bilanco, med njimi izstopa vogal zunanje stene V-3.



Slika 28: Vpliv posameznih topotnih mostov na letno porabo topote za ogrevanje

Preglednica 56 poleg dolžine in linijske topotne prehodnosti posameznih obravnavanih topotnih mostov prikazuje tudi odstotkovne spremembe letne porabe topote za ogrevanje v primerjavi z izhodiščnim stanjem.

Preglednica 56: Odstotkovne spremembe letne porabe topote za ogrevanje stavbe

	l [m]	Ψ [W/mK]	ΔQ_{NH} [%]
A-1	30,2	0,176	0,2
A-2	148,9	0,073	7,5
S-1	30,5	0,28	0,6
S-2	77,3	0,037	2,0
V-1	15,0	-0,068	0,0
V-2	5,0	0,026	0,0
V-3	105,0	-0,05	-3,6
V-4	66,0	0,018	0,8
V-5	2,4	-0,057	-0,1
V-6	2,8	-0,059	-0,1
V-7	5,9	0,132	0,5
N-1	112,1	0,09	6,9
N-2	96,1	0,28	2,3
O-1	3,6	0,013	0,0
O-2	9,5	0,057	0,0
O-3	281,3	0,093	18,0
O-4	136,5	0,045	4,2
O-5	281,3	0,066	12,6
O-6	144,3	0,153	14,8
O-7	82,5	0,157	11,1
O-8	82,5	0,003	0,2
O-9	6,8	0,02	0,1
O-10	13,6	0,111	1,3
T-1	95,8	0,089	7,9
T-2	62,2	0,151	6,1
T-3	26,0	-0,155	-1,9
P-1	7,0	0,522	1,4

9 ZAKLJUČEK

V okviru diplomske naloge smo preverili dejanski vpliv topotnih mostov na topotne izgube energetsko sanirane poslovne stavbe v središču Novega mesta. Primerjali smo več različnih metod in vplive posameznih topotnih mostov. Poleg topotne bilance topotni mostovi vplivajo tudi na materiale v ovoju stavbe, nižje površinske temperature, povzročajo nastanek kondenza in razvoj plesni, kar je z vidika bivalnega ugodja za človeka nesprejemljivo.

Pri izdelavi diplomske naloge smo se najprej podrobneje seznanili z aktualno zakonodajo in projektno dokumentacijo razgibanega objekta, kjer nam je bil izziv doumeti točne detajle posameznih križanj in konstrukcijskih sklopov. Izračunali smo izhodiščno topotno bilanco stavbe, kjer topotnih mostov nismo zajeli. Nato pa smo jih obravnavali na podlagi treh različnih metod, ki so v skladu s PURES 2010 in TSG 4. Metoda numeričnega izračuna zahteva podrobno razumevanje standarda EN 10211 in uporabo programske opreme za izračun točne vrednosti linijske topotne prehodnosti. Z uporabo privzetih vrednosti ali poenostavljenih metoda pa smo enostavneje zajeli vpliv topotnih mostov v energetski bilanci stavbe.

Ugotovili smo, da z uporabo različnih metod pri specifičnem primeru dobimo povsem različne vplive topotnih mostov na vrednost topotnih izgub stavbe. Na specifičnem primeru obravnavane stavbe smo z uporabo natančnejše numerične analize izračunali, da se zaradi vpliva topotnih mostov letna potreba energije za ogrevanje poveča za 9,3 %, transmisijske izgube pa so se povečale za 11 %. S tem smo ovrgli hipotezo, da bomo z natančnejšo metodo vrednotenja dobili najmanjši vpliv topotnih mostov na topotne izgube stavbe. Z uporabo poenostavljenih metoda je namreč vrednost letne potrebne topote za ogrevanje nižja, v primerjavi z izhodiščnim stanjem se je povečala le za 6,3 %. Numerični izračun je dolgotrajna metoda obravnave topotnih mostov, ki zahteva podrobno simulacijo posameznih detajlov z uporabo programske opreme, vendar uporaba ni smotrna, če ni v sorazmerju tudi splošna natančnost izračuna celotne topotne bilance objekta. Poenostavljeni metodo s povečanjem topotne prehodnosti celotnega ovoja lahko načeloma uporabimo le, če imajo vsi topotni mostovi linijsko topotno prehodnost manjšo od 0,2 W/mK, kar pa lahko natančno ugotovimo le z zamudnim numeričnim izračunom. S povečanjem topotne prehodnosti ovoja stavbe v izračunu transmisijskih izgub ni zajet geometrijski vpliv objekta, kar je prišlo do izraza v obravnavanem primeru razgibane poslovne stavbe. Z uporabo privzetih vrednosti topotnih mostov smo dobili najvišje 9,9 % povečanje letne potrebne topote za ogrevanje specifične stavbe. Vrednosti iz standarda EN 14683 so točne, vendar za večino topotnih mostov obravnavanega objekta ni zajetih primerljivih detajlov. Potrdimo pa lahko hipotezo, da imajo največji vpliv na energetske izgube topotni mostovi, ki potekajo na obodu odprtin, saj ima stavba velik delež transparentnih površin, s tem pa je dolžina teh topotnih mostov izredno velika.

Povečanje topotnega toka ob odprtinah predstavlja kar 67 % delež vpliva vseh topotnih mostov na letno porabo topote za ogrevanje.

Menim, da je možno vpliv topotnih mostov pri novogradnji s pravilnim načrtovanjem in natančno izvedbo detajlov zmanjšati na minimum. V primeru energetske sanacije obravnavanega objekta, kjer so okna nepremišljeno ostala na prvotnem mestu, pa pride do občutnega povečanja topotnega toka ob obodu odprtin. V praksi je treba vpliv topotnih mostov upoštevati pri izračunu elaborata gradbene fizike kot pri izdelavi energetskih izkaznic, iz katerih je razvidna energetska učinkovitost stavbe. Pri tem se poraja vprašanje, ali se v projektantski praksi vpliv topotnih mostov na izračun potrebne energije pravilno in primerno upošteva. Ugotovili smo, da lahko že z izbiro metode obravnave topotnih mostov pridemo do velikih odstopanj pri rezultatih porabe energije za delovanje stavbe, od katerega pa je odvisna celo pridobitev gradbenega dovoljenja. Ti podatki o energetski učinkovitosti pa imajo imajo vse večji pomen tudi pri nakupu ali najemu nepremičnine.

VIRI

- [1] Šijanec Zavrl, M. Malovrh, M., Oberžan, D. 1999. Za učinkovito rabo energijo: zbirka informativnih listov – Toplotni mostovi. Ljubljana, Agencija RS za učinkovito rabo energije.
http://www.aure.gov.si/eknjiznica/IL_2-11.PDF (Pridobljeno 4. 5. 2014.)
- [2] SIST EN ISO 13790:2008. Energijske lastnosti stavb – Račun rabe energije za ogrevanje in hlajenje prostorov (ISO 13790:2008).
- [3] SIST EN ISO 14683:2008 – Toplotni mostovi v stavbah – Linearna topotna prehodnost – Poenostavljena metoda in privzete vrednosti (ISO 14683:2007).
- [4] SIST EN ISO 10211:2008 – Toplotni mostovi v stavbah – Toplotni tokovi in površinske temperature - Podrobni izračuni (ISO 10211:2007).
- [5] Krainer, A., Perdan, R. 2009. Računalniški program (TOST) za izračun energetske bilance stavbe po Pravilniku o učinkoviti rabi energije v stavbah. Ljubljana, UL FGG.
- [6] Anderlind, G. Računalniški program (Unorm) za analizo toplotnega toka skozi gradbene konstrukcije. Rydebäck, GAD Byggnadsfysik.
- [7] Toplotni mostovi v ovoju stavbe. 2013.
<http://energetskaizkaznica.si/nasveti/toplotni-mostovi-v-ovoju-stavb/> (Pridobljeno 15. 5. 2014.)
- [8] EUROKOBRA DATABASE. 2002.
<http://sts.bwk.tue.nl/bps/onderwijs/software/KOBRA/koudebruggen.htm> (Pridobljeno 21. 5. 2014.)
- [9] Durini, P. 2011. Toplotni mostovi. Diplomsko delo. Ljubljana, Fakulteta za gradbeništvo in geodezijo (samozaložba P. Durini): 85 str.
- [10] Plesen najraje v vogalih. 2011.
<http://www.deloindom.si/plesen-najraje-v-vogalih> (Pridobljeno 18. 5. 2014.)
- [11] Čič, M. 2011. Celotna topotna prevodnost in delež toplotnih mostov ovoja stavbe izračunana s programskim paketom. Diplomsko delo. Maribor, Fakulteta za gradbeništvo (samozaložba M. Čič): 72 str.

[12] Topotni mostovi. 2014.

<http://www.mojmojster.net/clanek/141> (Pridobljeno 10. 11. 2014.)

[13] UREDBA (EU) št. 305/2011 EVROPSKEGA PARLAMENTA IN SVETA z dne 4. marca 2011 o določitvi usklajenih pogojev za trženje gradbenih proizvodov in razveljavitvi Direktive Sveta 89/106/EGS.

[14] Pravilnik o učinkoviti rabi energije v stavbah. Uradni list RS št. 52/2010.

[15] Tehnična smernica za graditev TSG-1-004:2010 Učinkovita raba energije. Ministrstvo za okolje in prostor. Št: 0071-101/2009: 114 str.

[16] Zakon o graditvi objektov. Uradni list RS št. 102/2004.

[17] Grafični prikaz porazdelitve temperature skozi gradbeno konstrukcijo.

http://www.antherm.at/antherm/Beispielberichte/Beispiel_1_TemperaturIsothermen.png

(Pridobljeno 15. 11. 2014.)

[18] Software and atlases for evaluating thermal bridges. 2010.

http://www.buildup.eu/sites/default/files/content/P198_Software_and_atlases_for_evaluating_thermal_bridges_0.pdf (Pridobljeno 8. 5. 2014.)

[19] Wärmebrückenkatalog. 2002. Zürich, Bundesamt für Energie BFE.

[20] SIST EN ISO 10456:2008. Gradbeni materiali in proizvodi - Higrotermalne lastnosti – Tabelirane računske vrednosti in postopki za določevanje nazivnih in računskih vrednosti topotnih vrednosti (ISO 10456:2007).

[21] SIST EN ISO 6946:2008. Gradbene komponente in gradbeni elementi – Topotna upornost in topotna prehodnost – Računska metoda (ISO 6946:2007).

[22] SIST EN ISO 13789:2008. Topotne značilnosti stavb – Topotni koeficienti pri prenosu topote in prezračevanja – Računska metoda (ISO 13789:2007).

[23] Tehnično poročilo, objekt: upravna stavba. 1979. TOZD projektivni biro.

[24] Načrt arhitekture – PZI, objekt: upravna stavba zavarovalnice Tilia. 2012. SPINA d.o.o.

[25] Prezračevalna Kerrock Fasada.

<http://www.kerrock.si/on-line-katalogi/prezracevalna-kerrock-fasada> (Pridobljeno 3. 5. 2014.)

[26] Krainer, A., Perdan, R. 2012. Uporabniški priročnik računalniškega programa TOST. Ljubljana, UL FGG.

[27] Pravilnik o prezračevanju in klimatizaciji stavb. Uradni list RS št. 42/02 in 105/02.

[28] SIST EN ISO 6946:2008 – Gradbene komponente in gradbeni elementi – Toplotna upornost in toplotna prehodnost – Računska metoda (ISO 6946:2007).

[29] Development of limits for the linear thermal transmittance of thermal bridges in buildings. 2007.

http://web.ornl.gov/sci/buildings/2012/2007%20B10%20papers/182_Janssens.pdf

(Pridobljeno 7. 12. 2014.)

[30] SIST EN ISO 13370:2008 – Toplotne karakteristike stavb – Prenos toplote skozi zemljo – Računske metode (ISO 13370:2007).

SEZNAM PRILOG